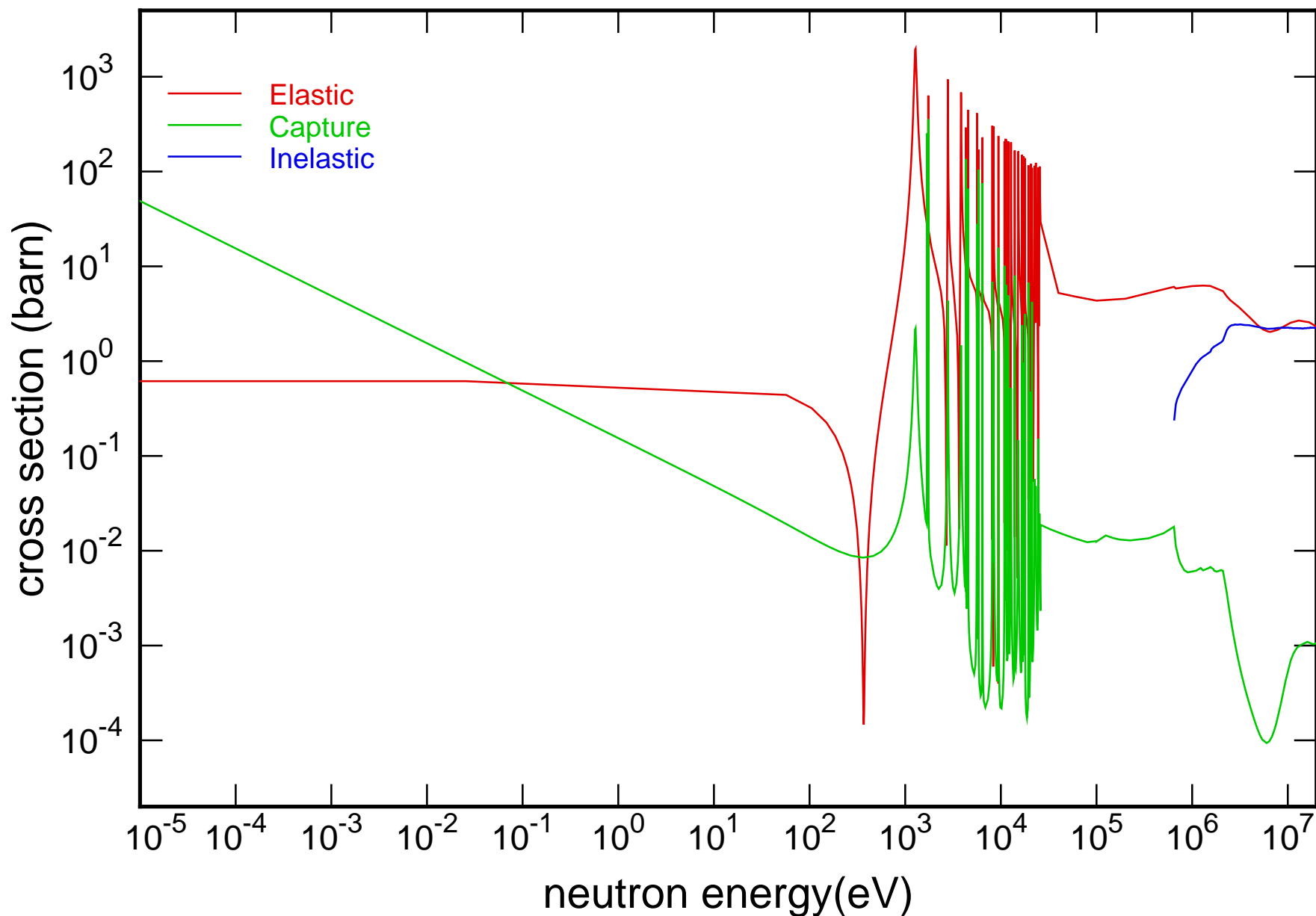
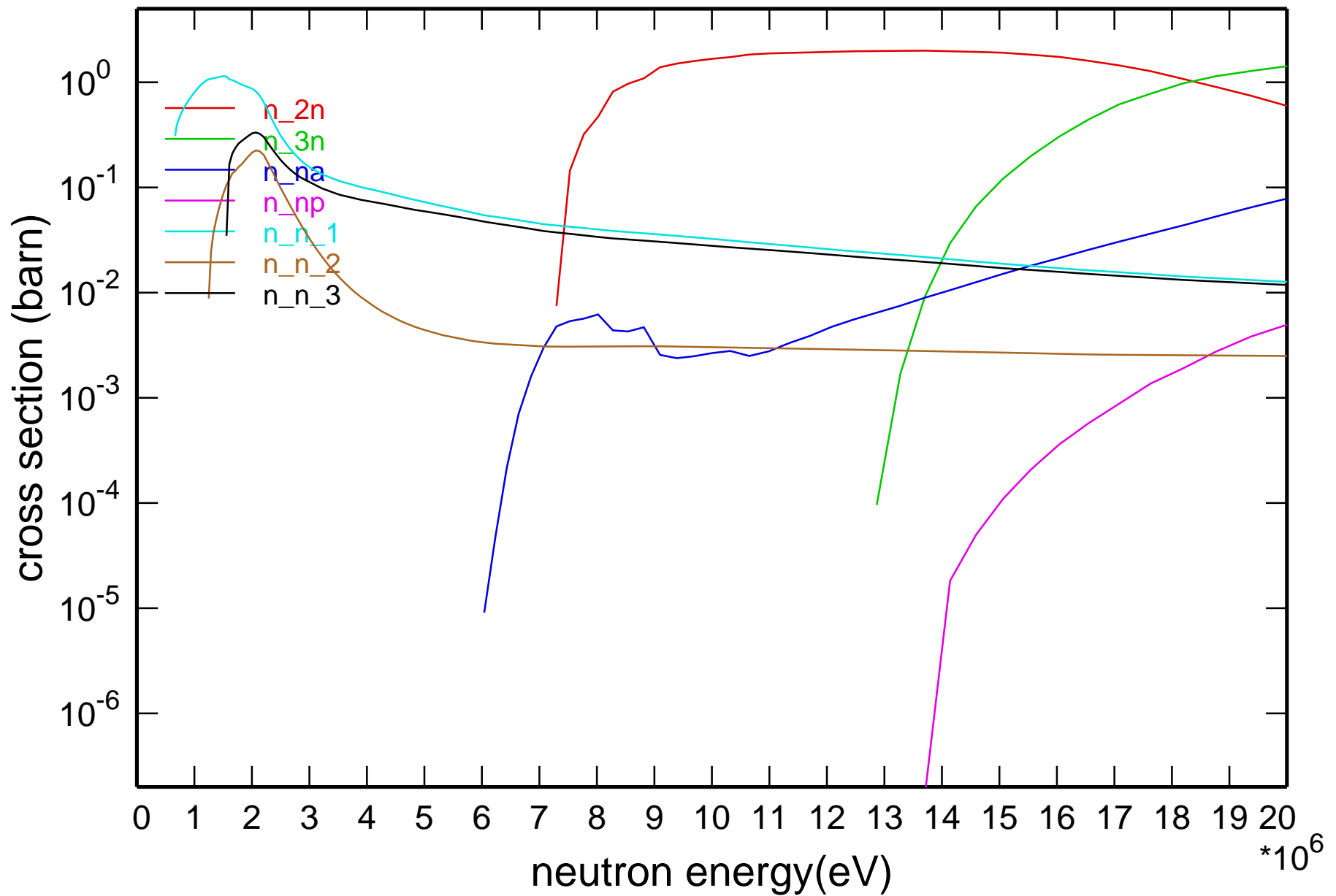


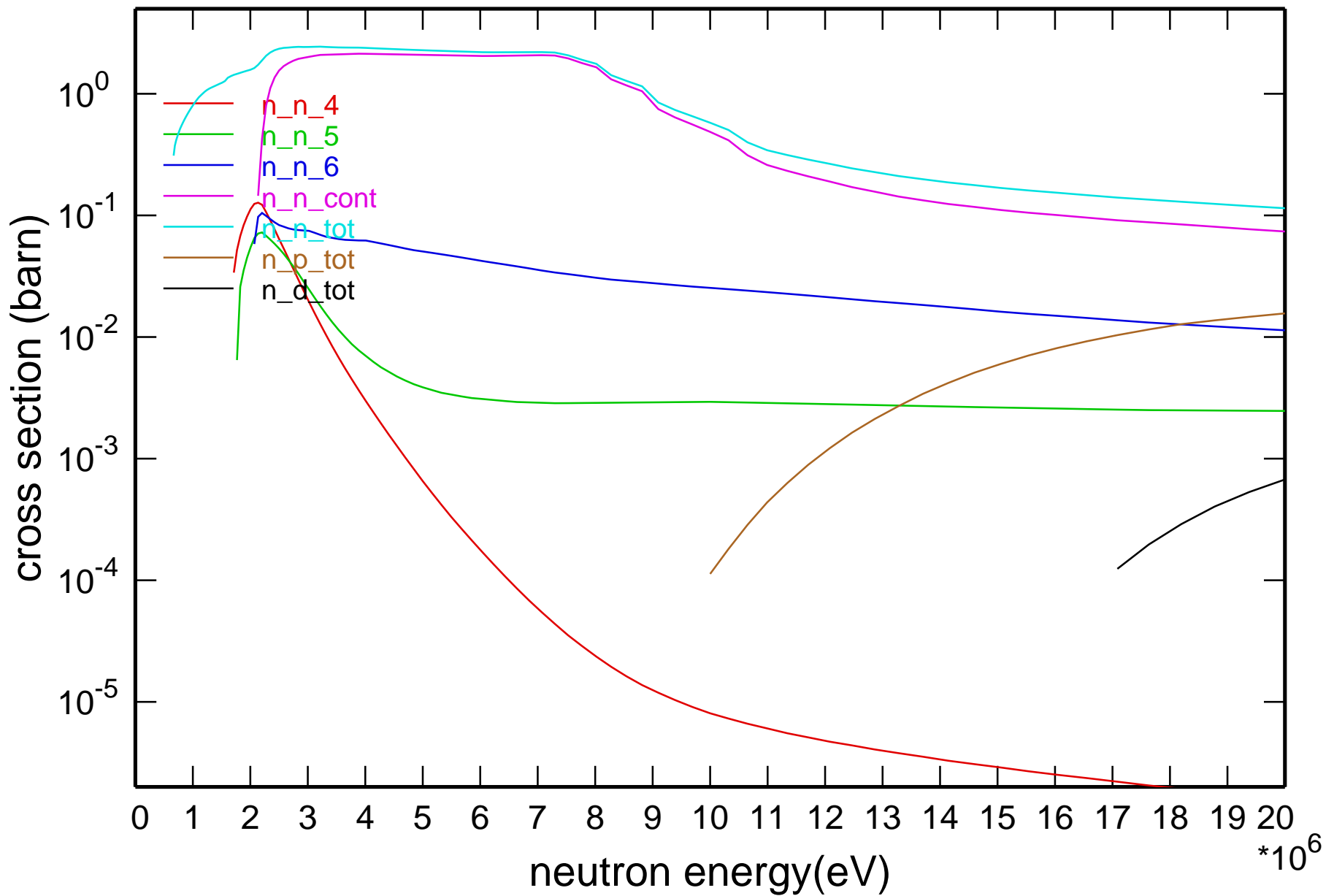
Main Cross Sections

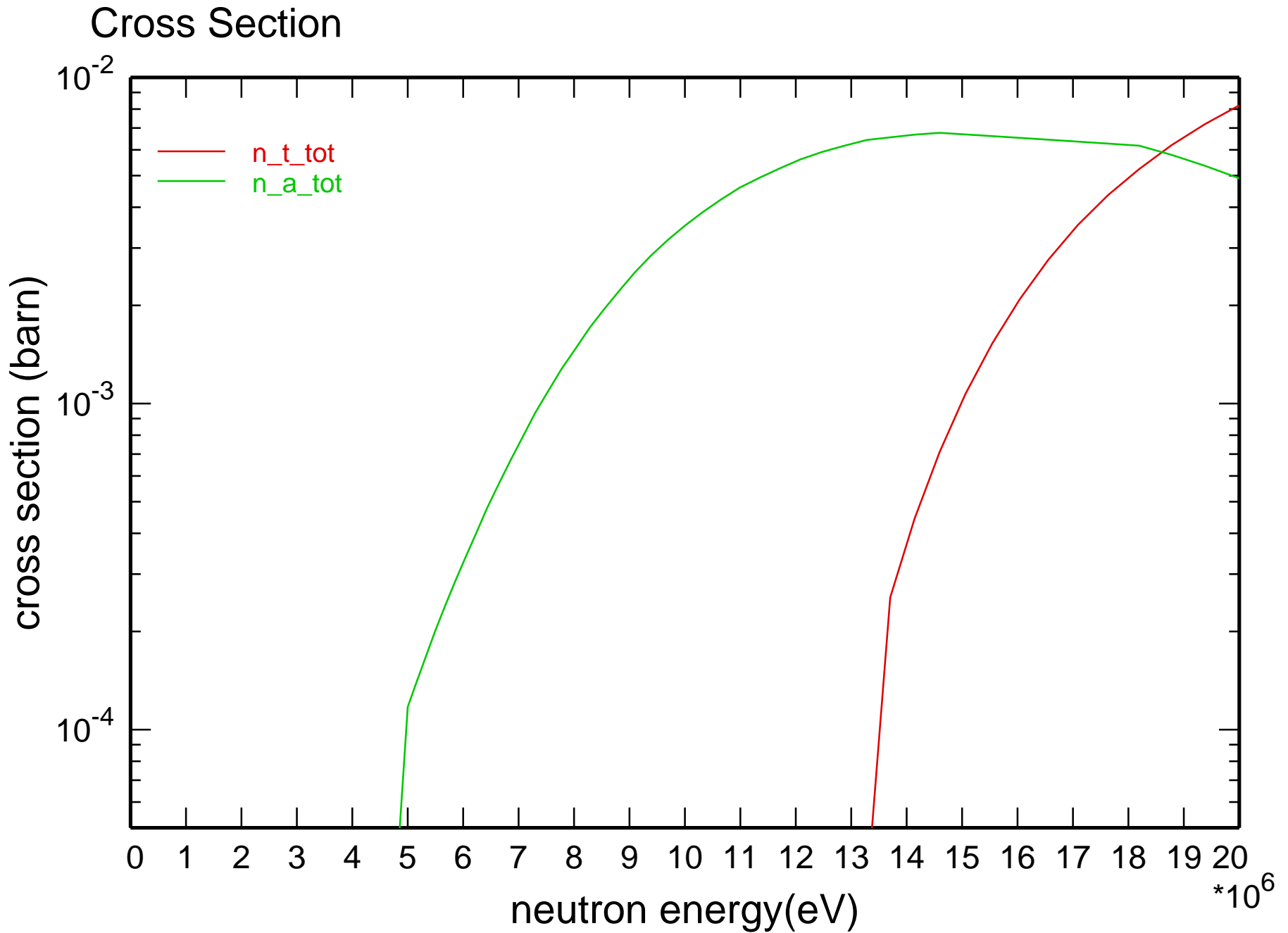


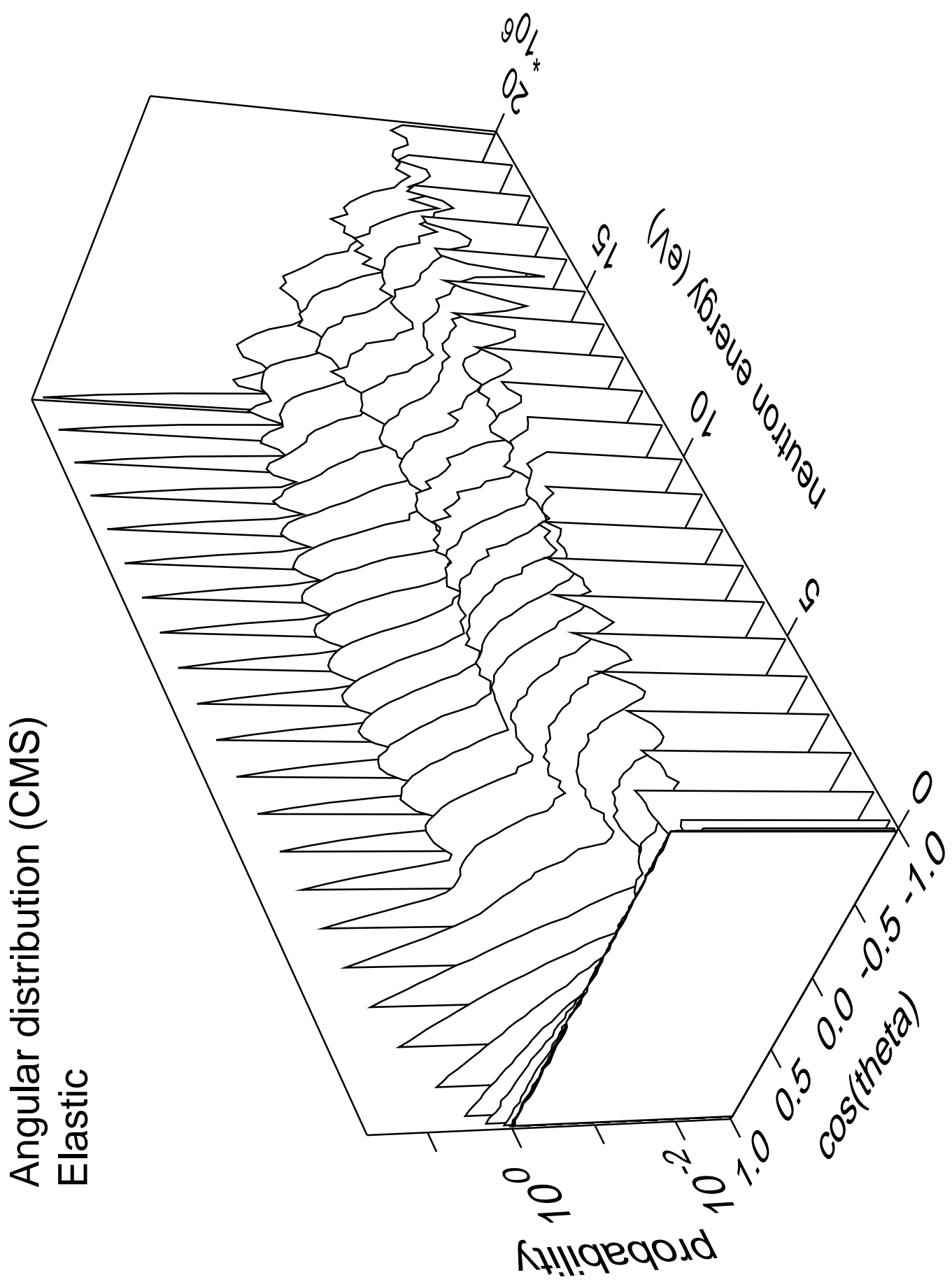
Cross Section

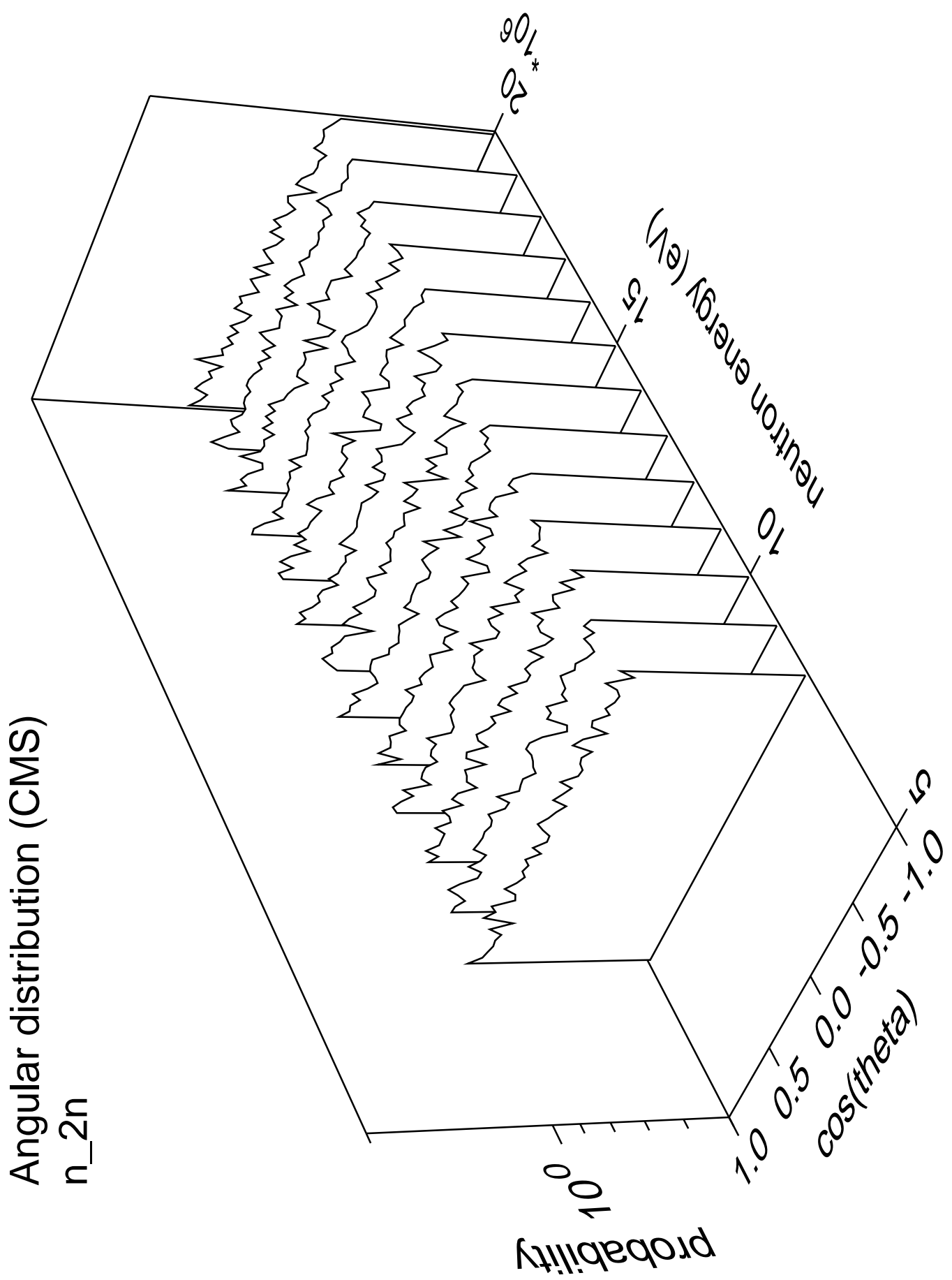


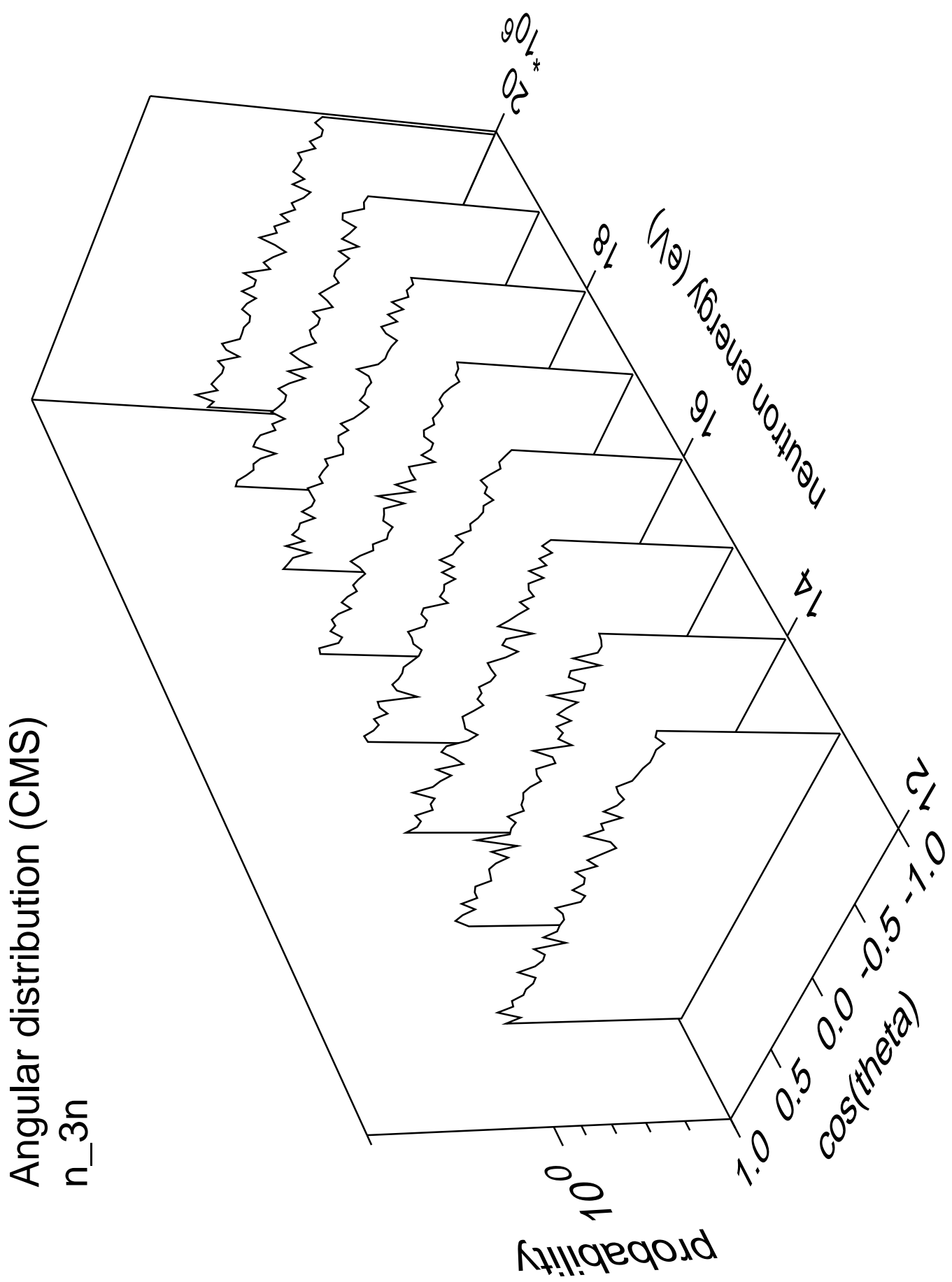
Cross Section



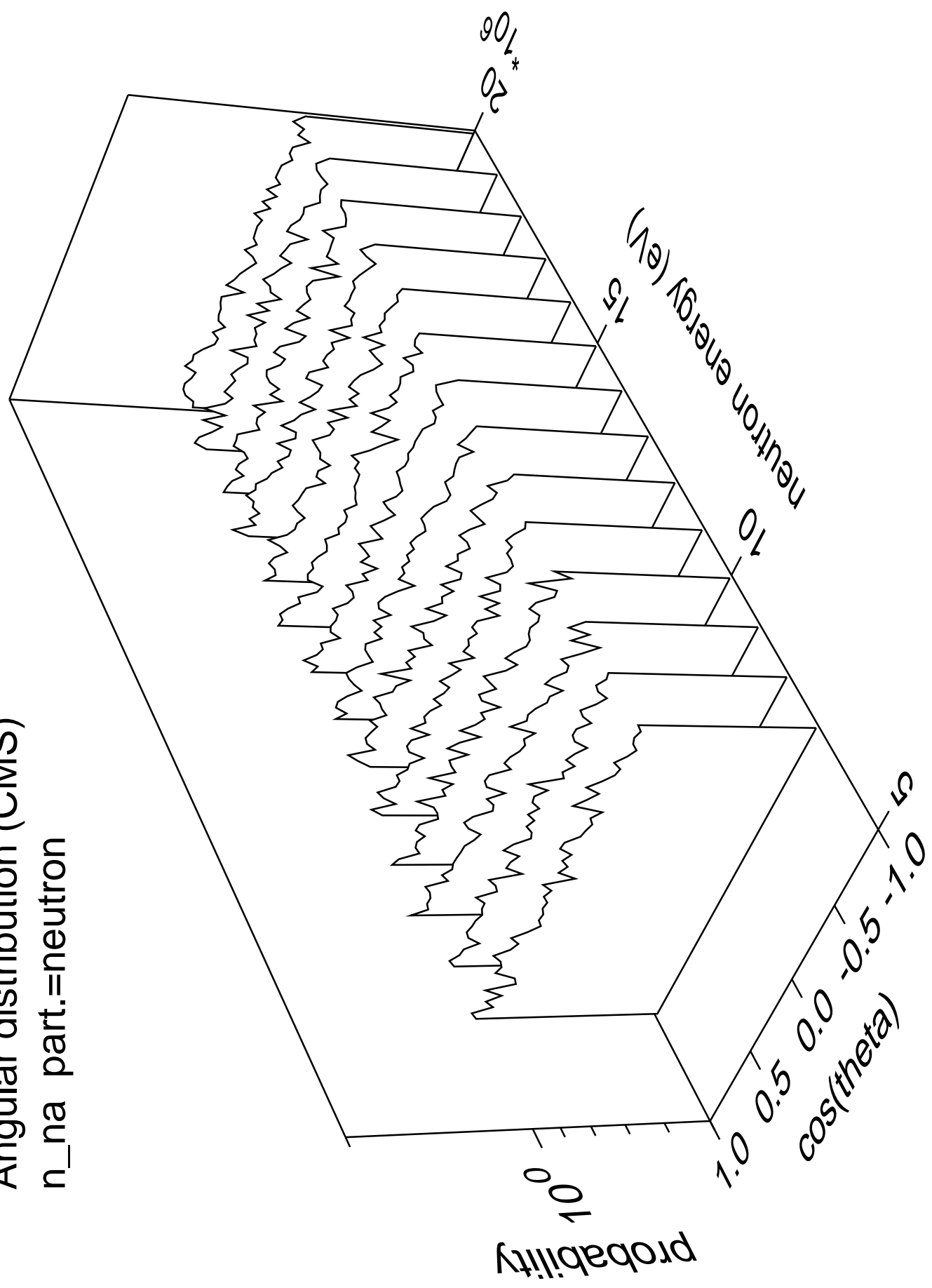




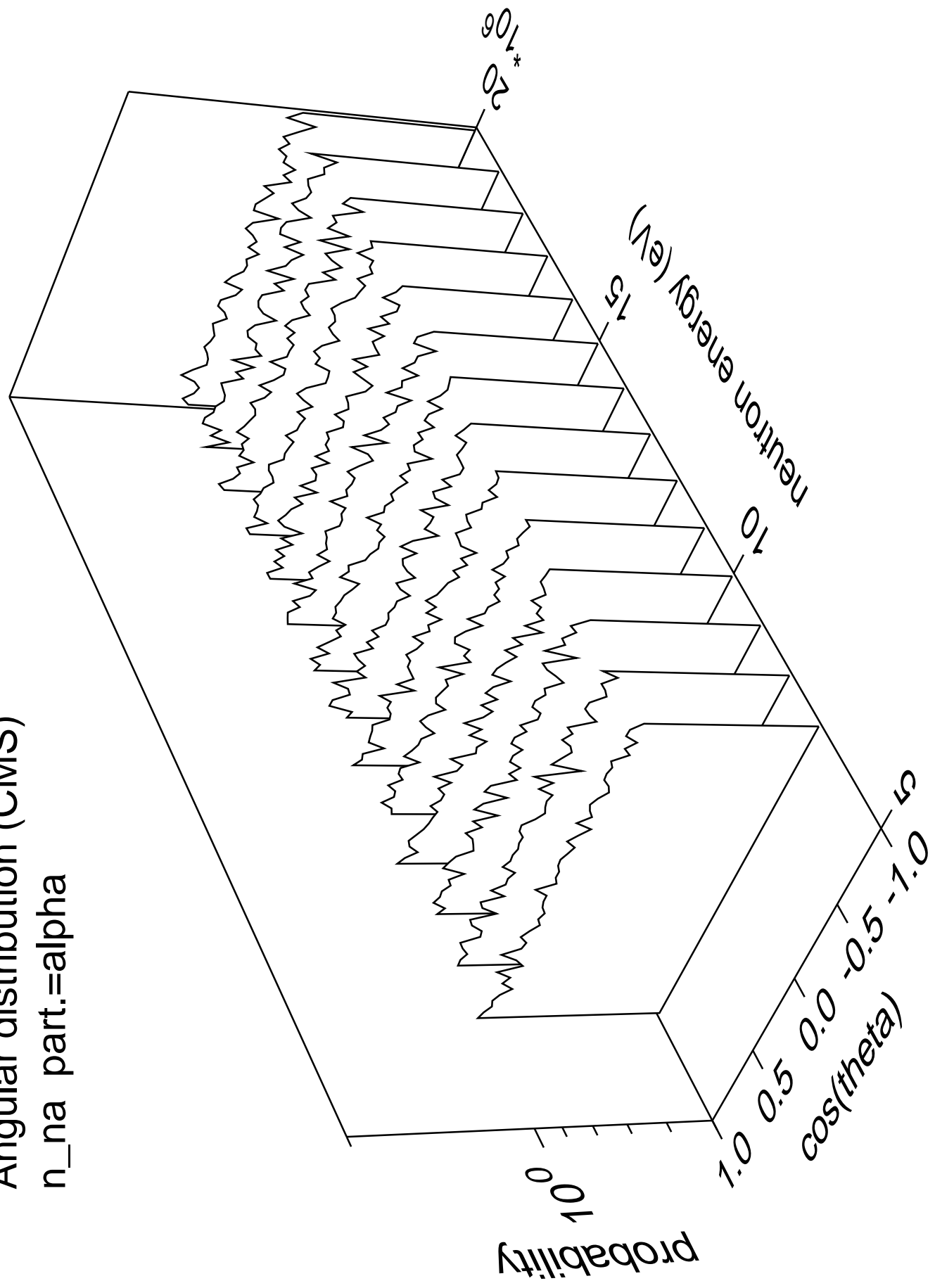


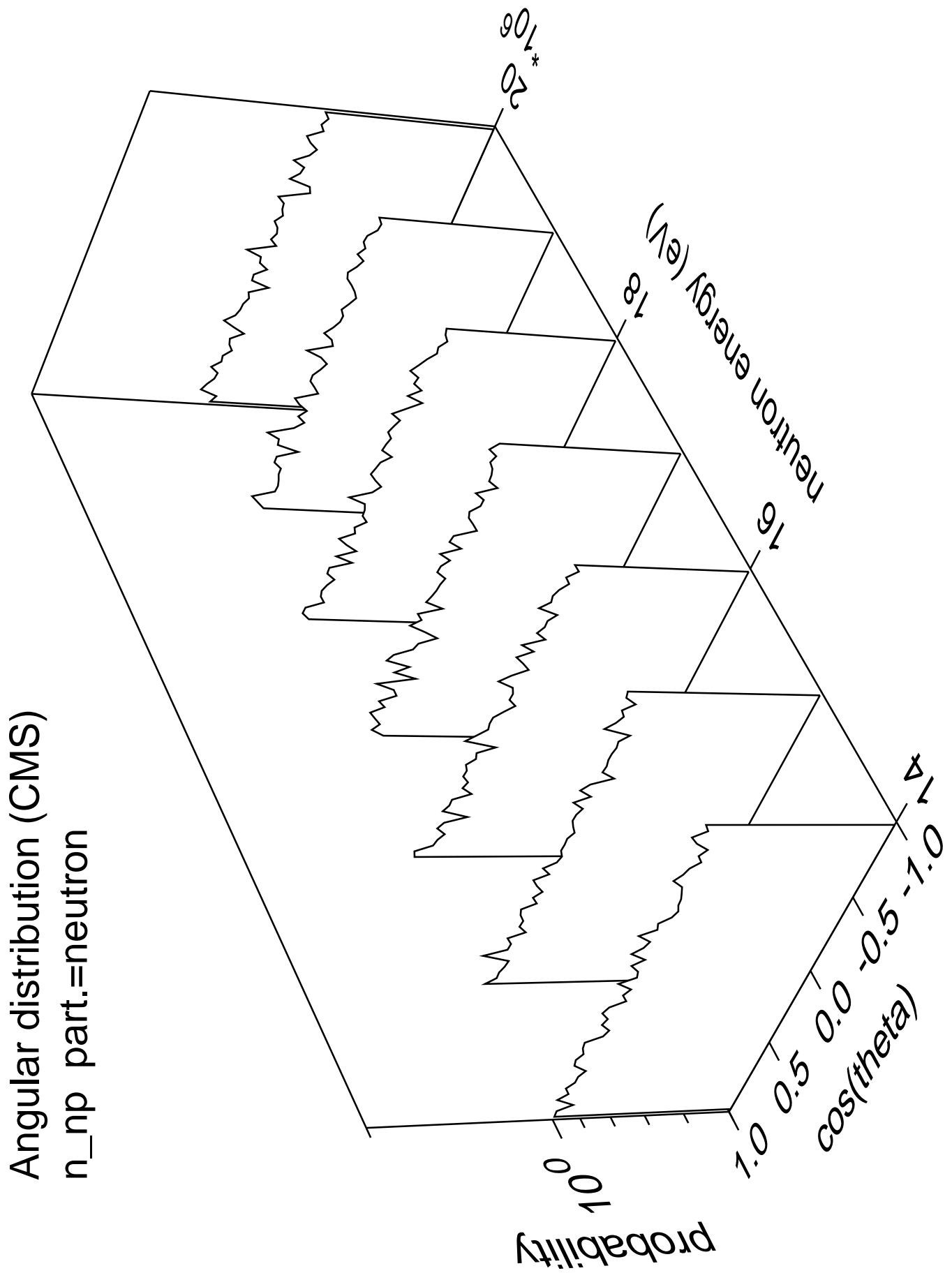


Angular distribution (CMS)
 n_{na} part.=neutron

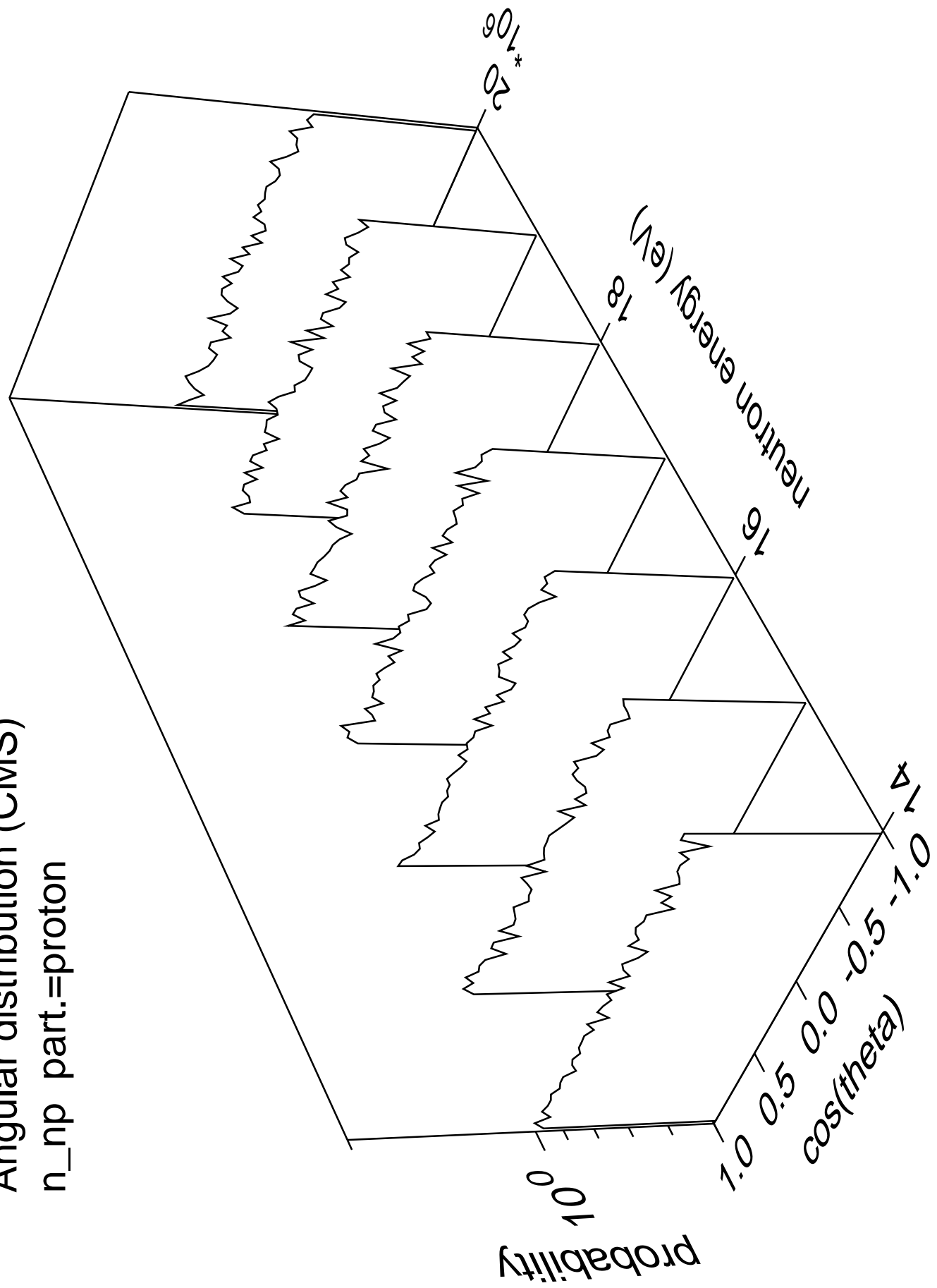


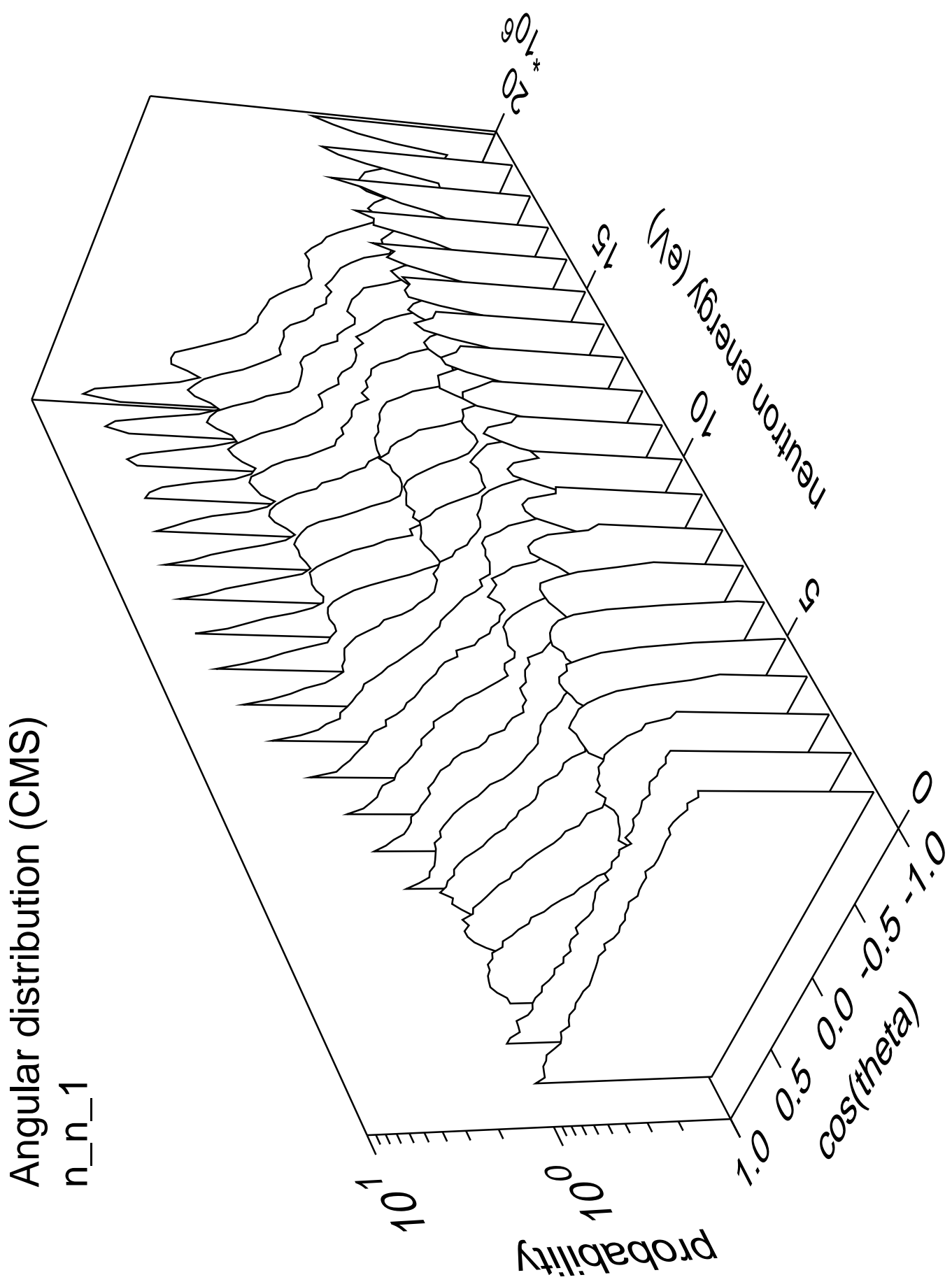
Angular distribution (CMS)
 n_{na} part.=alpha

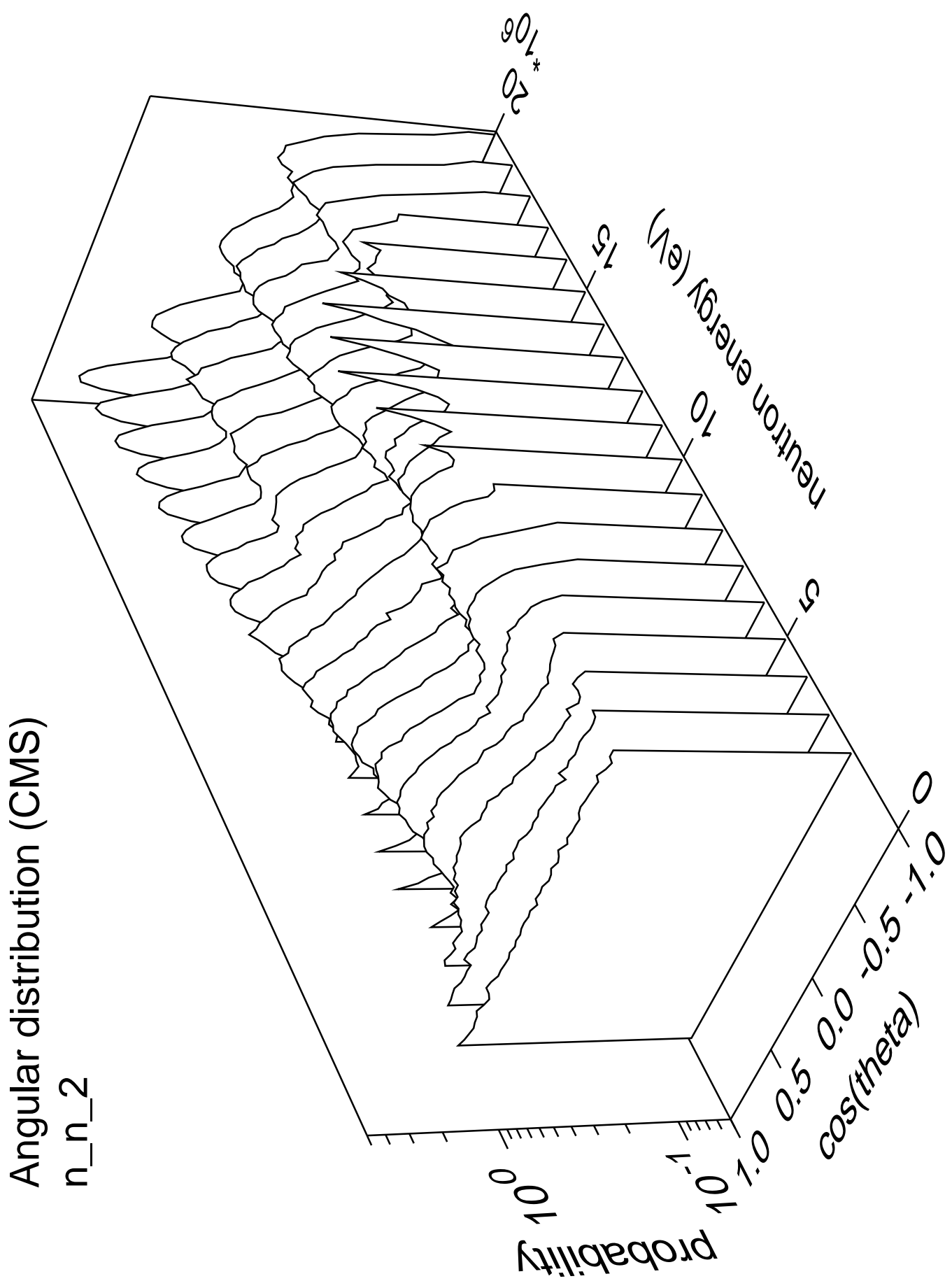


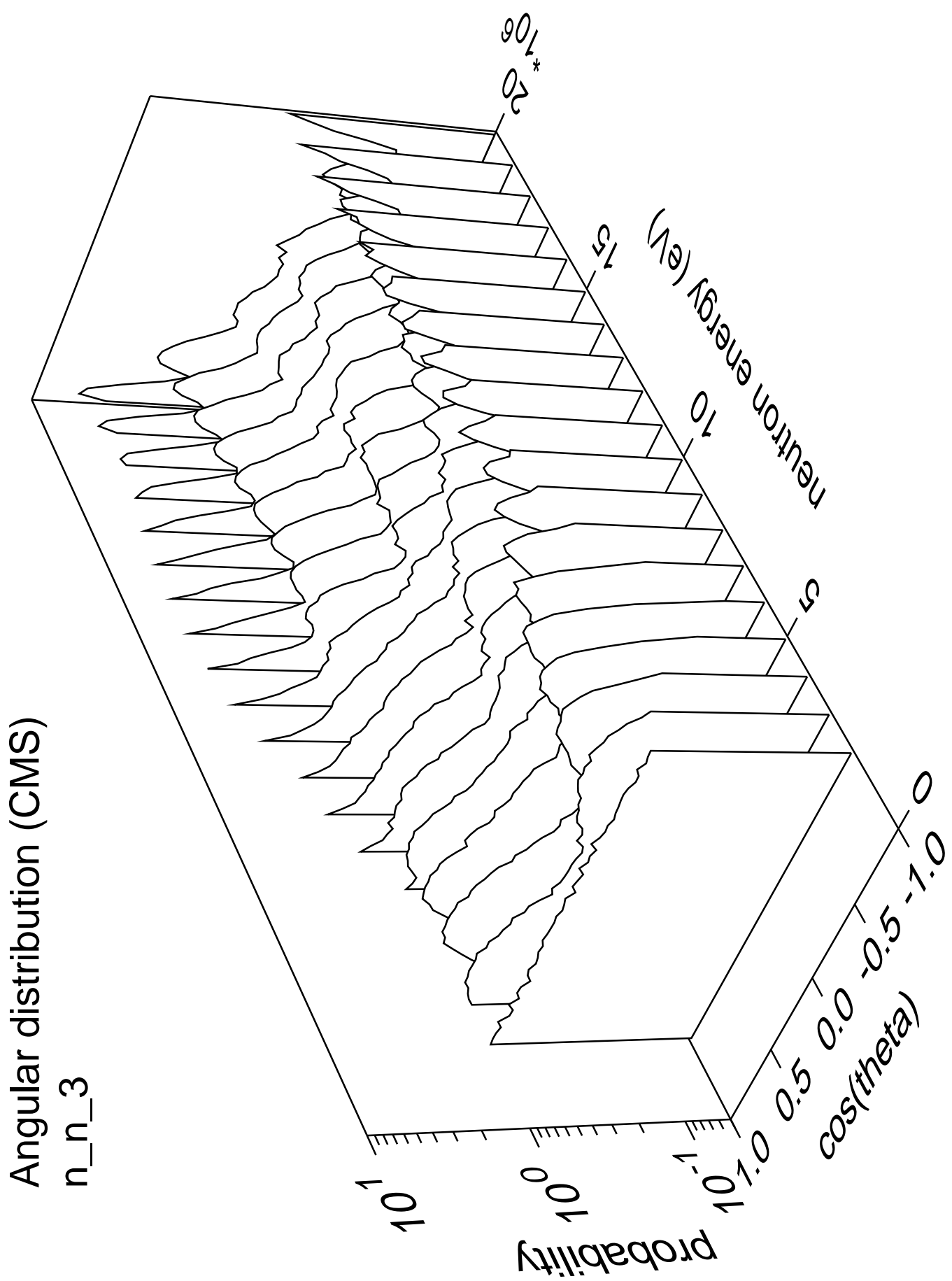


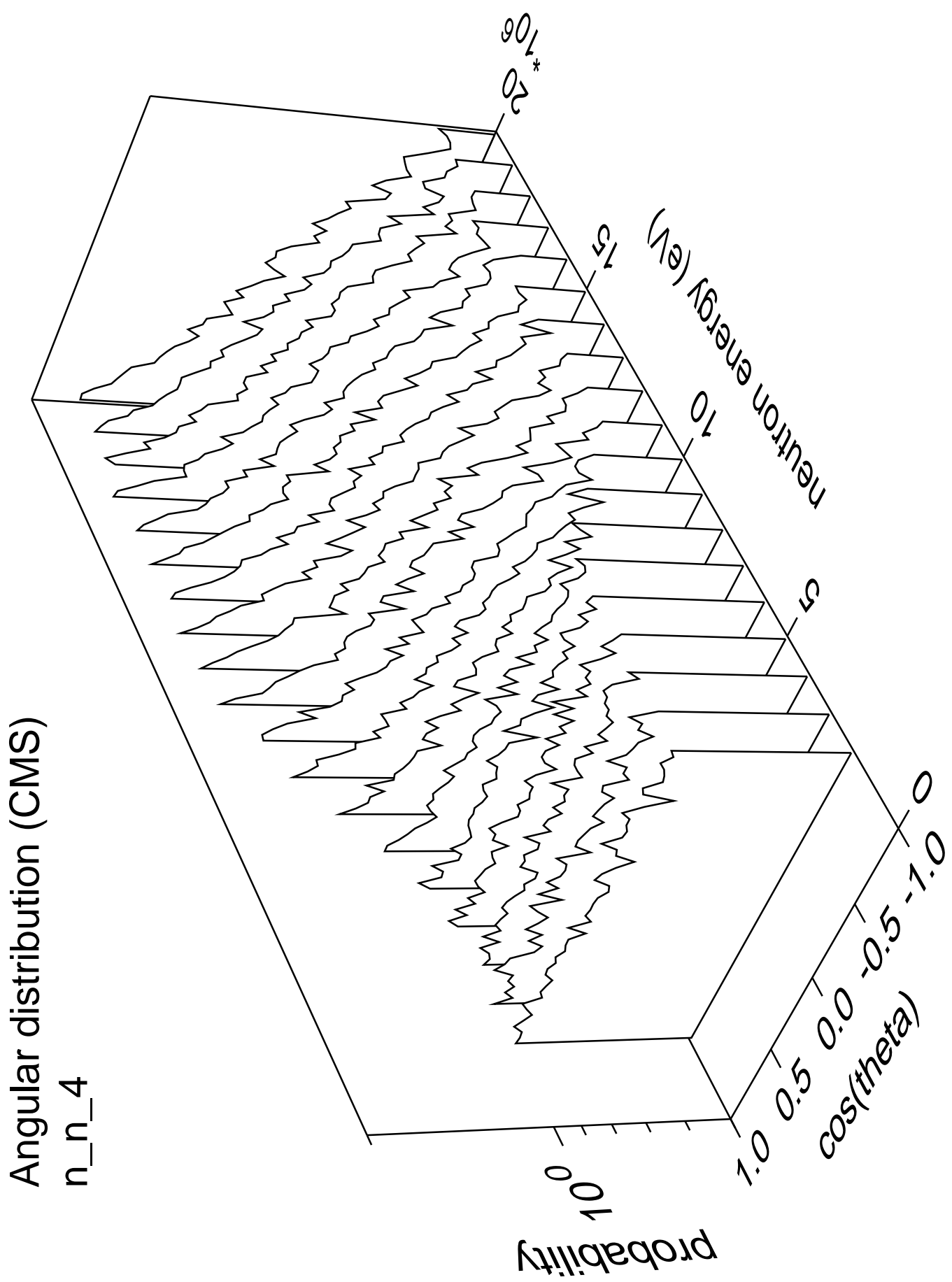
Angular distribution (CMS)
 n_{np} part.=proton

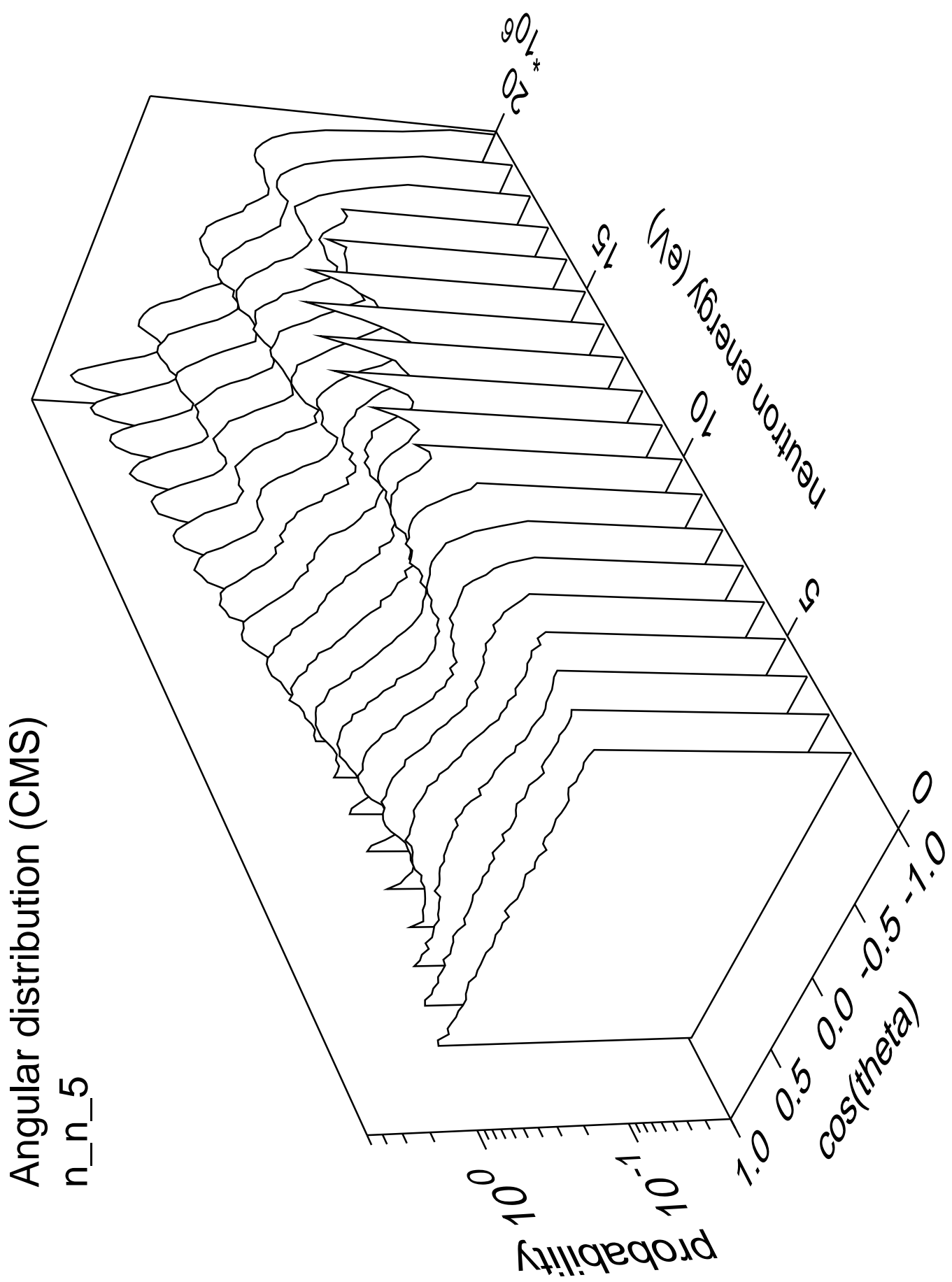


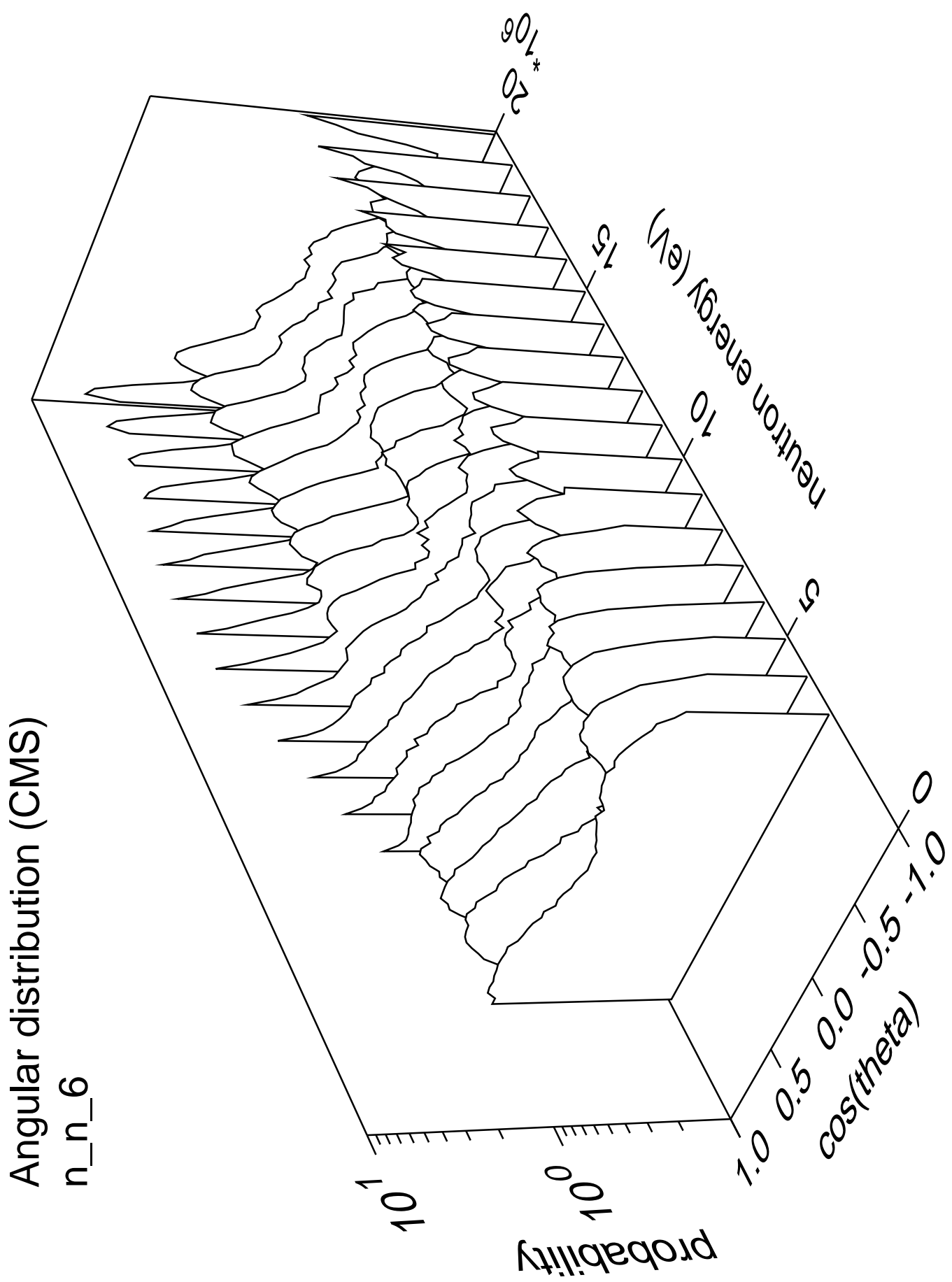


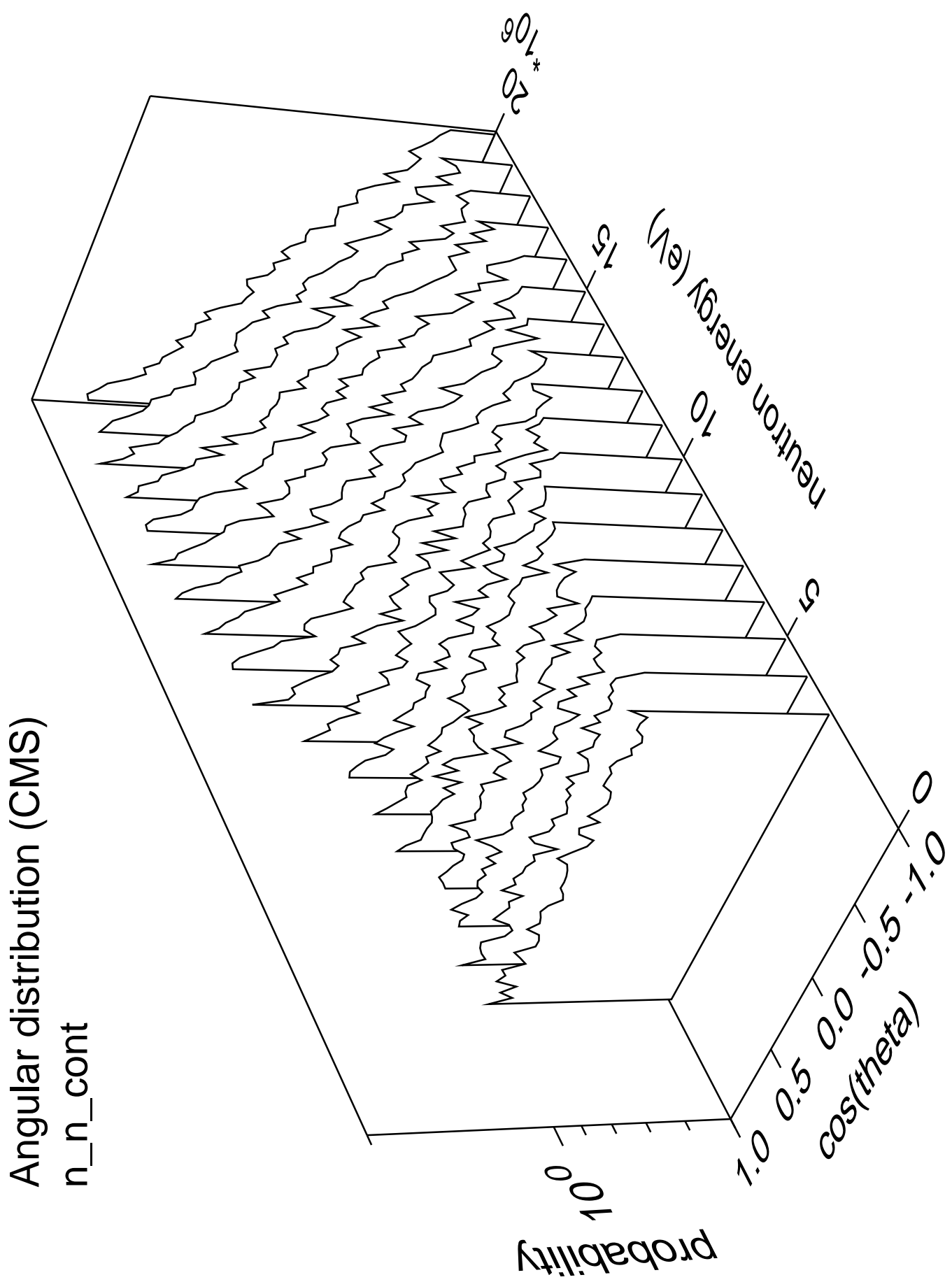


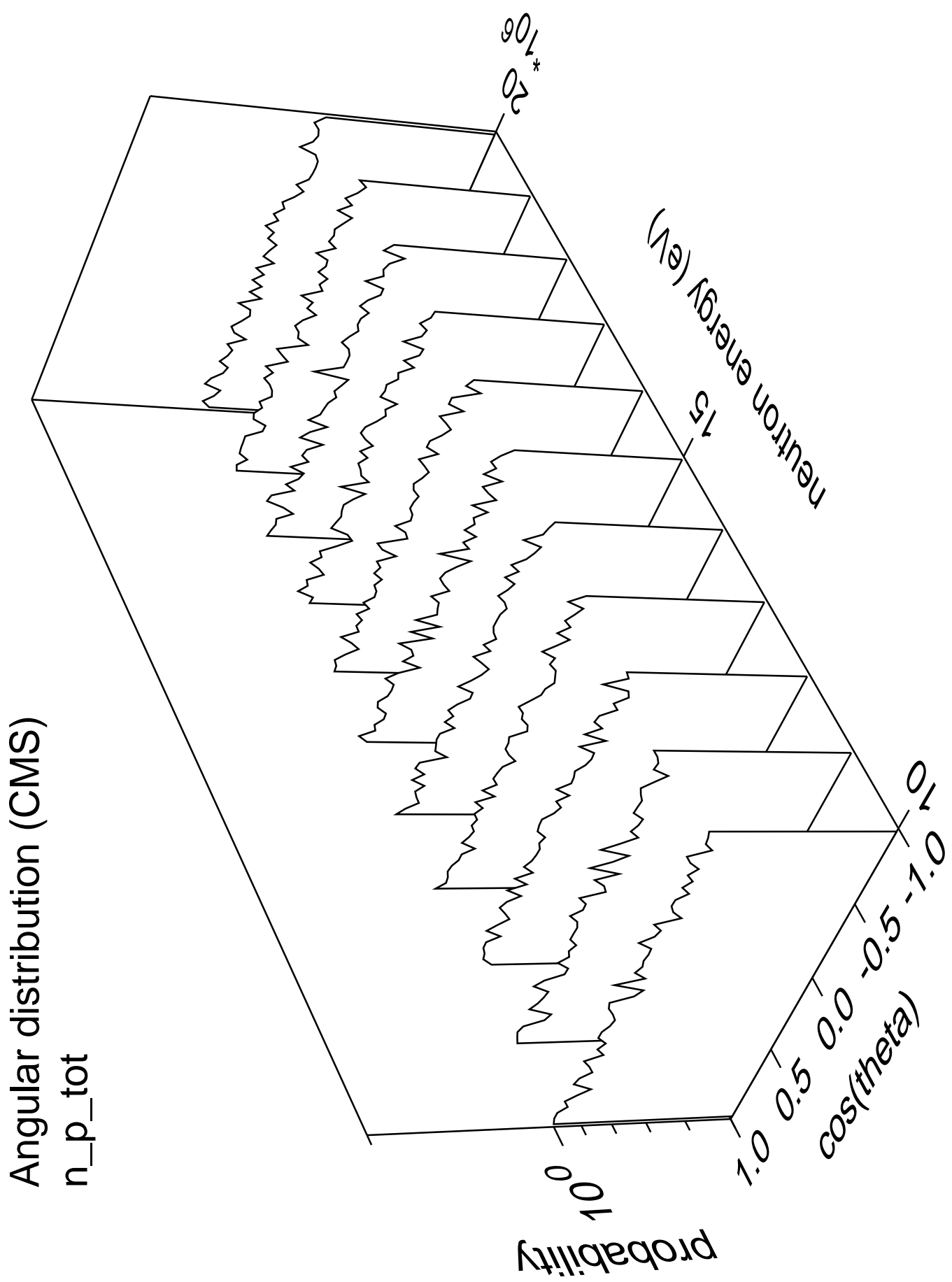


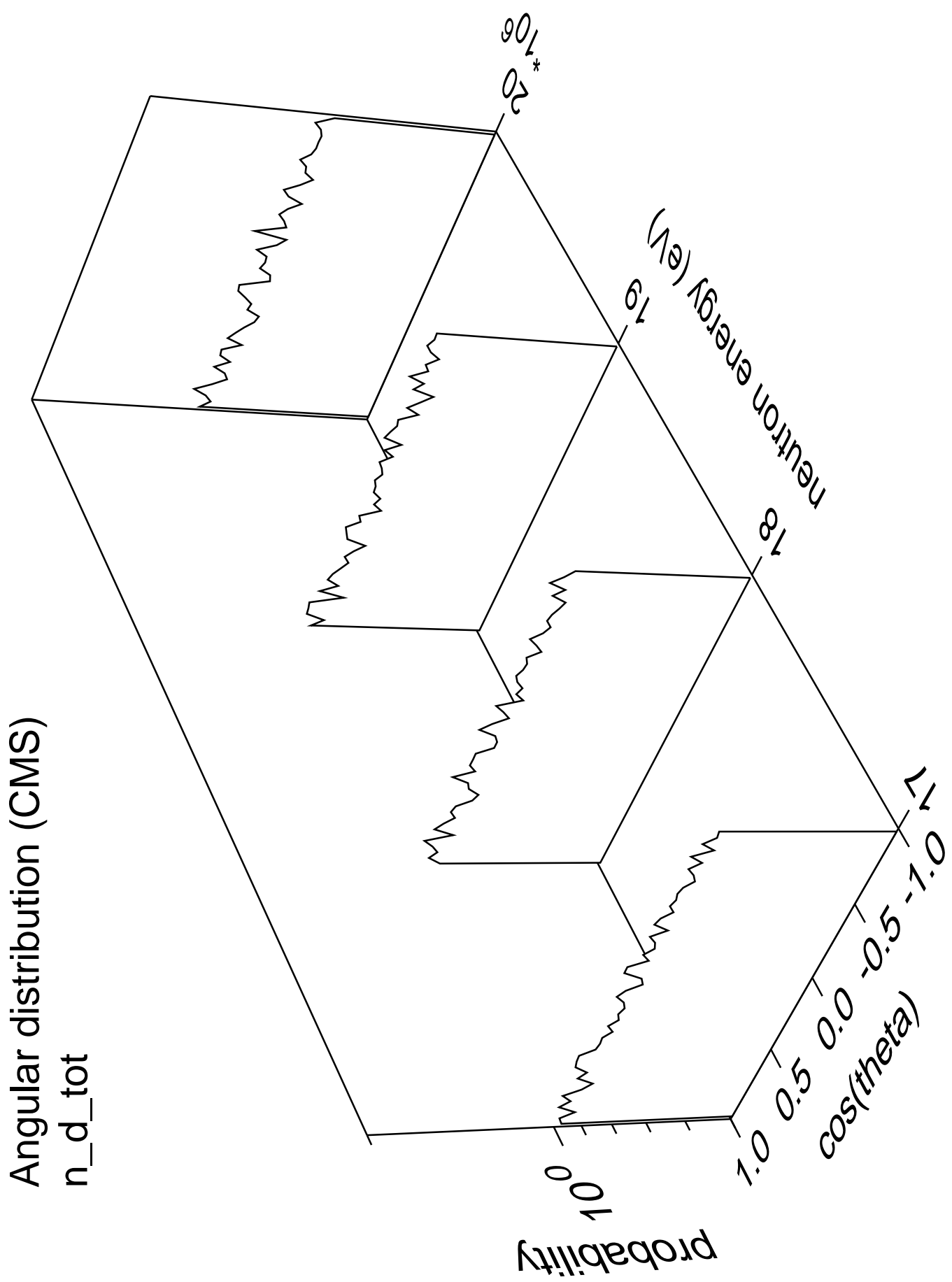


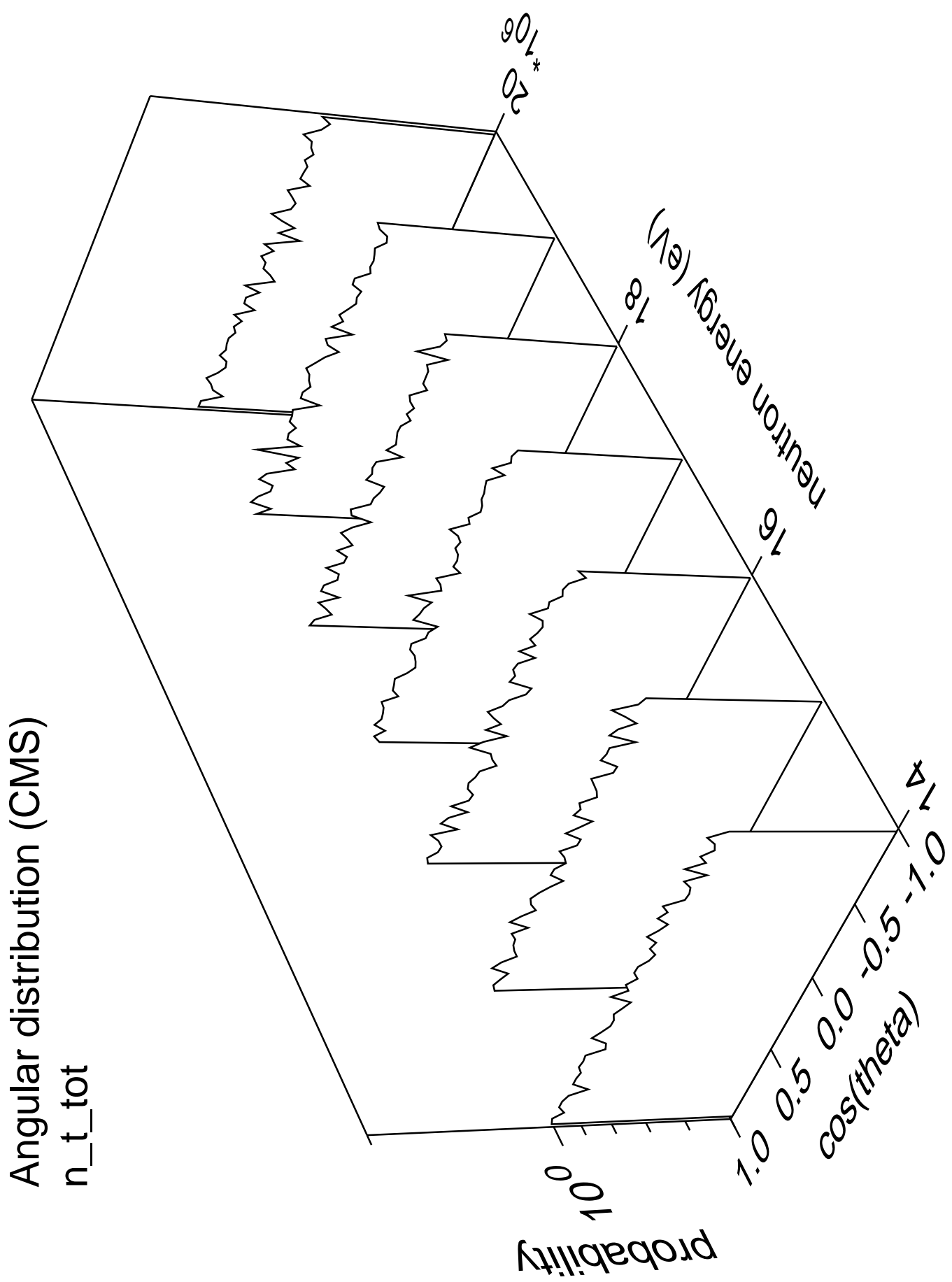


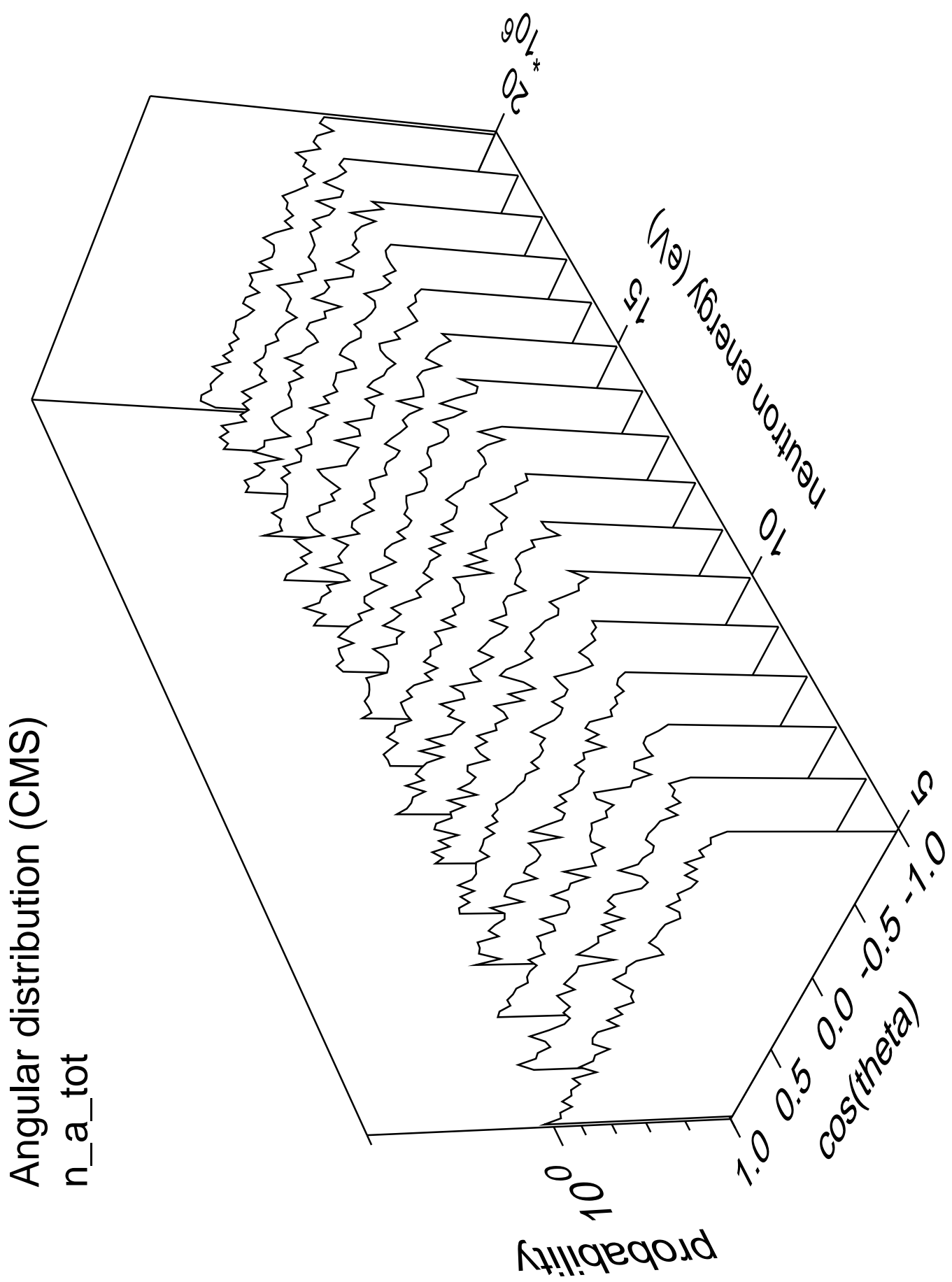


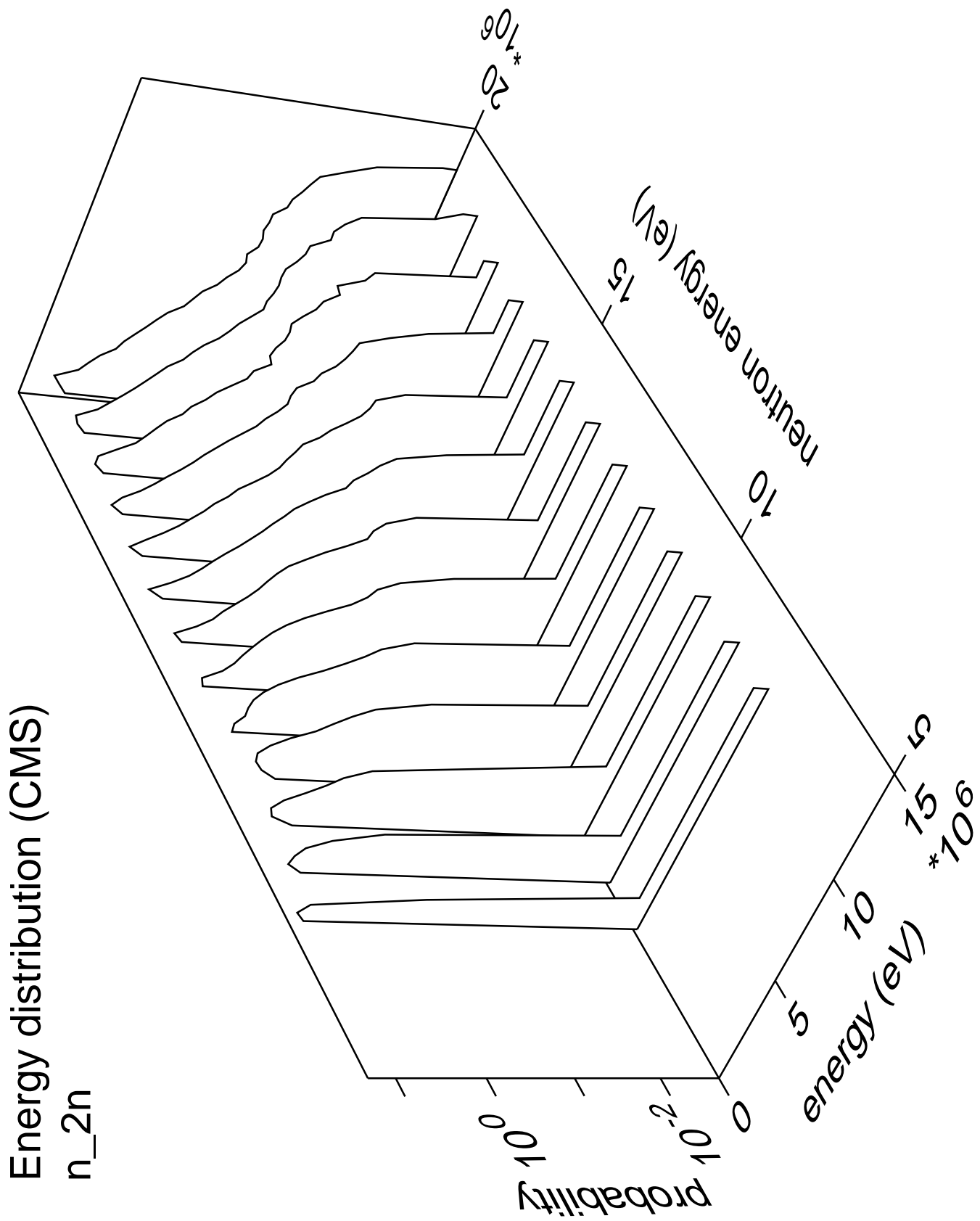


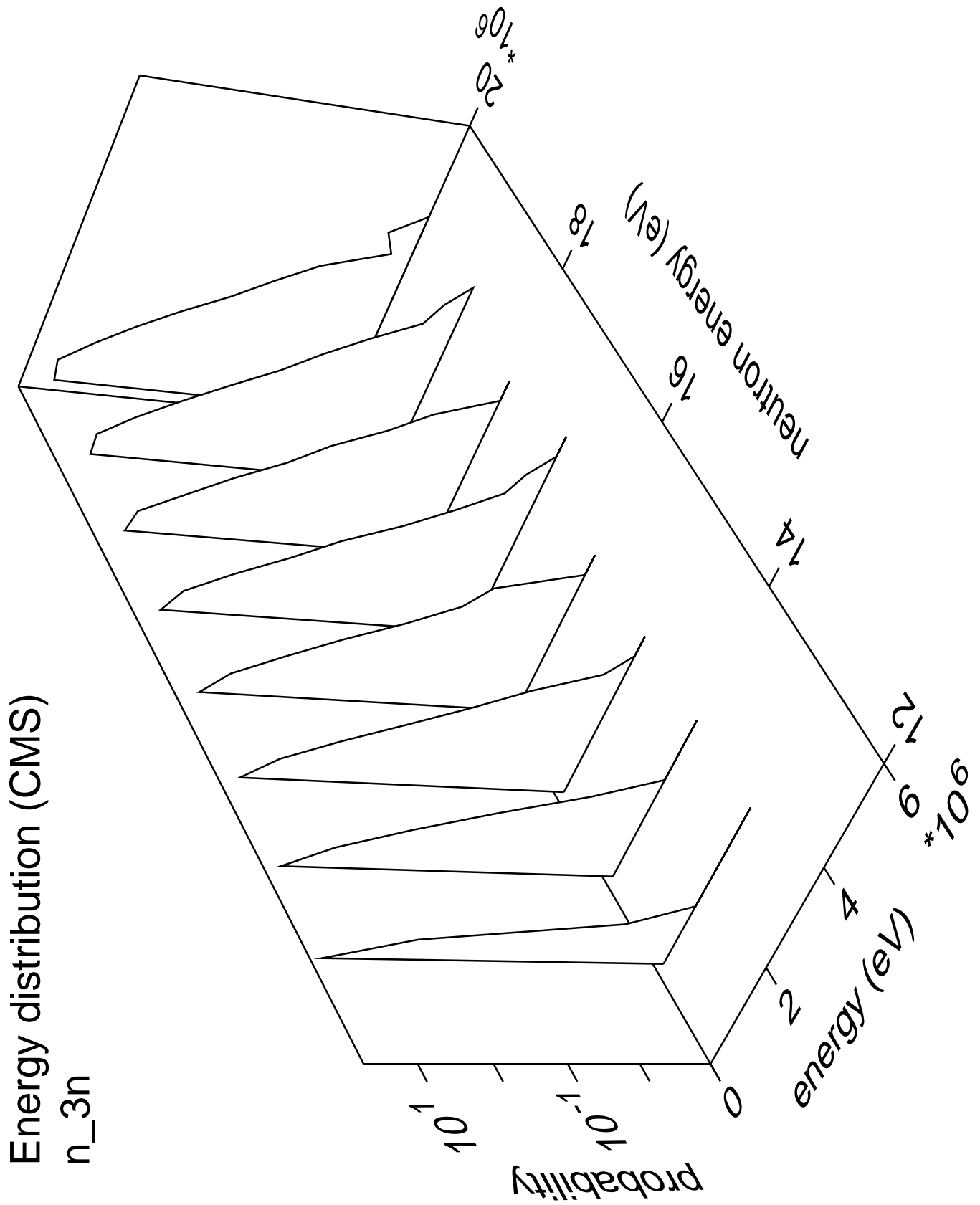


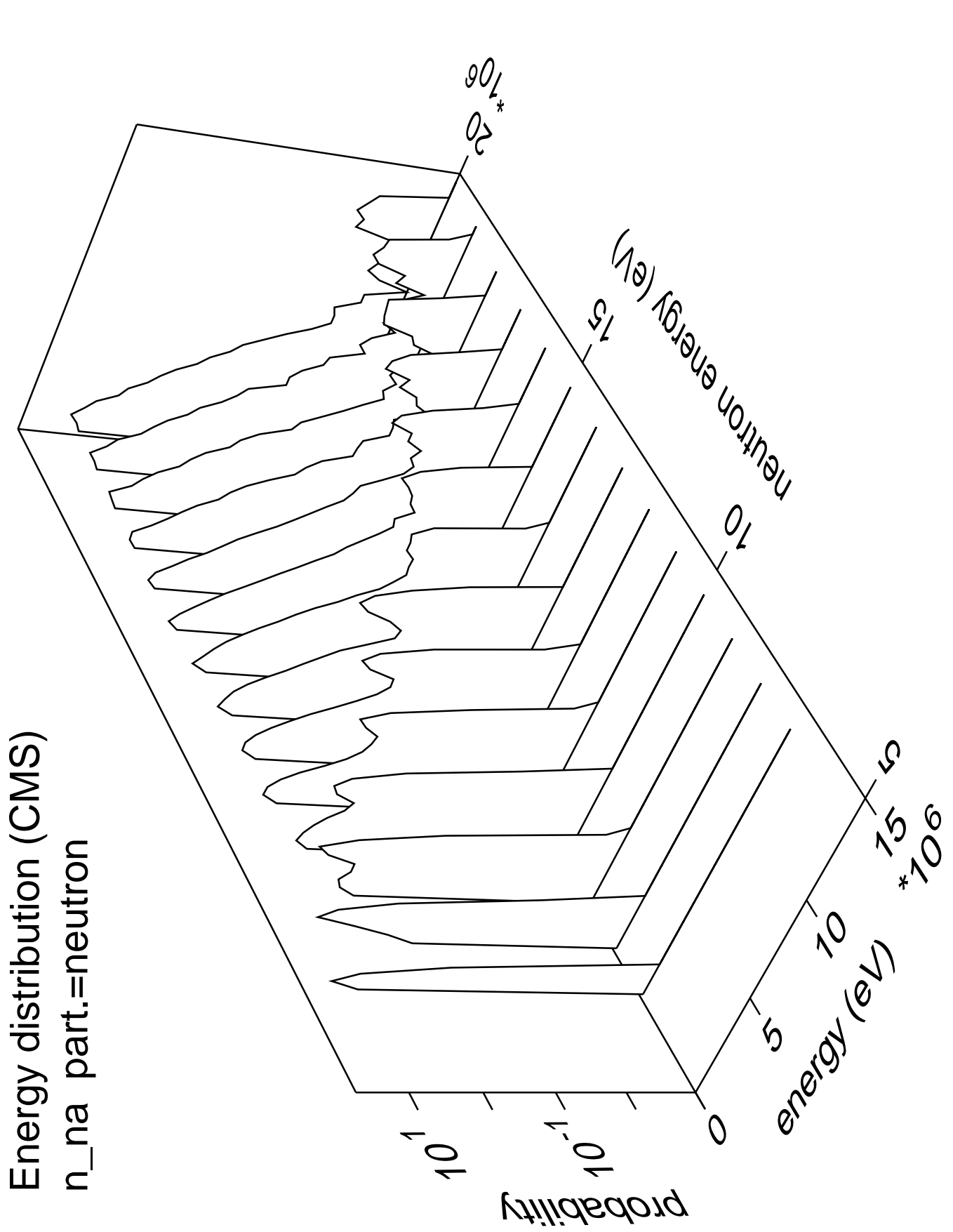




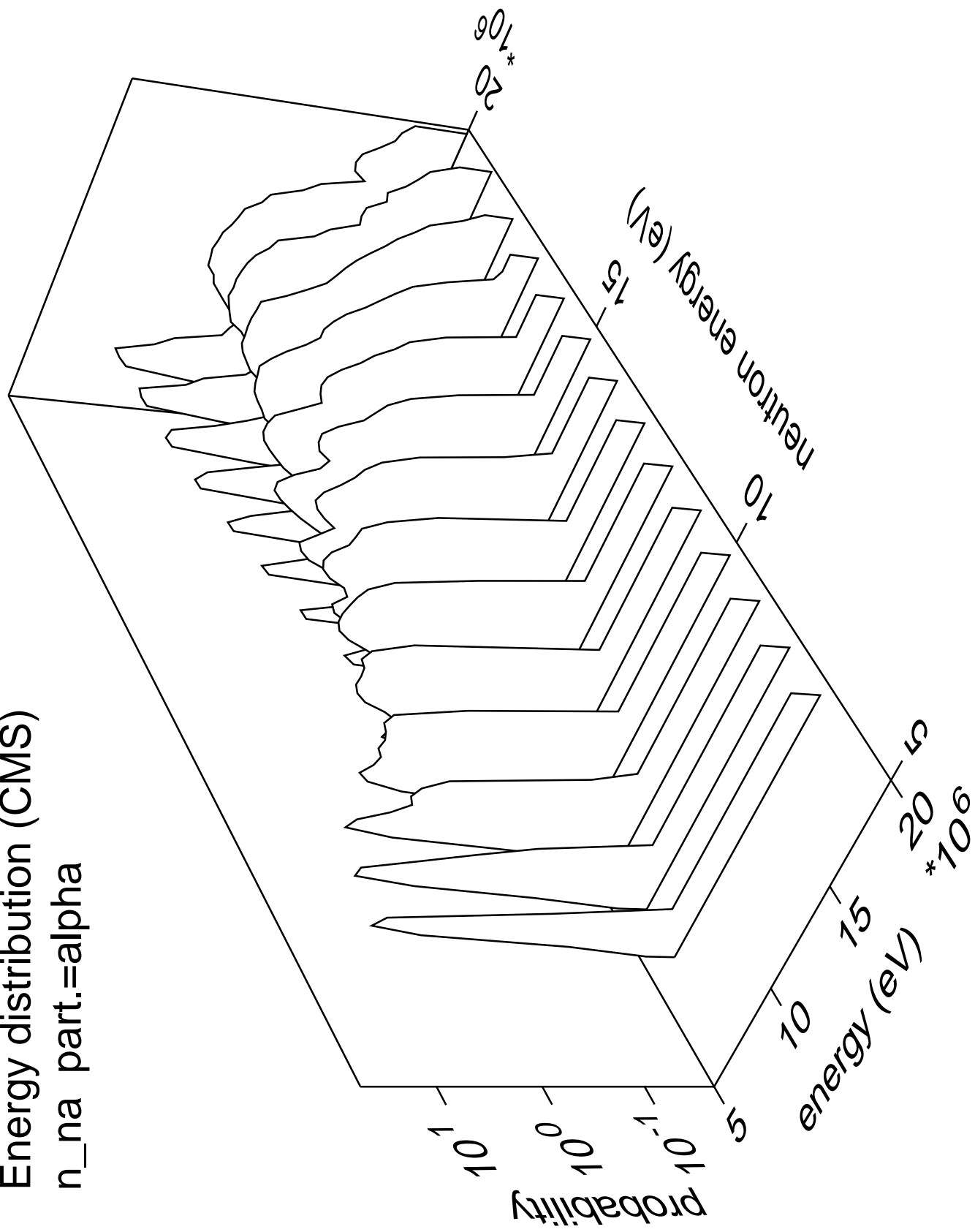


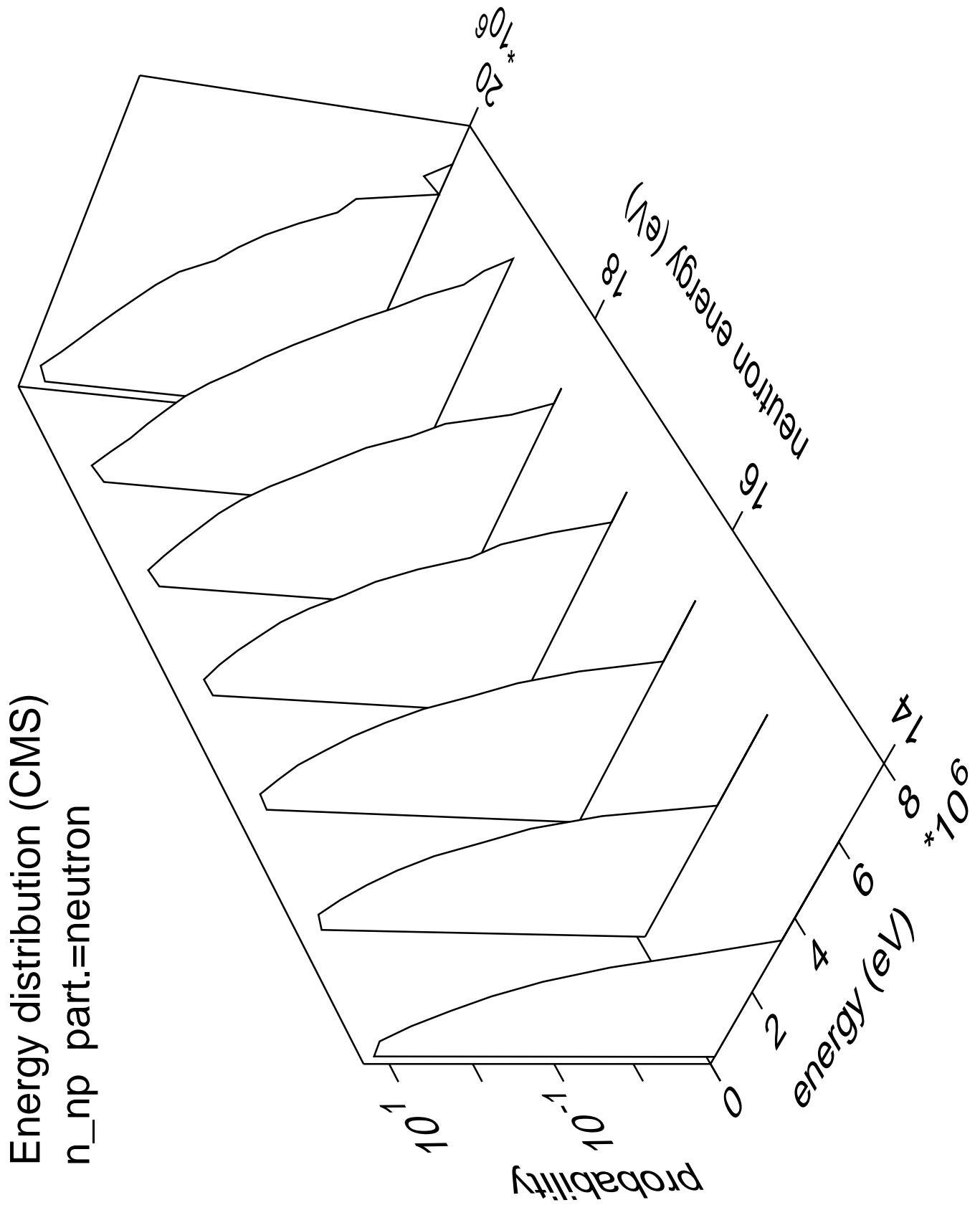




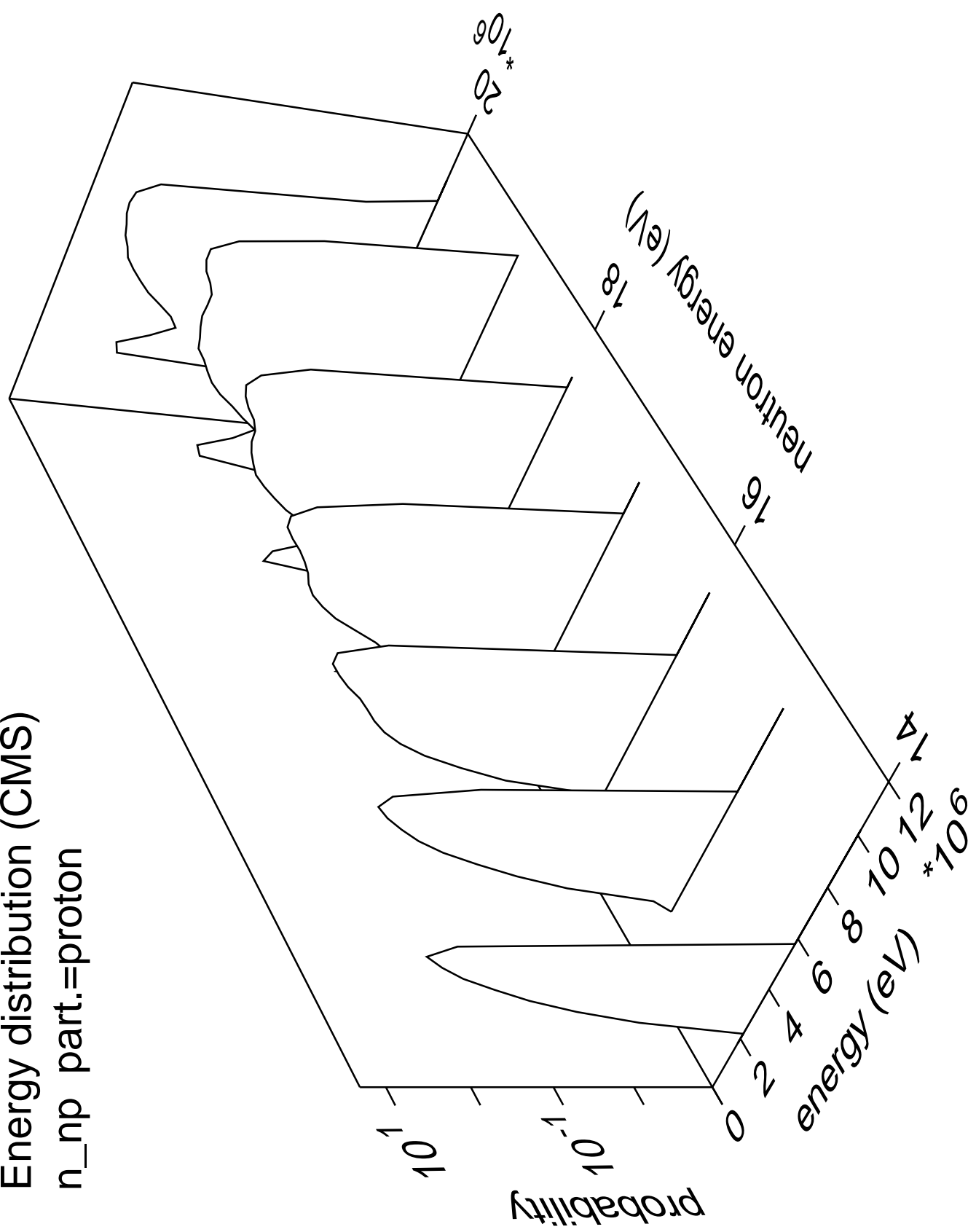


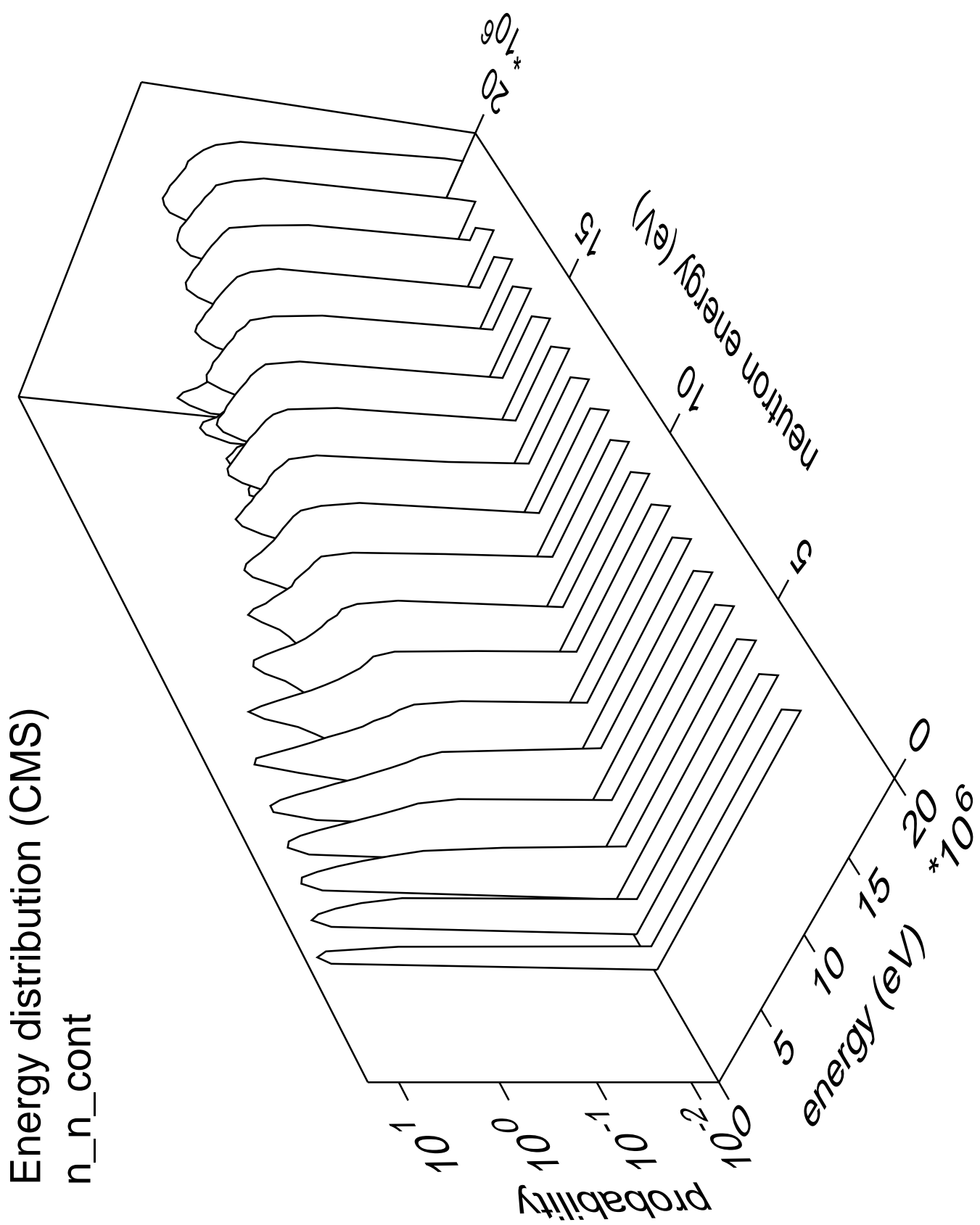
Energy distribution (CMS)
 $n_{\text{na}} \text{ part.} = \text{alpha}$

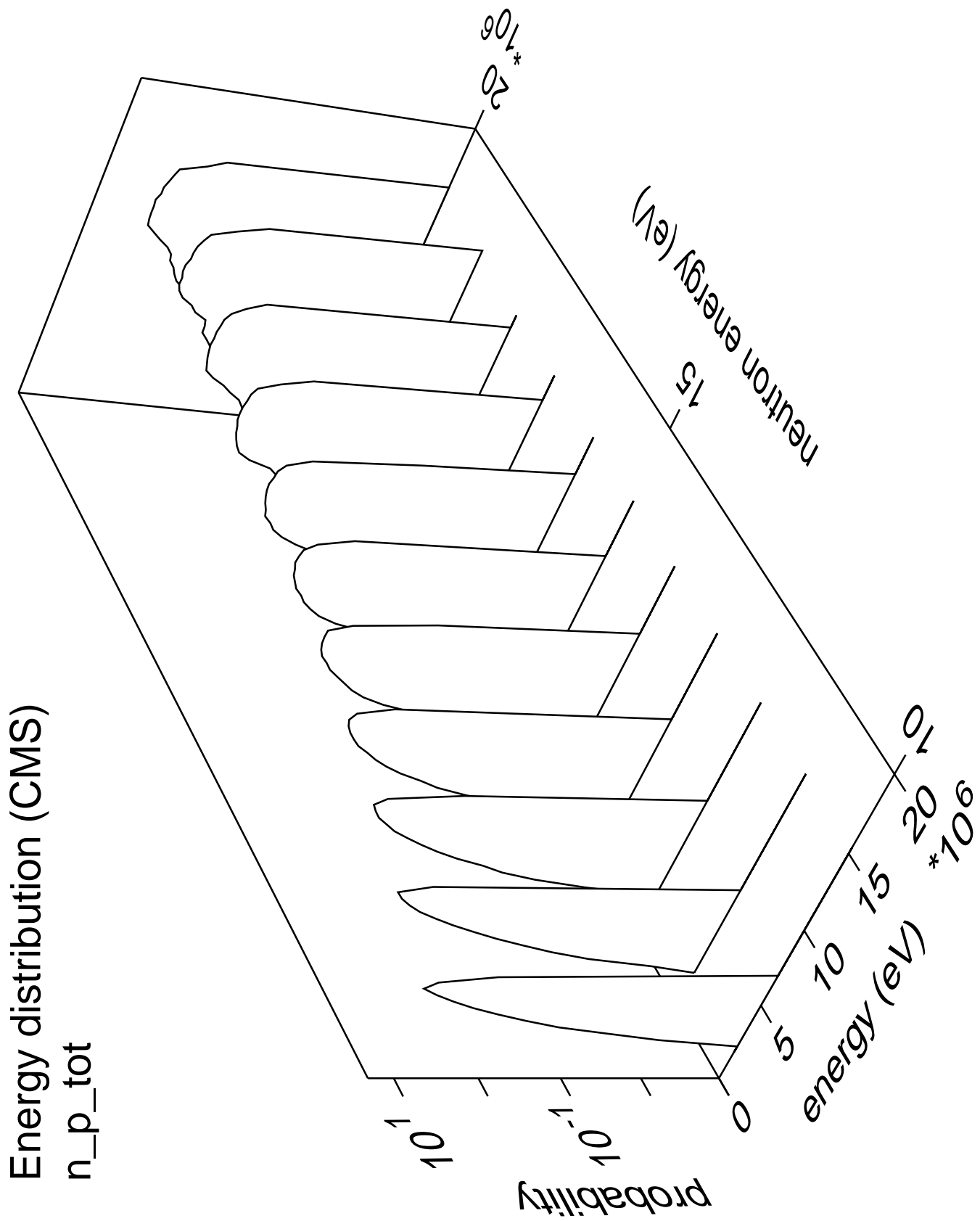


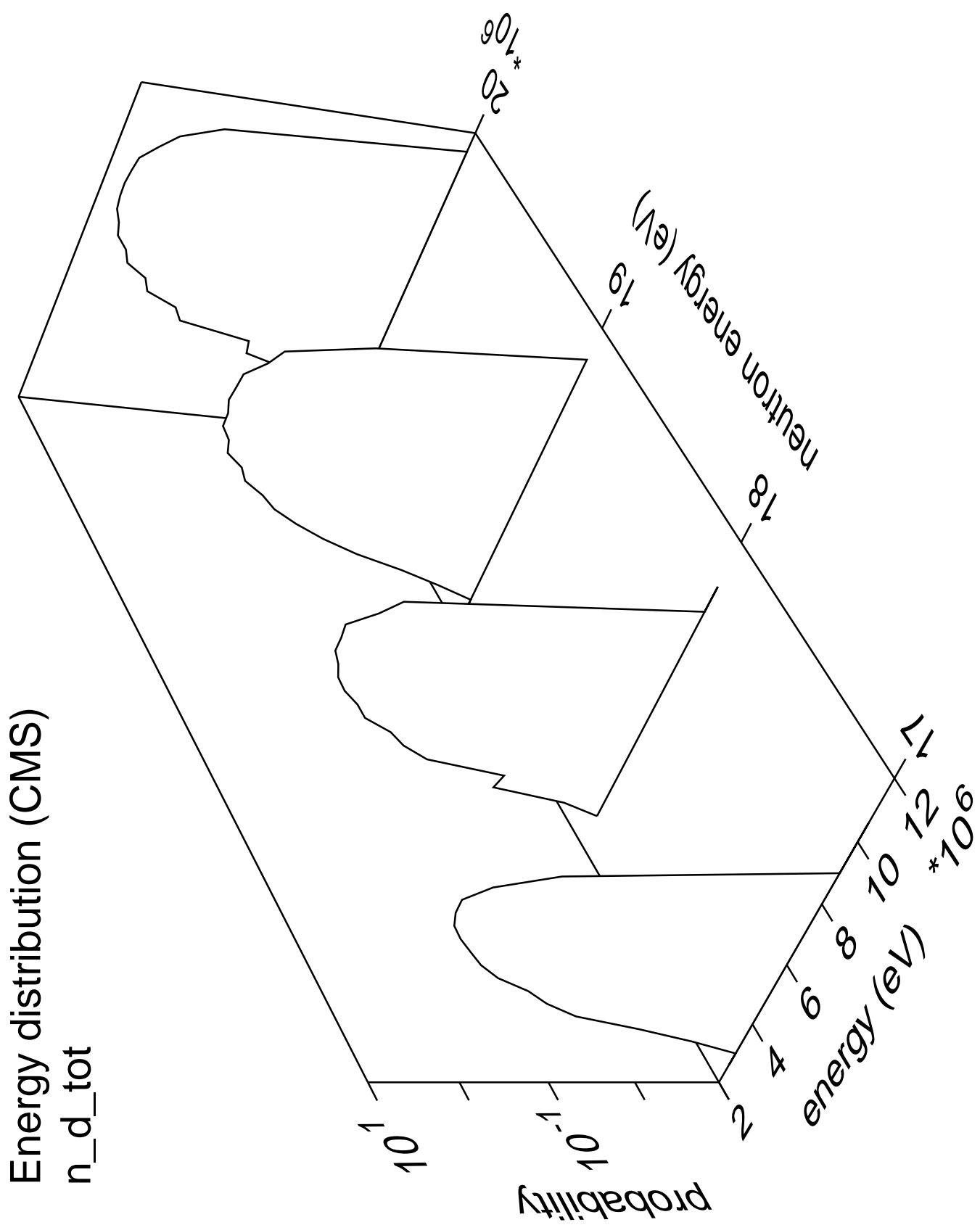


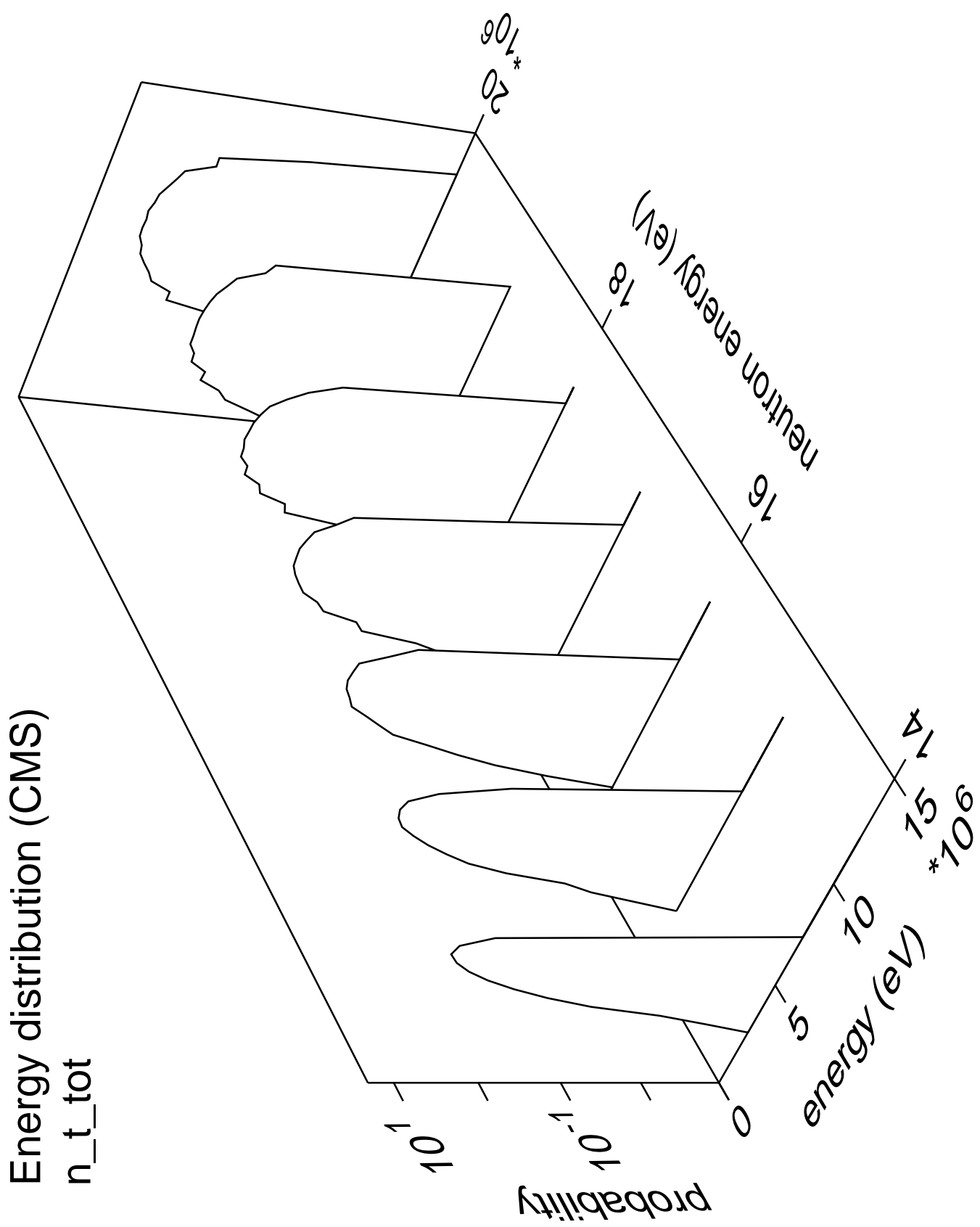
Energy distribution (CMS)
 n_{np} part.=proton

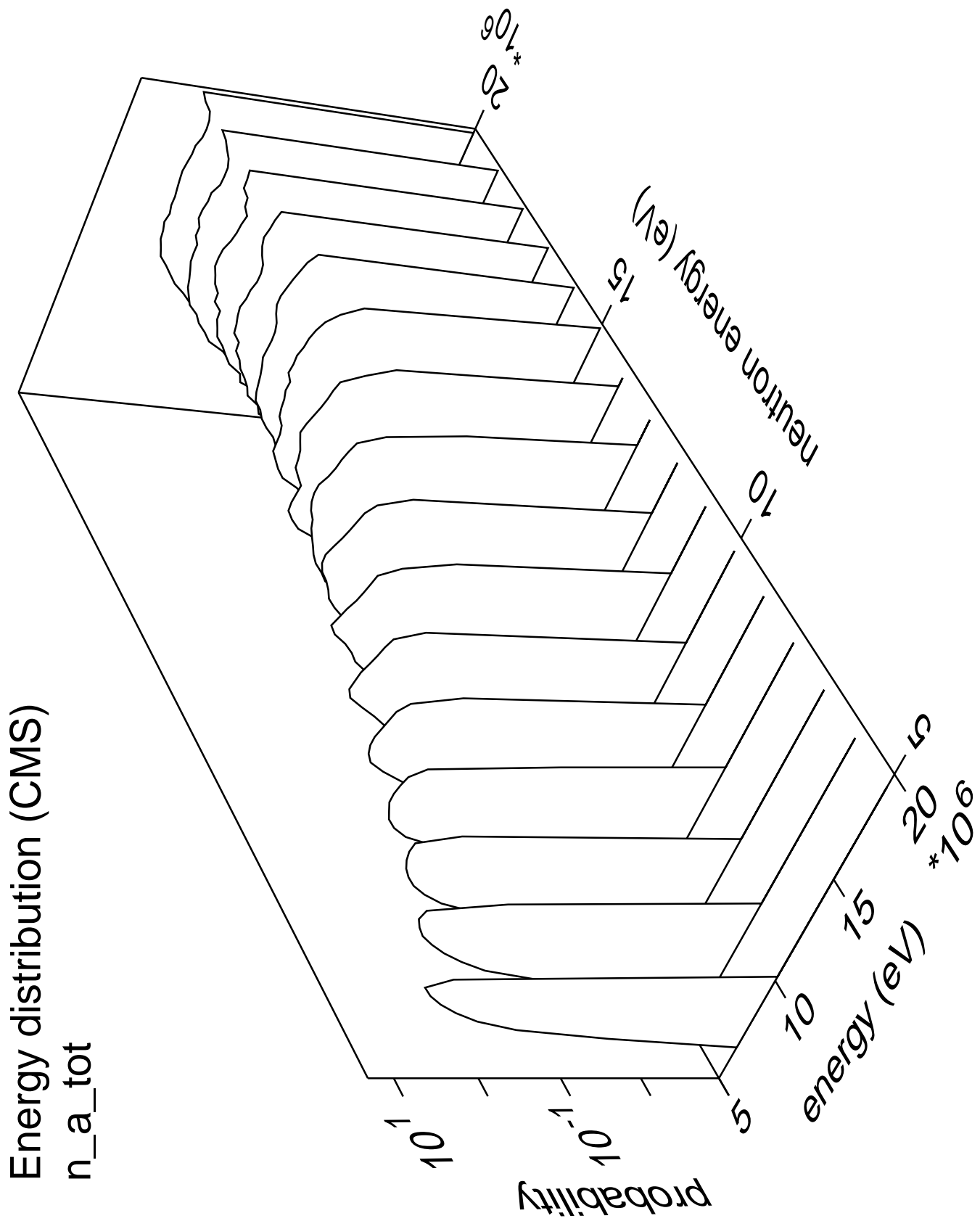




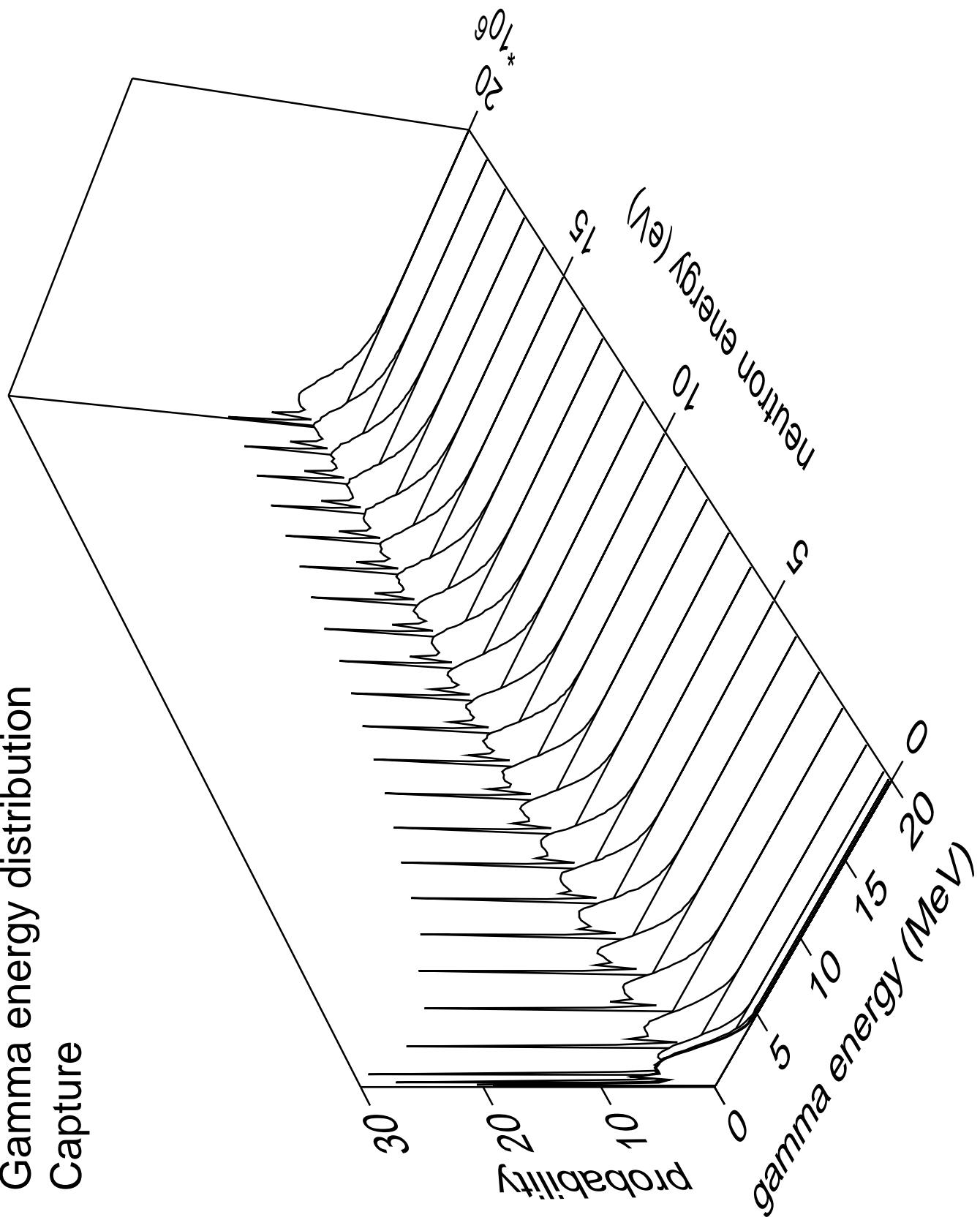




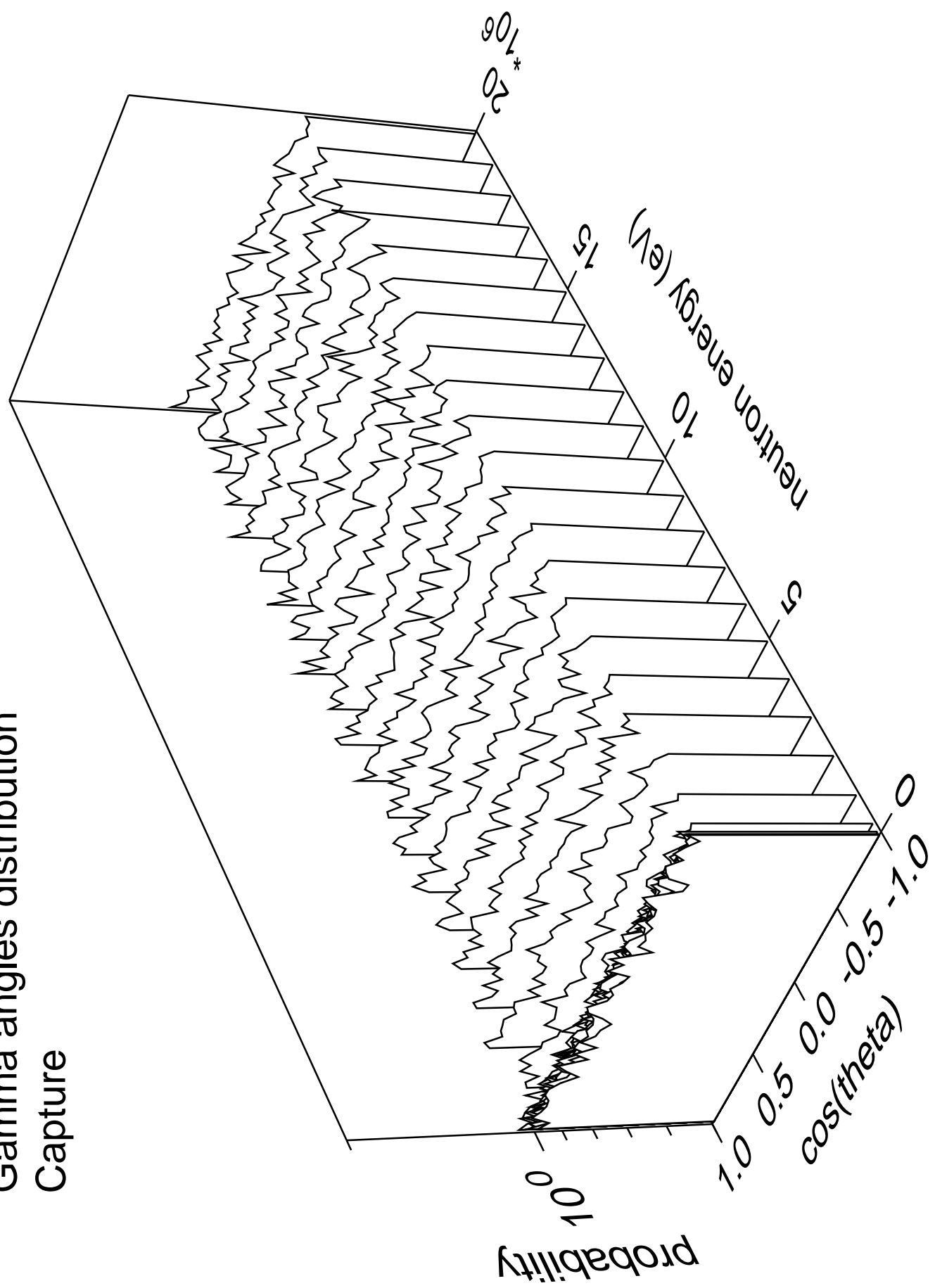




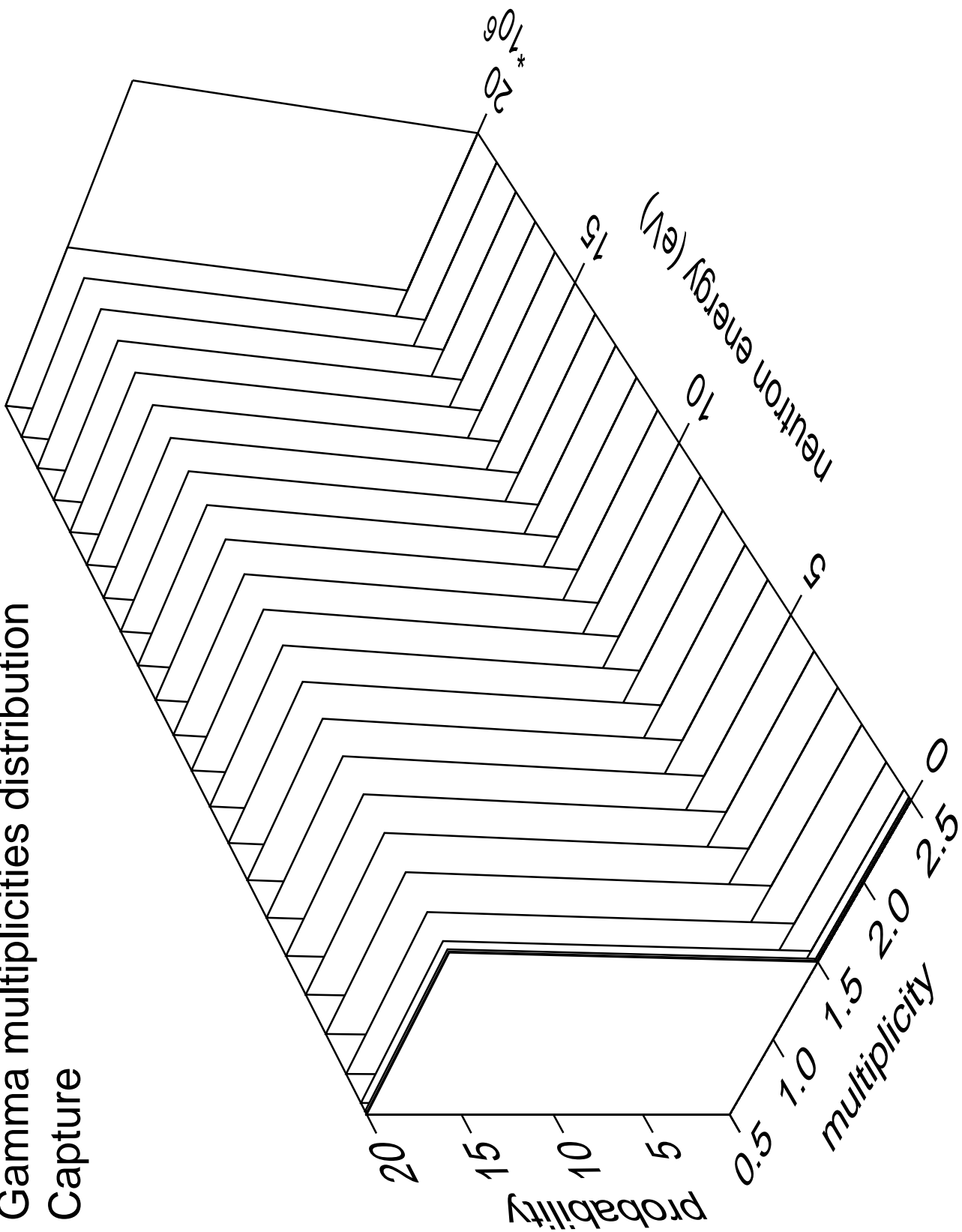
Gamma energy distribution Capture



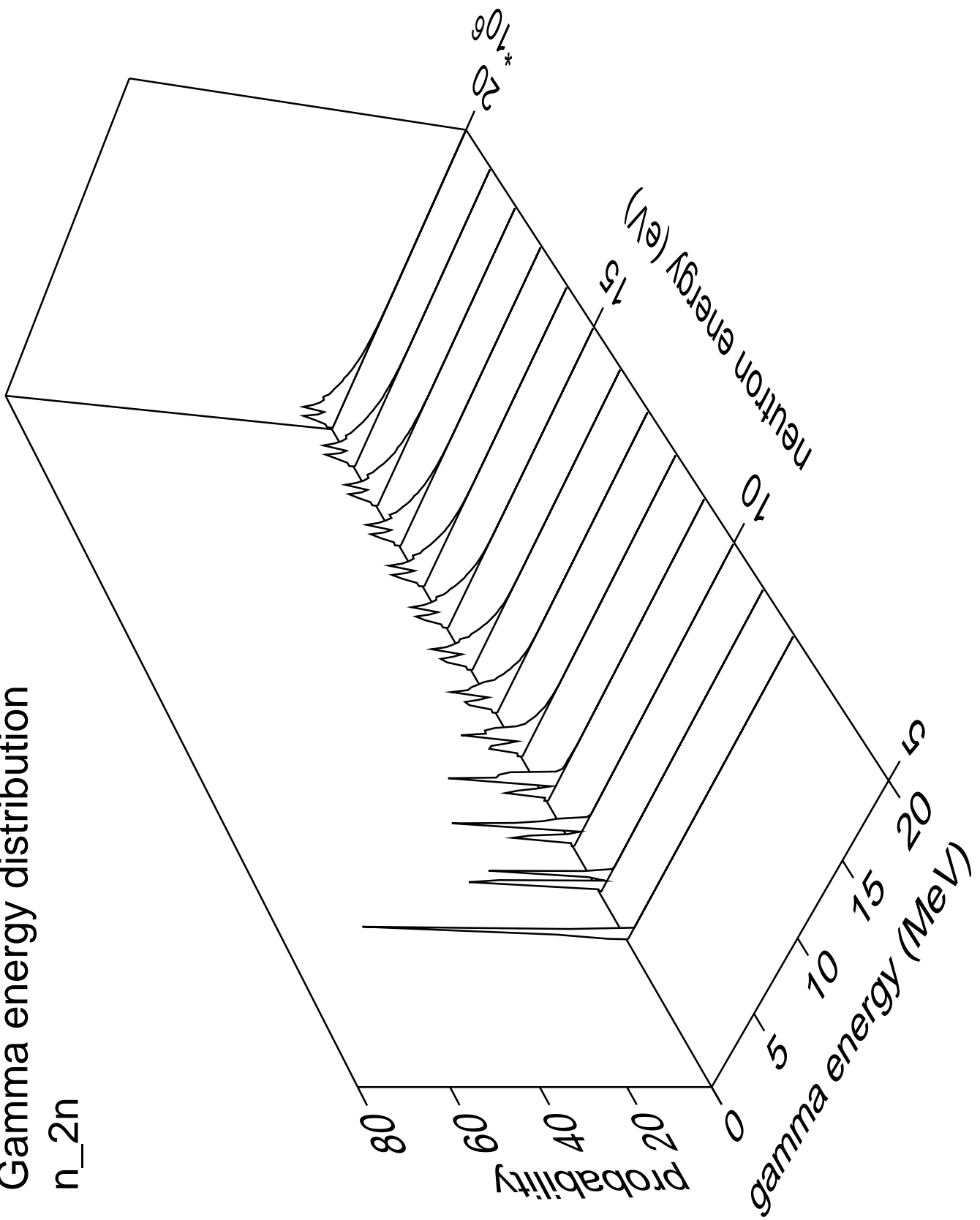
Gamma angles distribution Capture



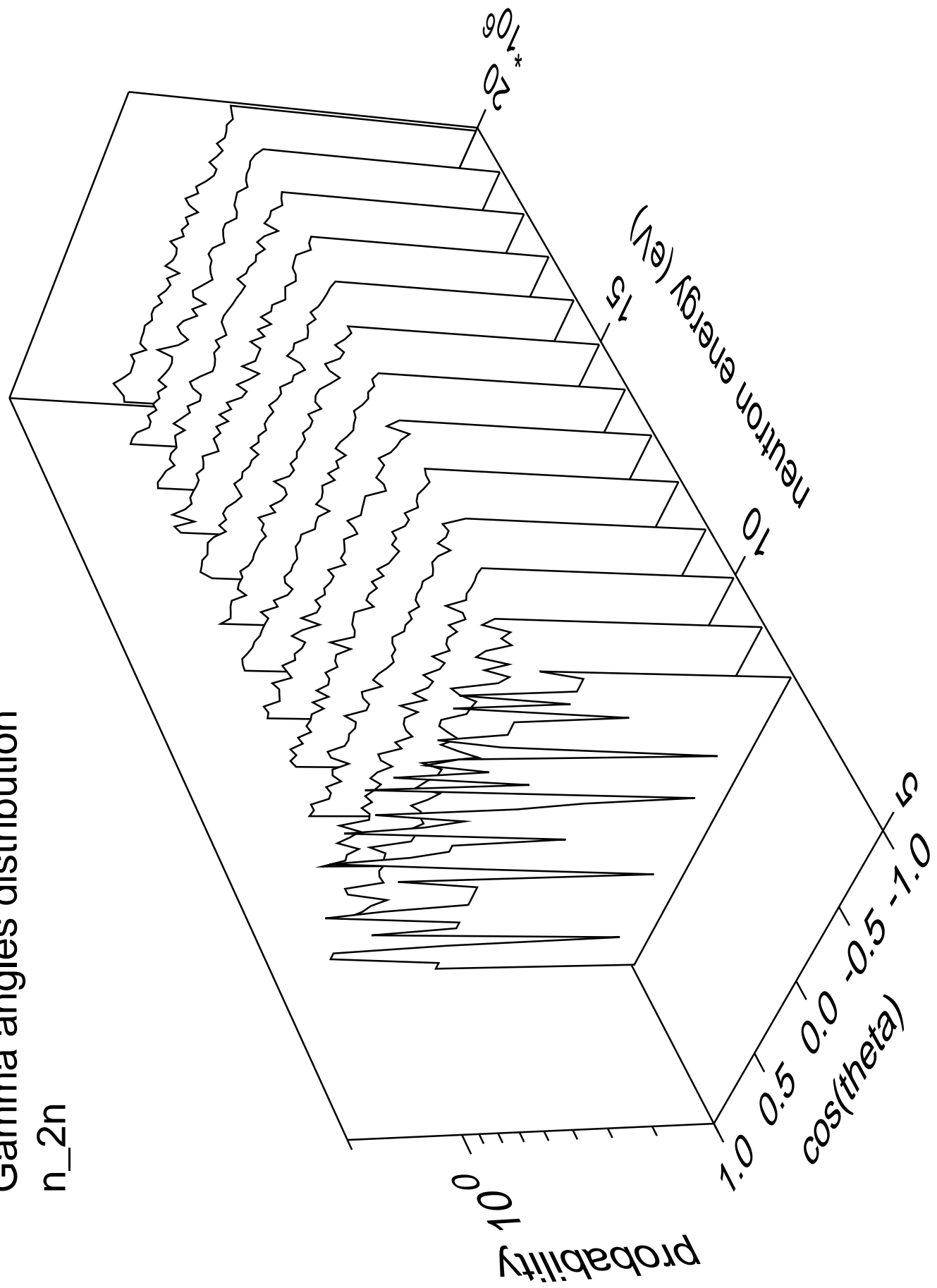
Gamma multiplicities distribution Capture

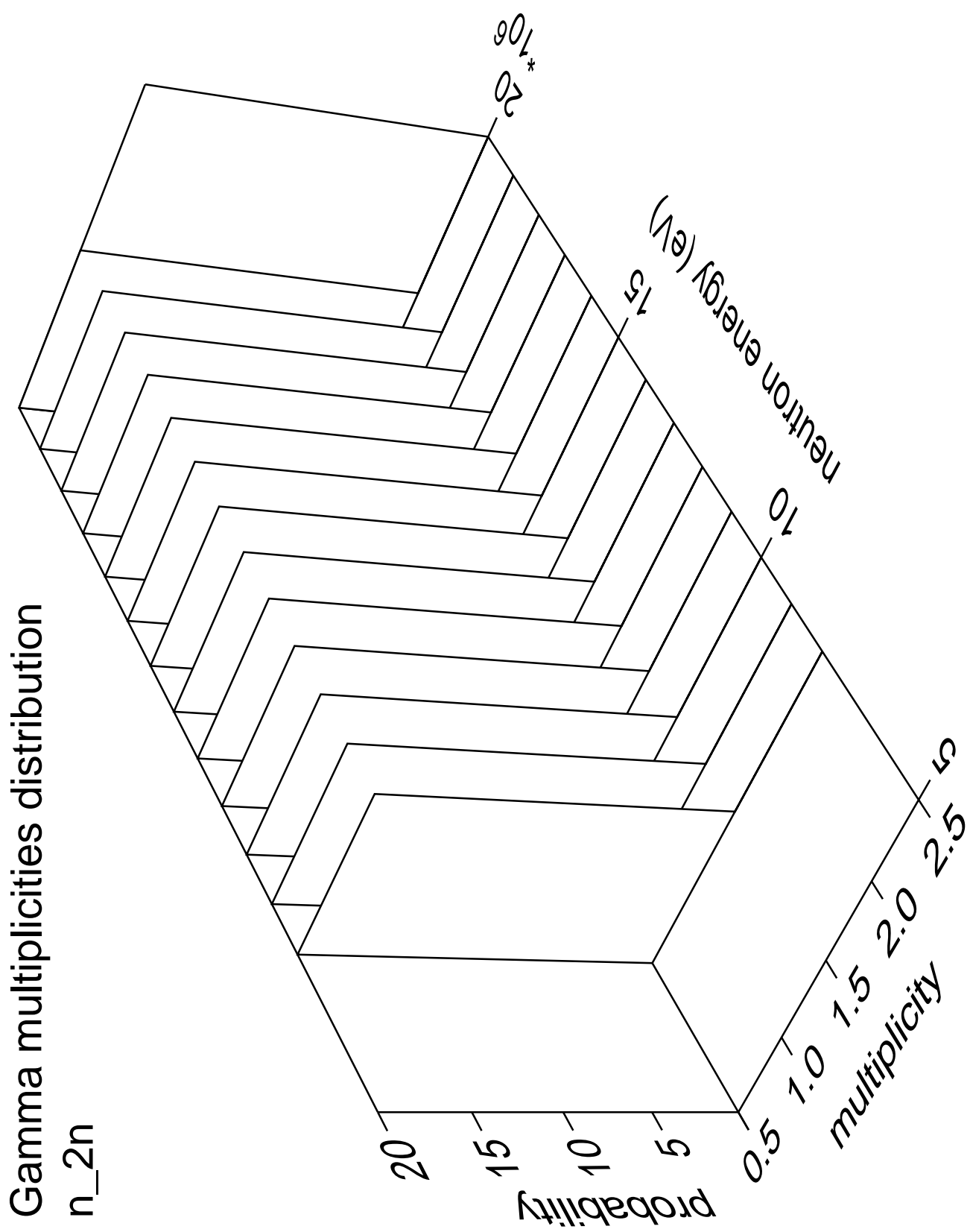


Gamma energy distribution n_2n

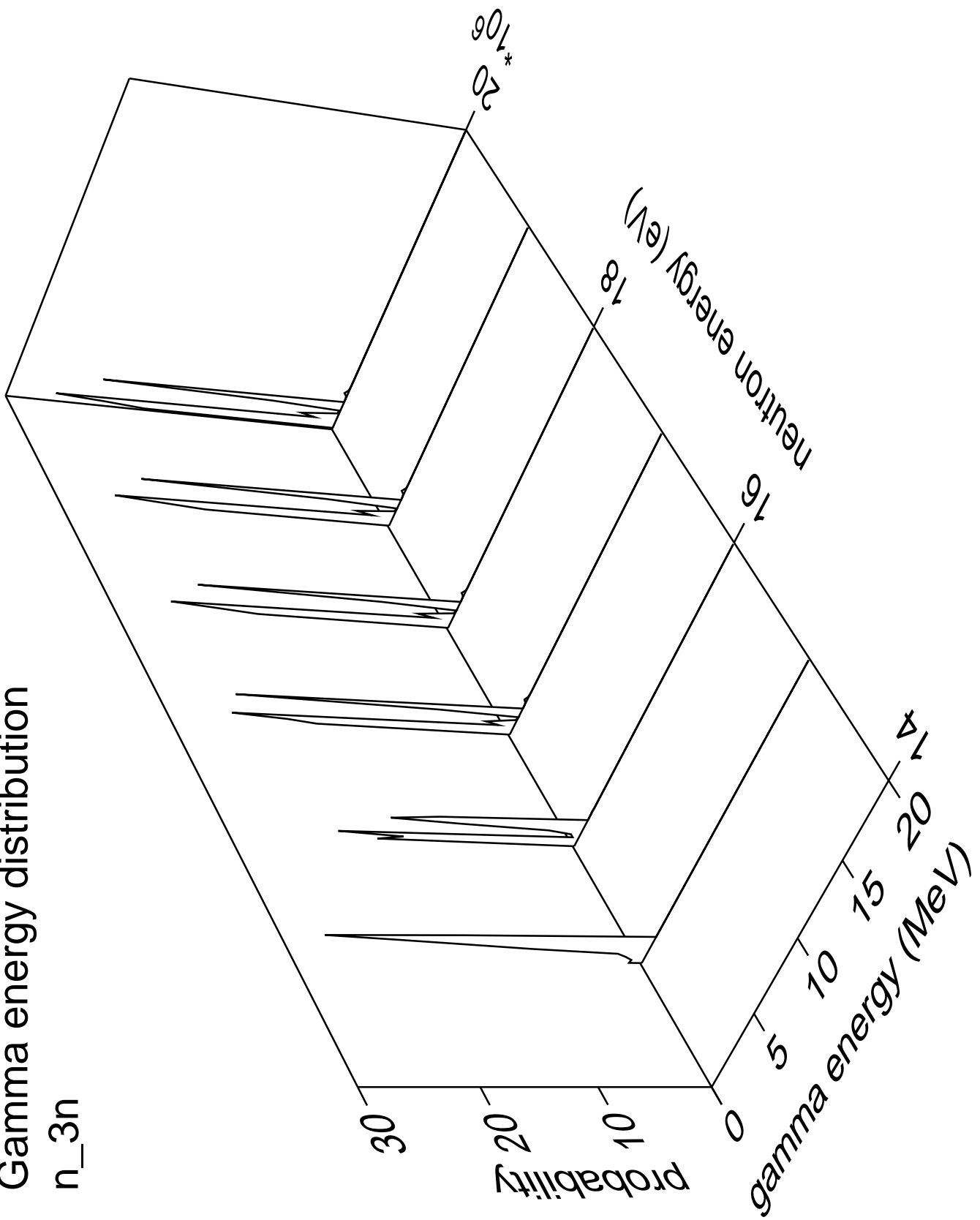


Gamma angles distribution n_{2n}

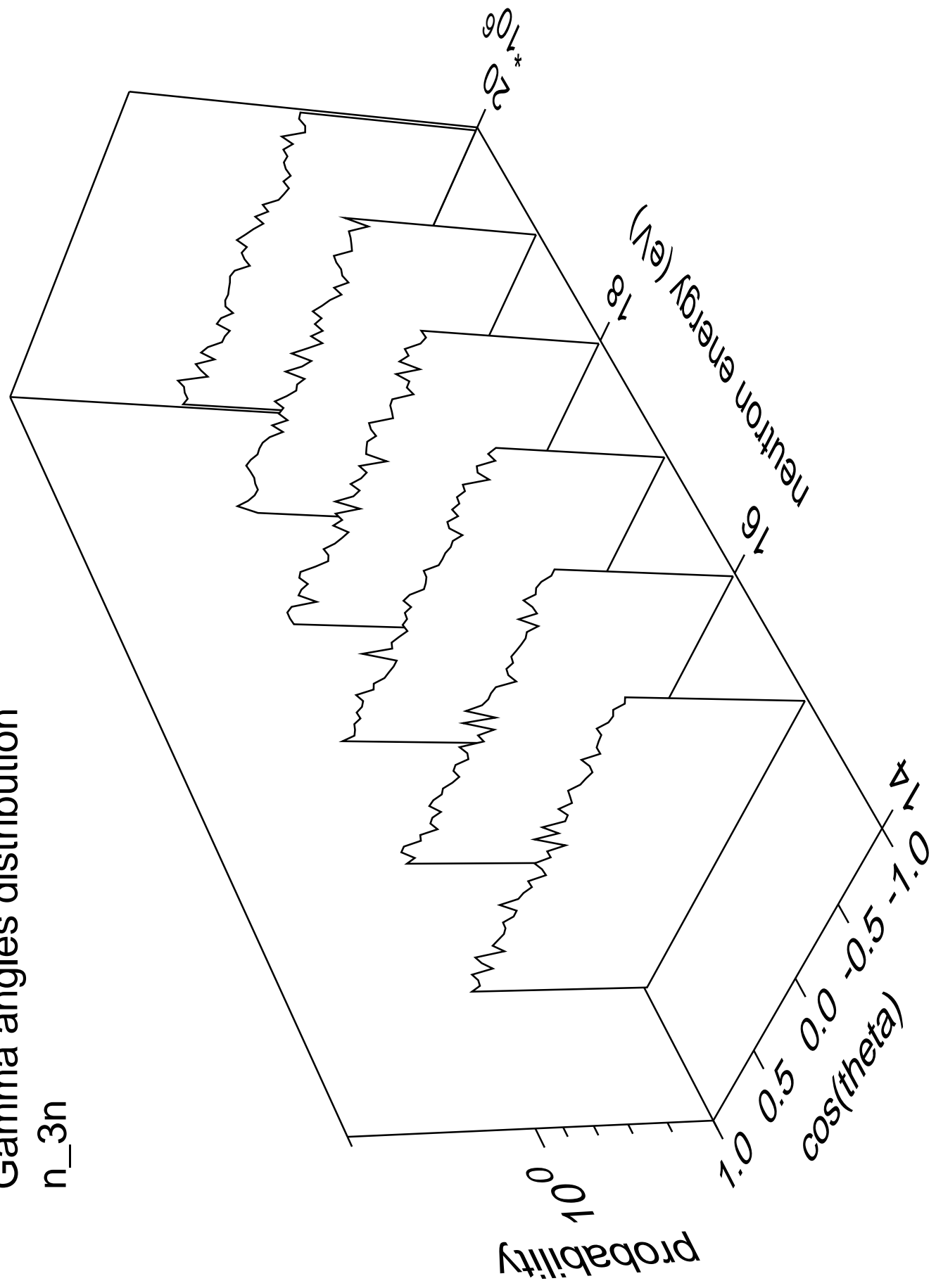




Gamma energy distribution n_{3n}



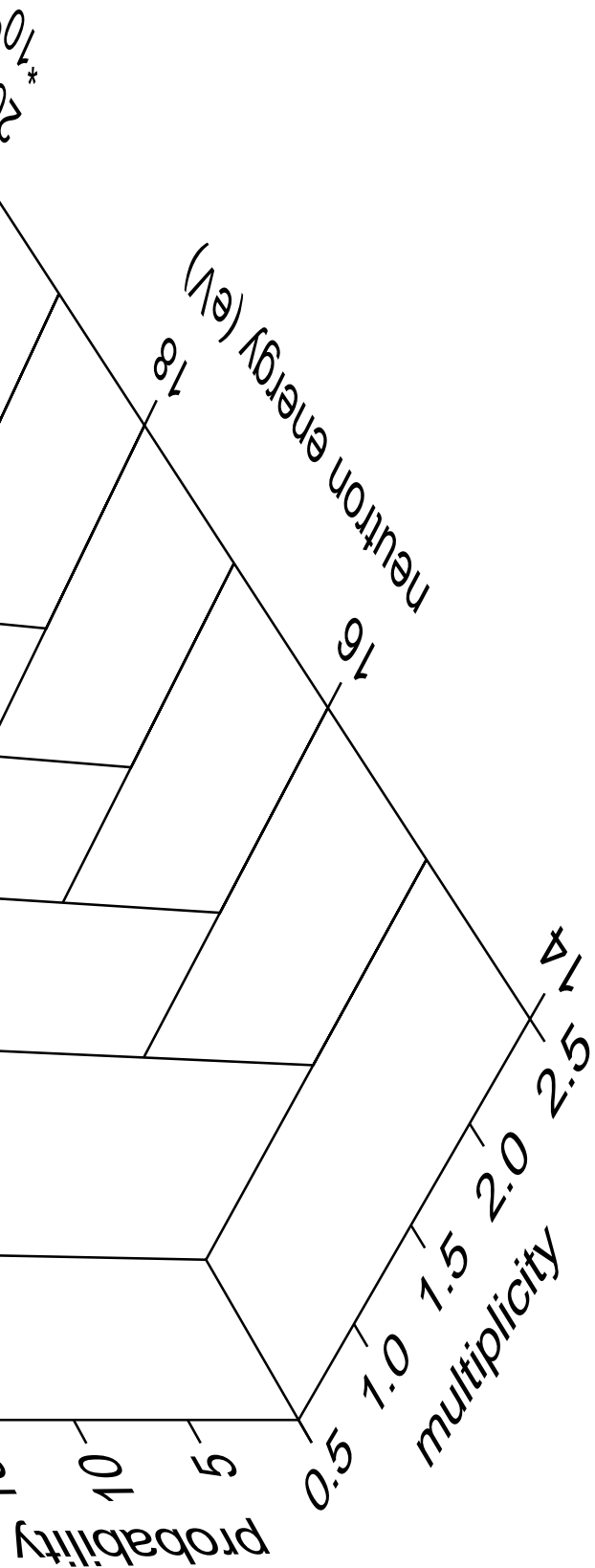
Gamma angles distribution n_{3n}



Gamma multiplicities distribution

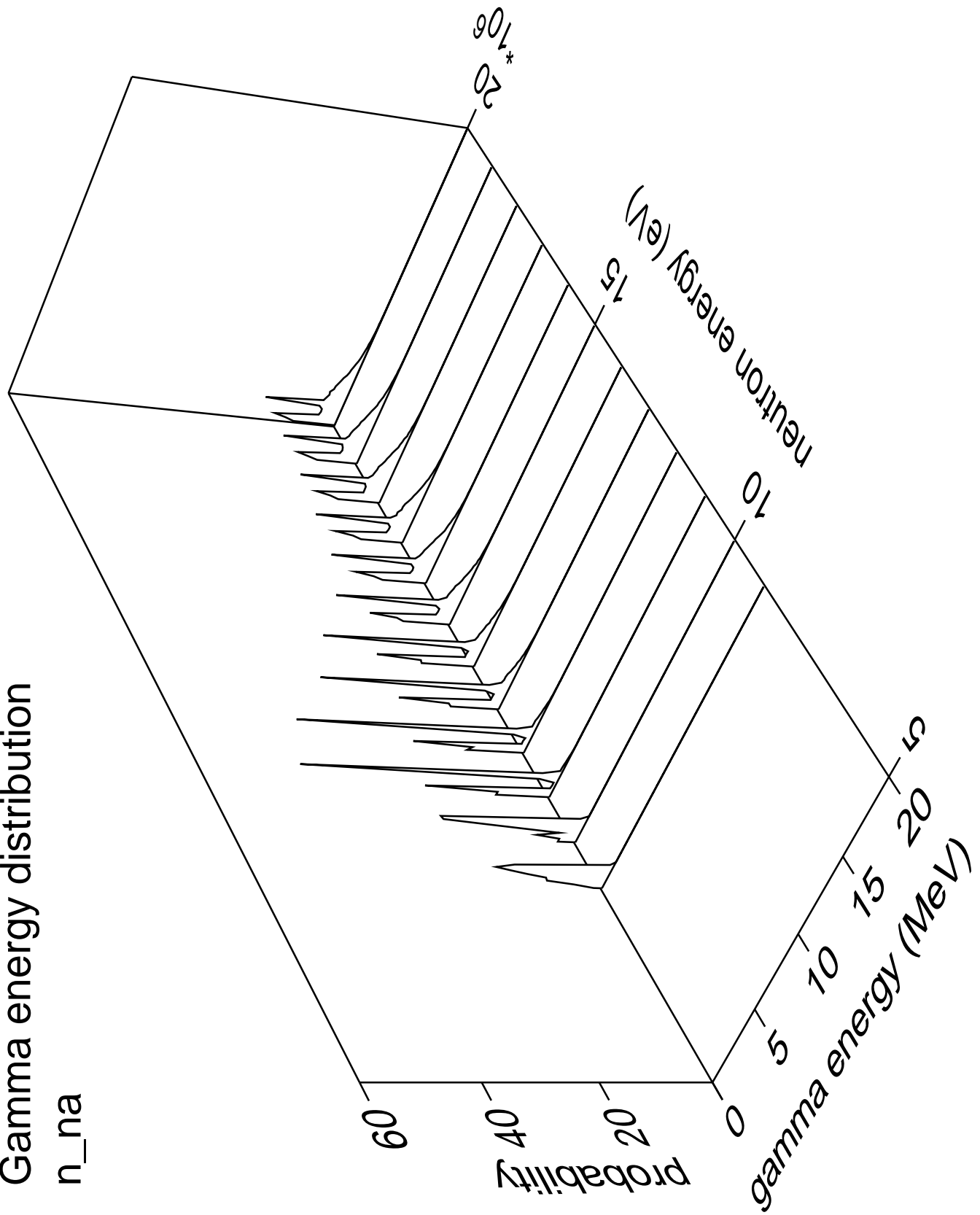
n_{3n}

Probability



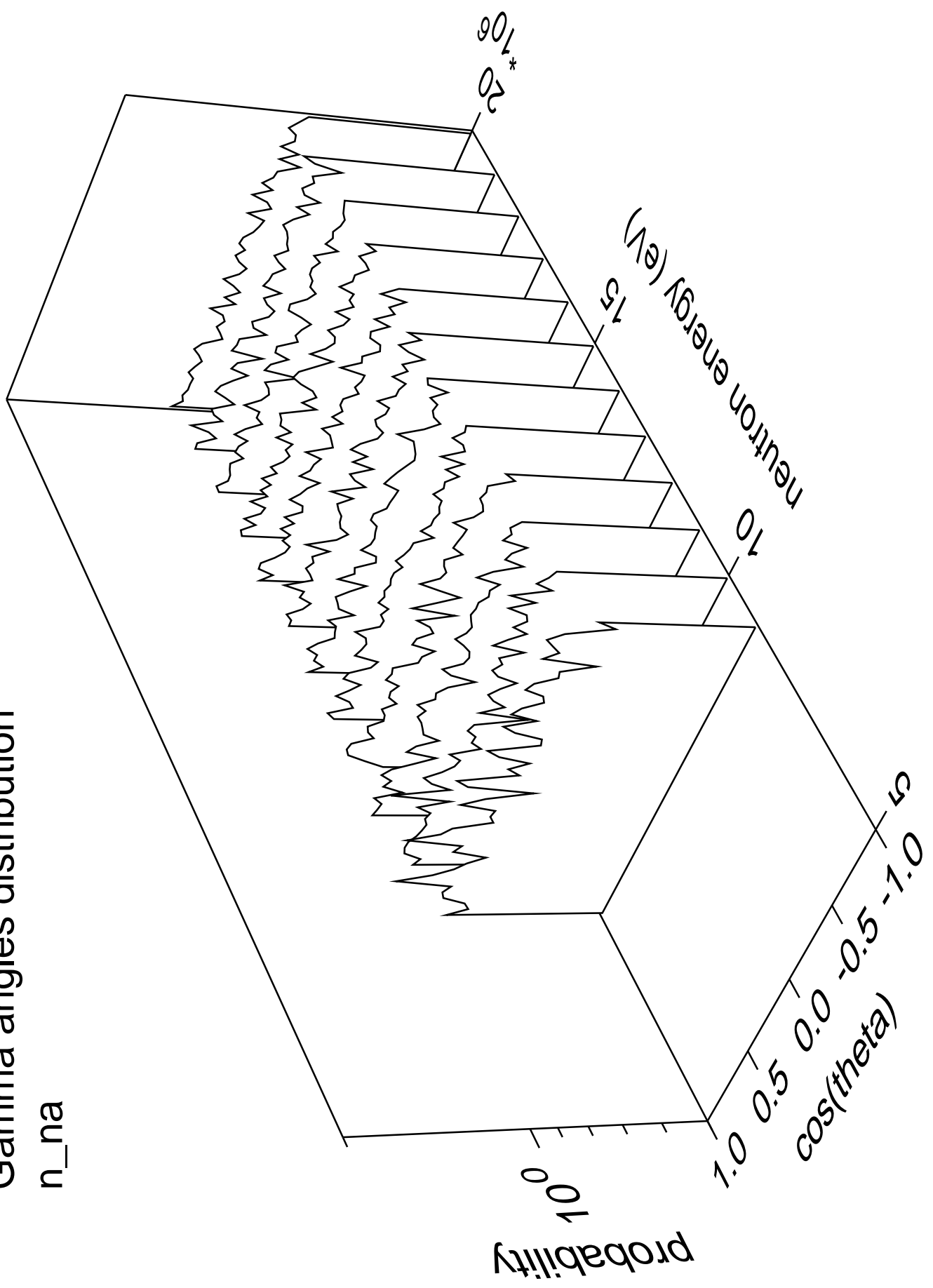
Gamma energy distribution

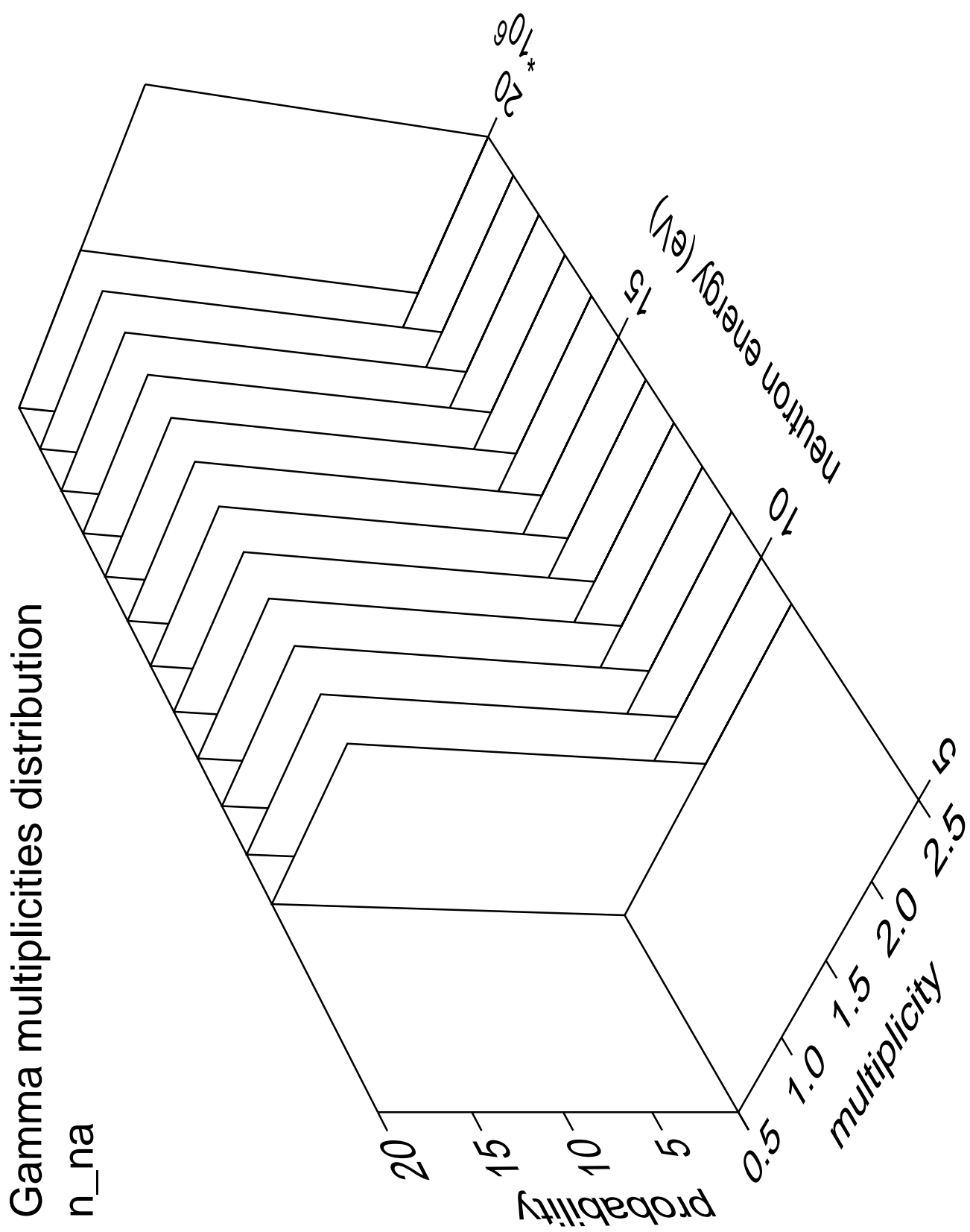
n_na



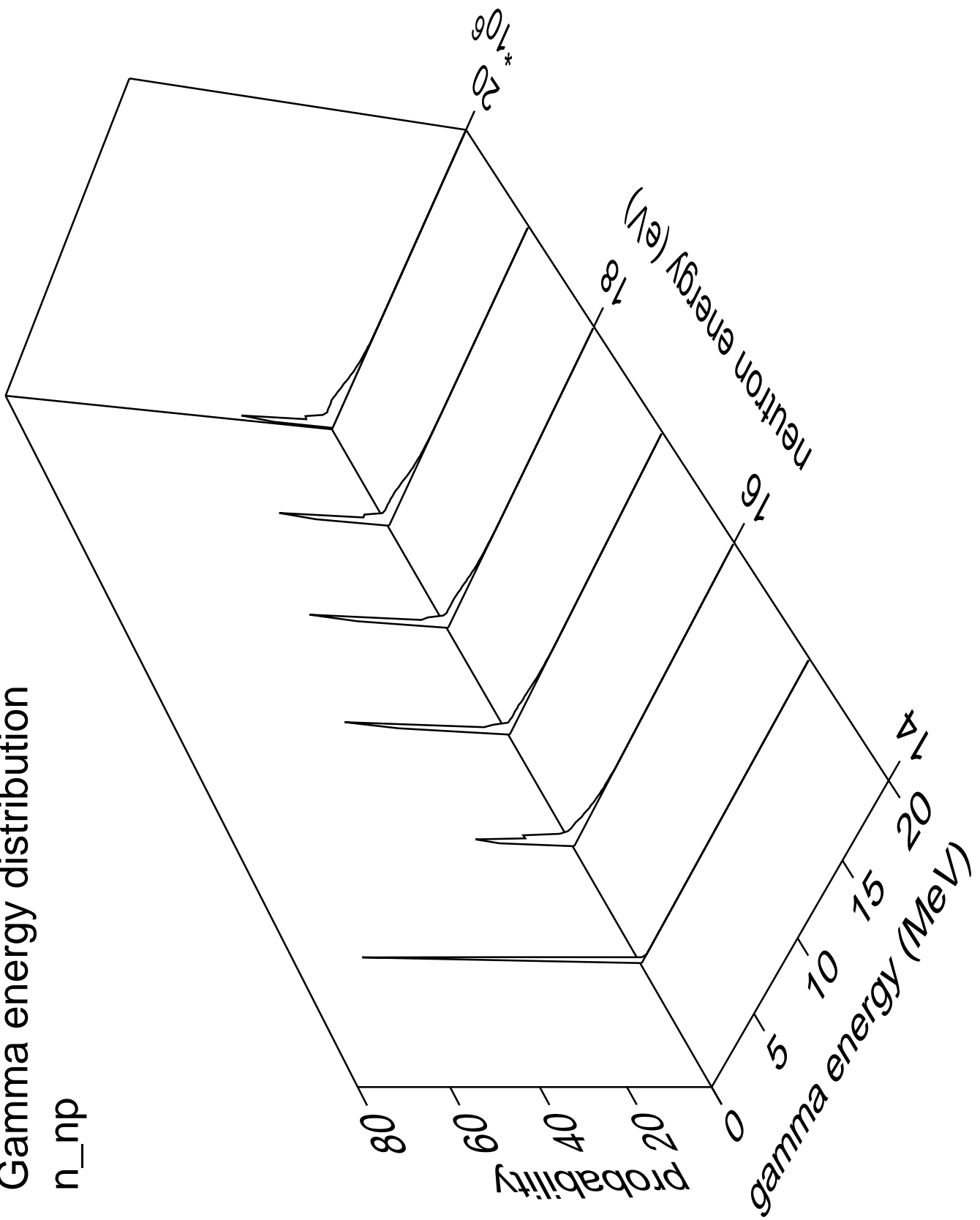
Gamma angles distribution

n_{na}

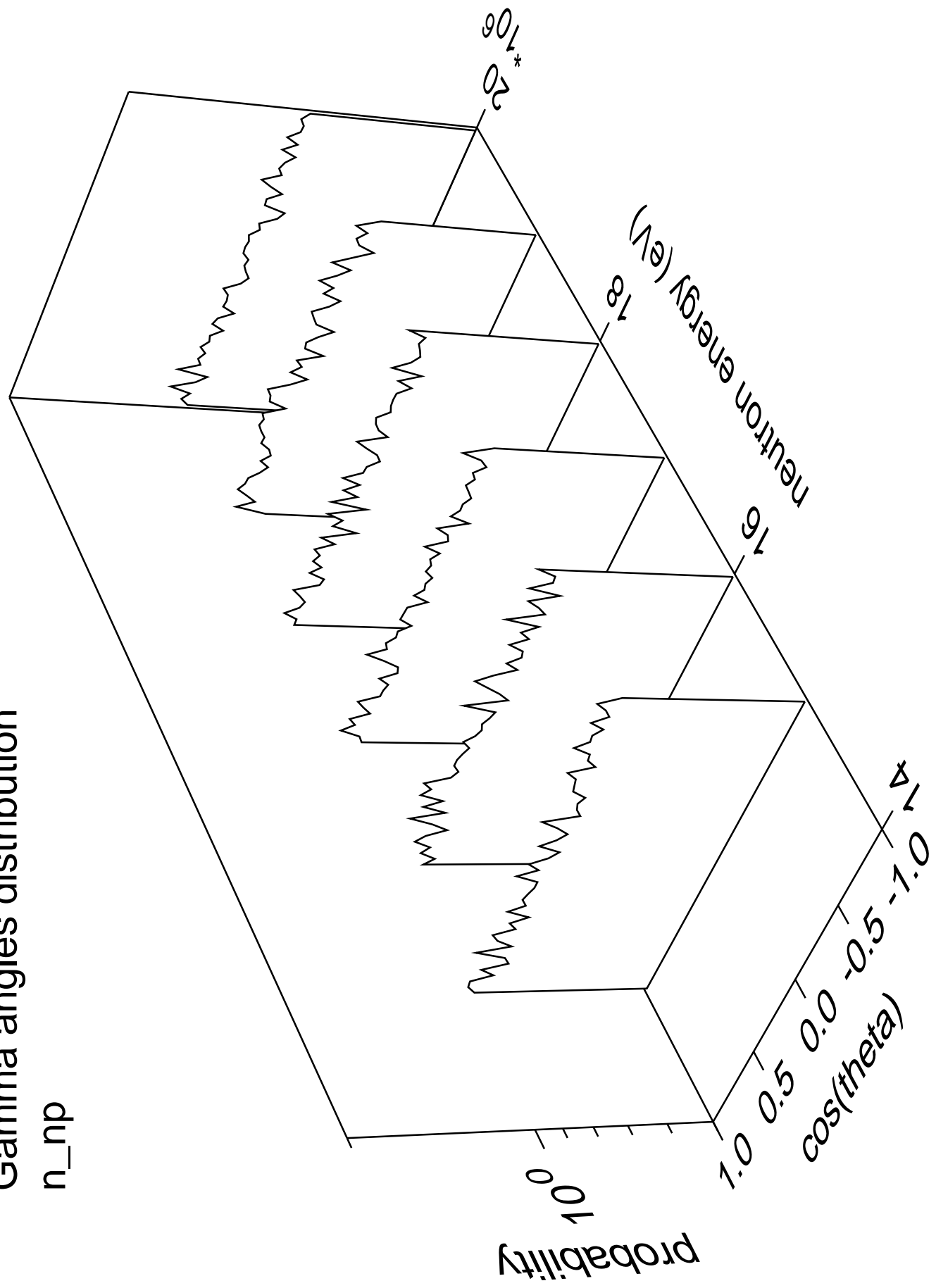




Gamma energy distribution
 n_{np}



Gamma angles distribution
 n_{np}



Gamma multiplicities distribution

n_{np}

Probability

n_{np}

multiplicity

4

2.0

1.5

1.0

0.5

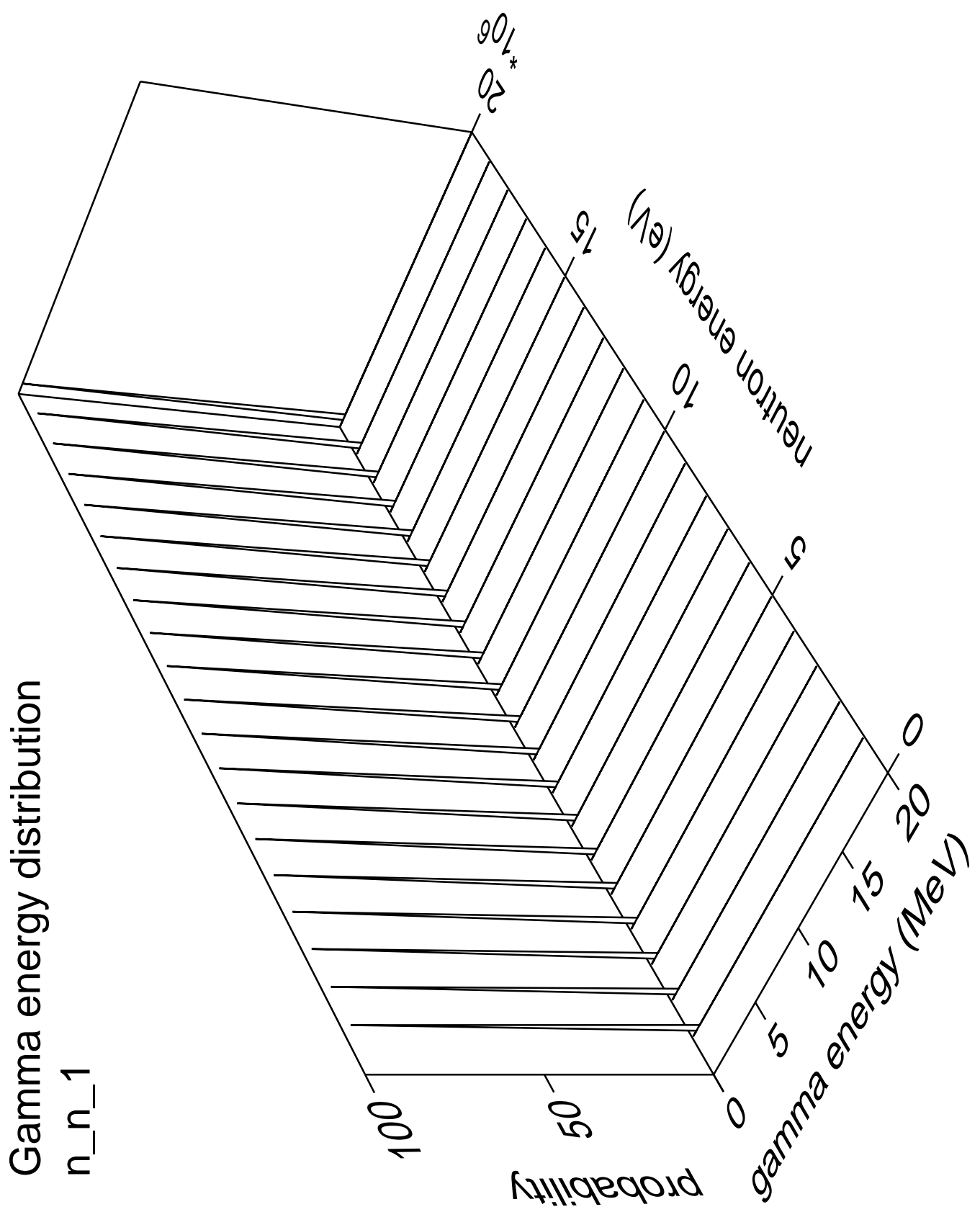
Neutron energy (eV)

16

18

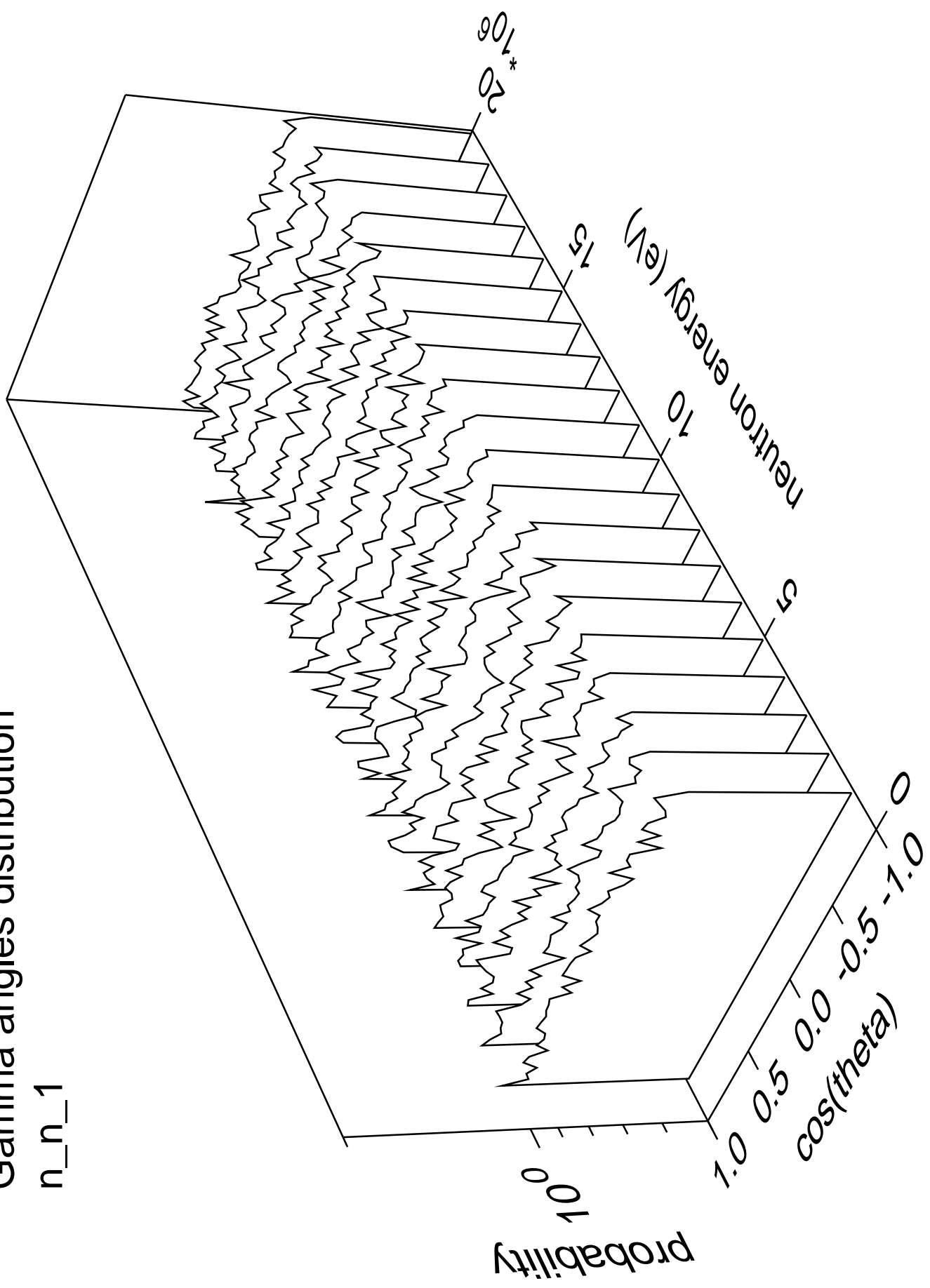
20

100

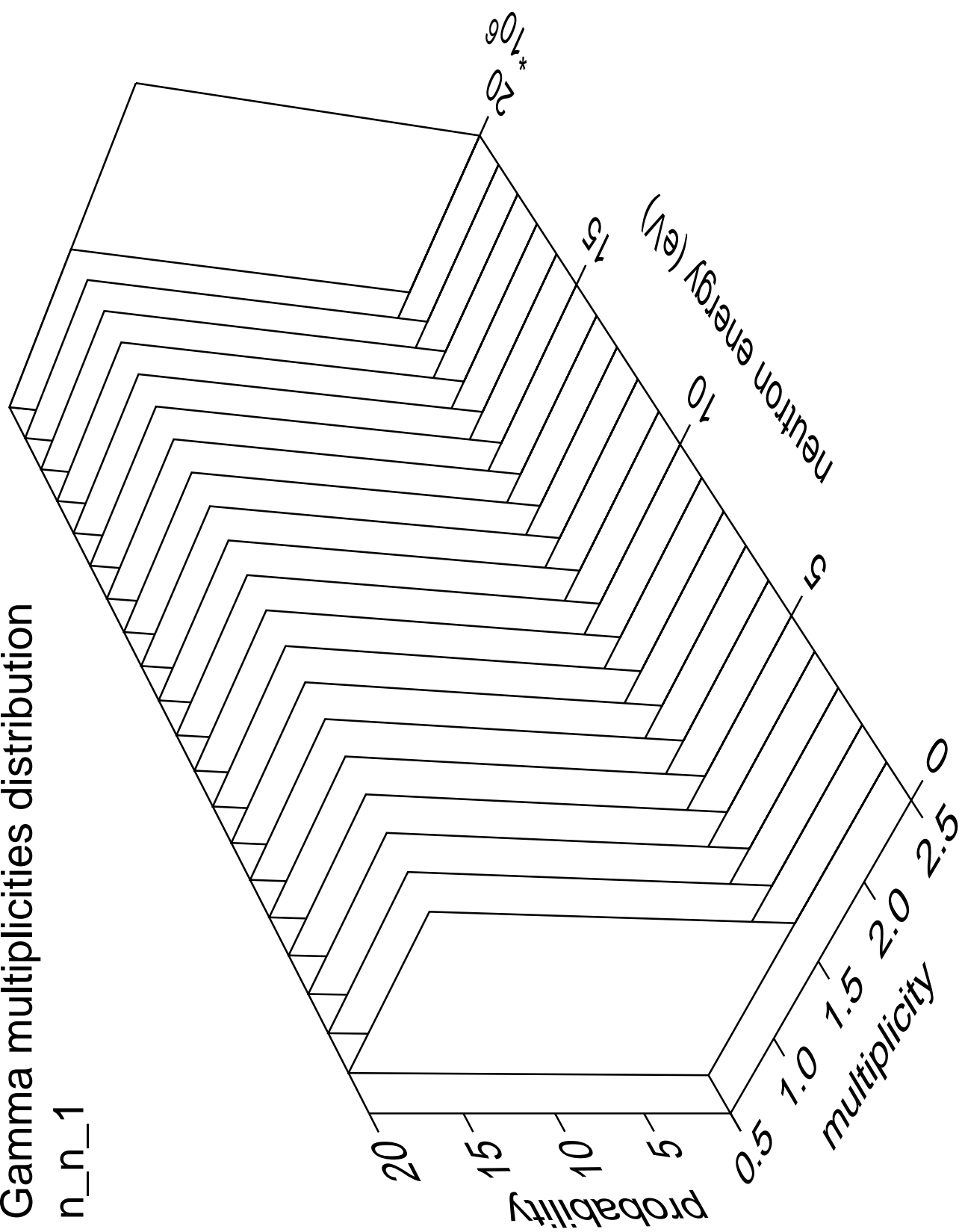


Gamma angles distribution

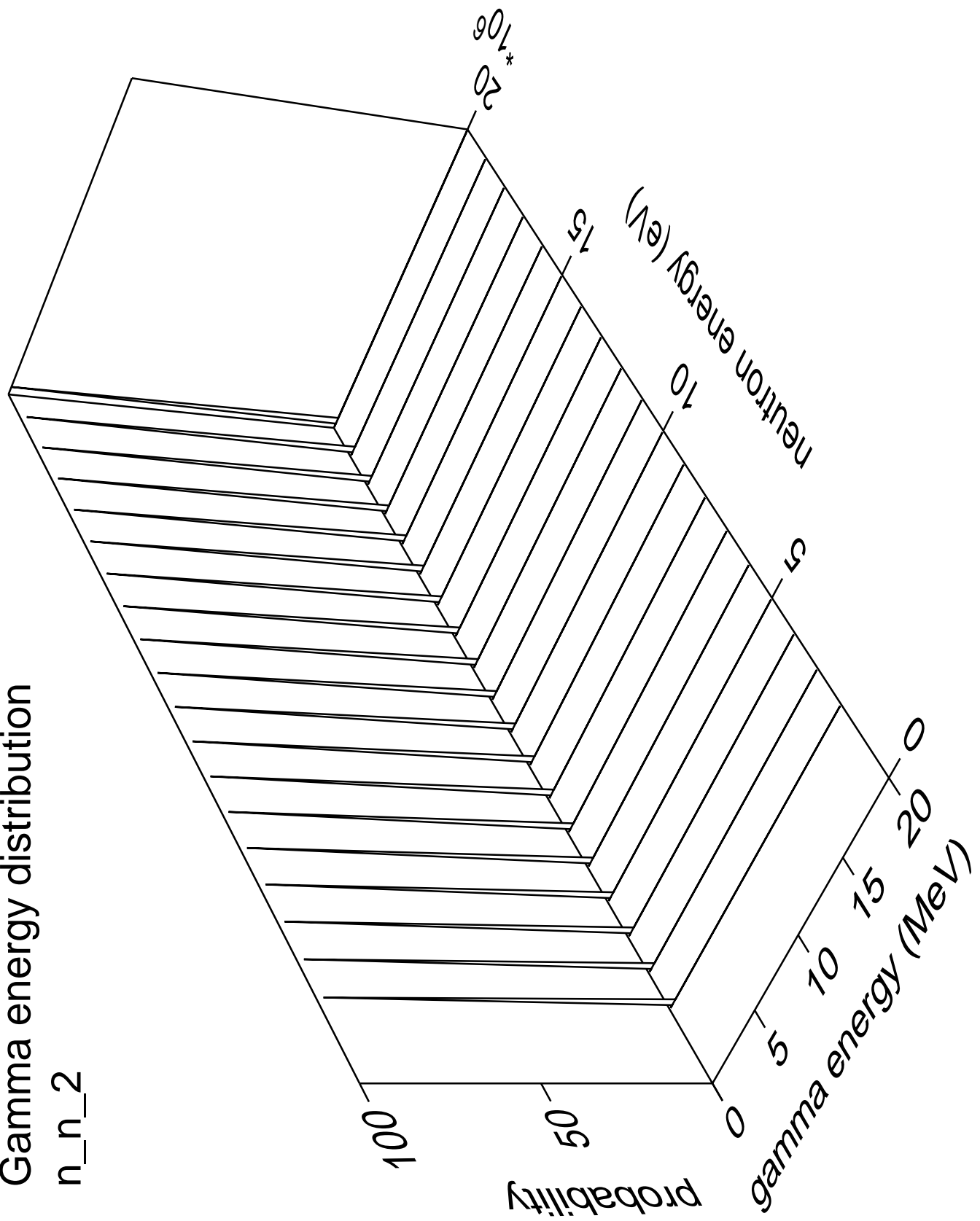
n_{n_1}



Gamma multiplicities distribution

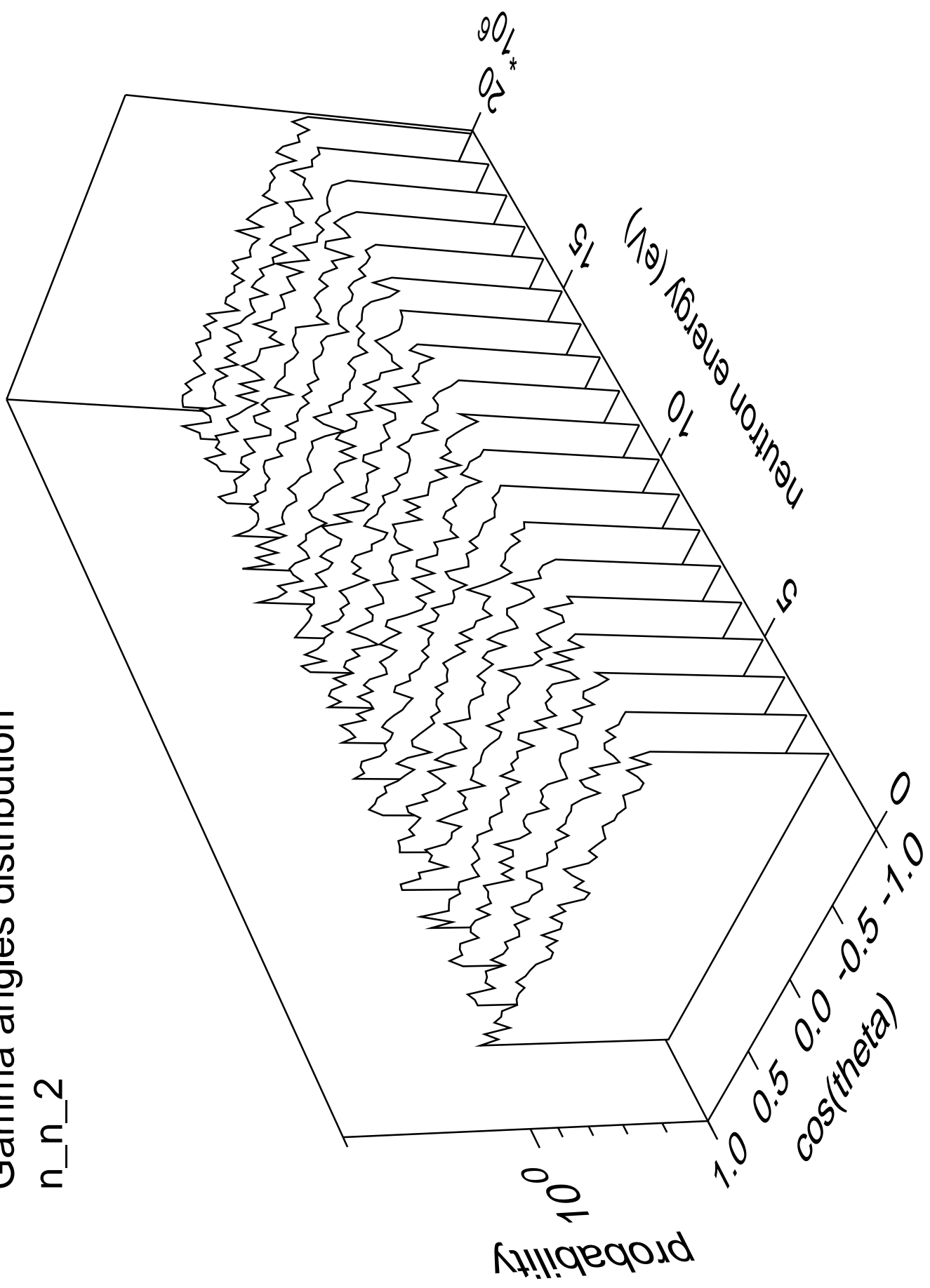


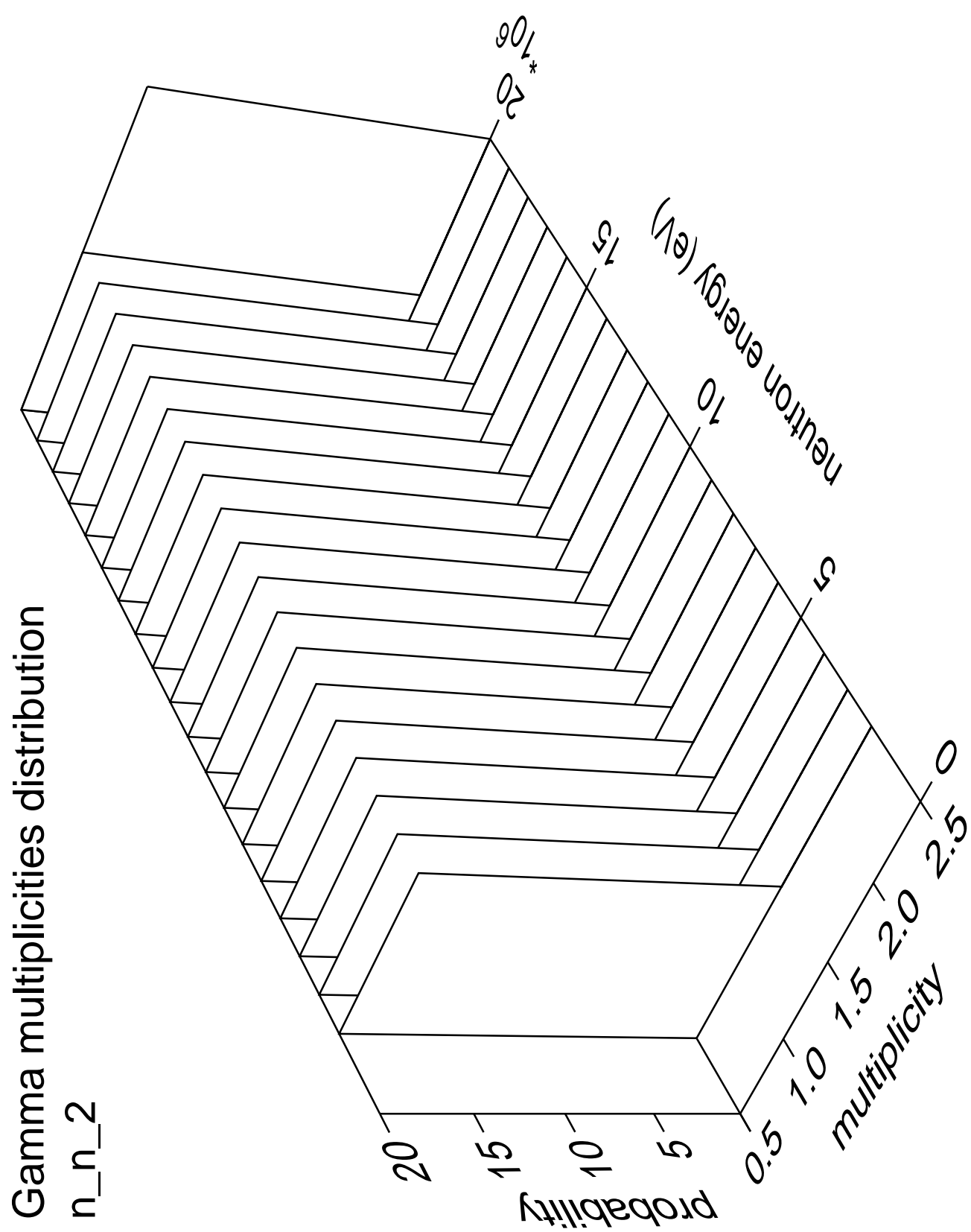
Gamma energy distribution



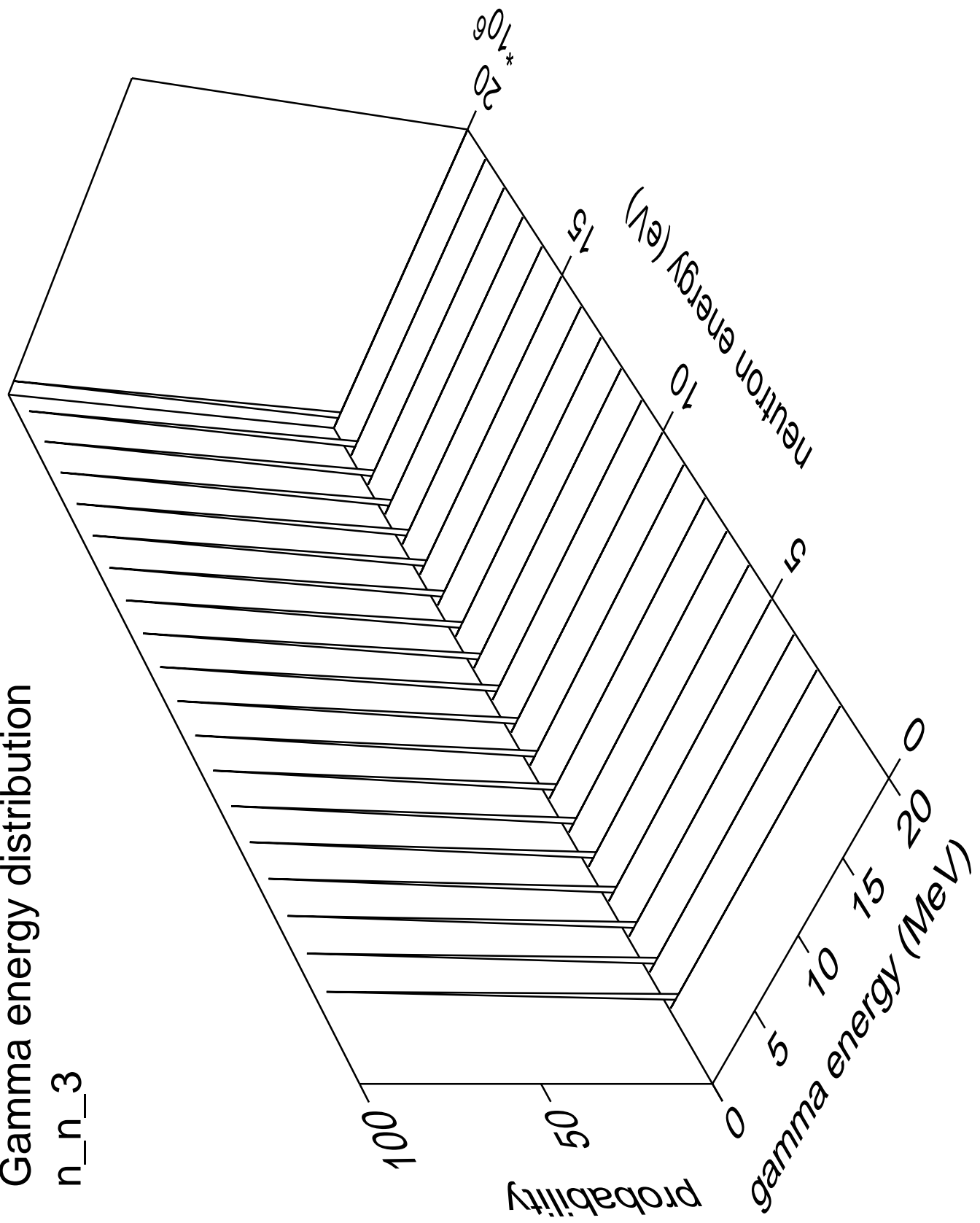
Gamma angles distribution

n_n_2



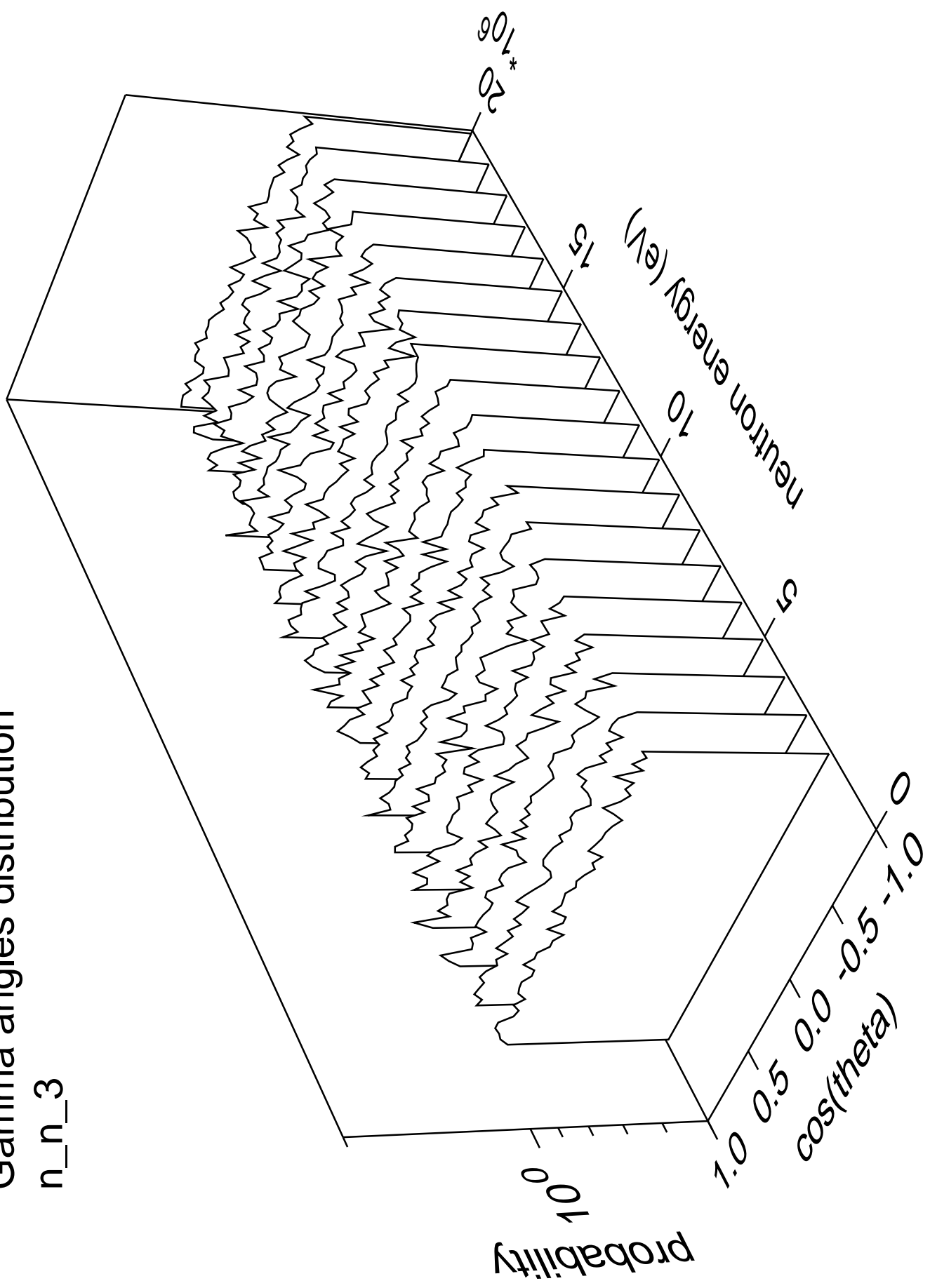


Gamma energy distribution

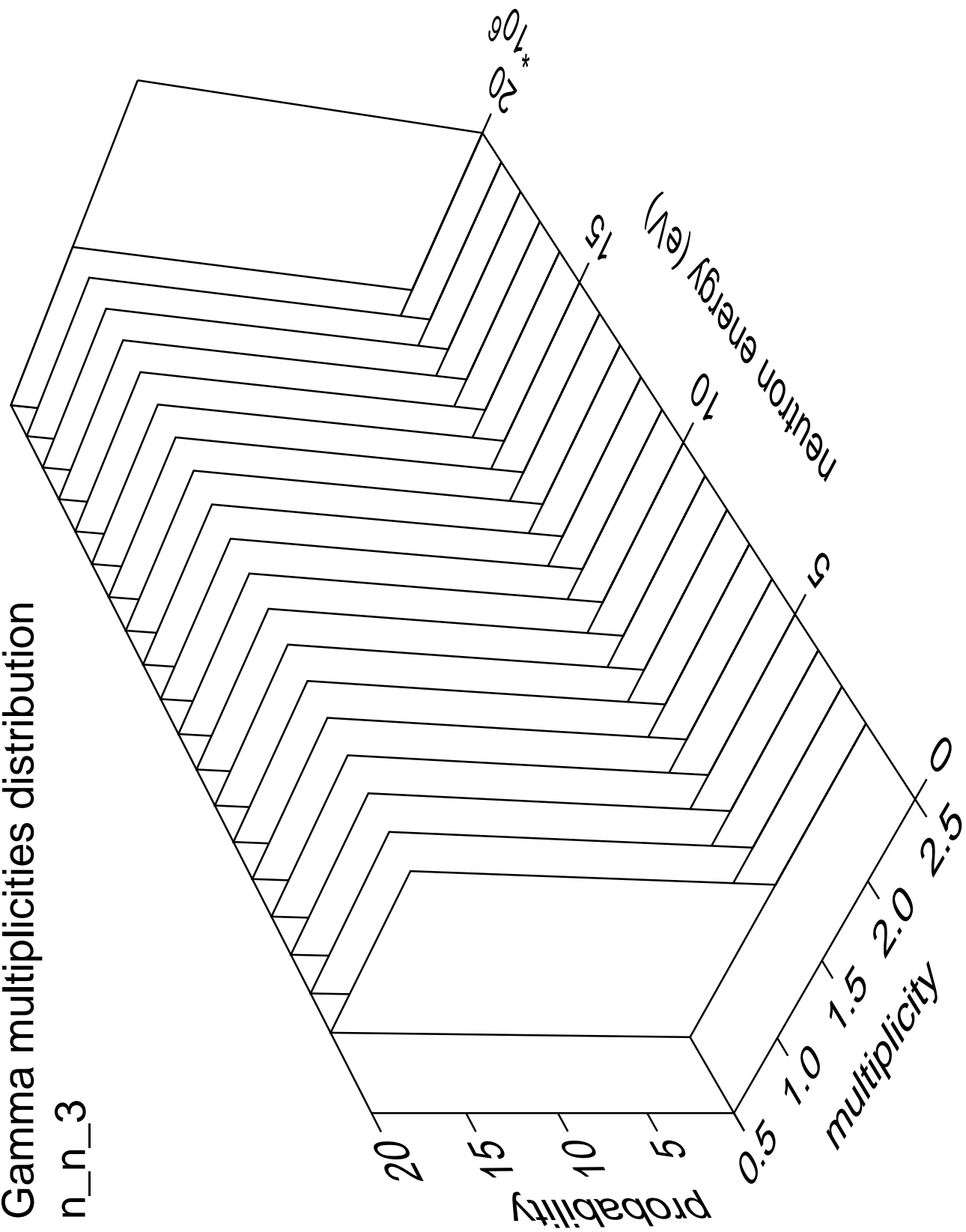


Gamma angles distribution

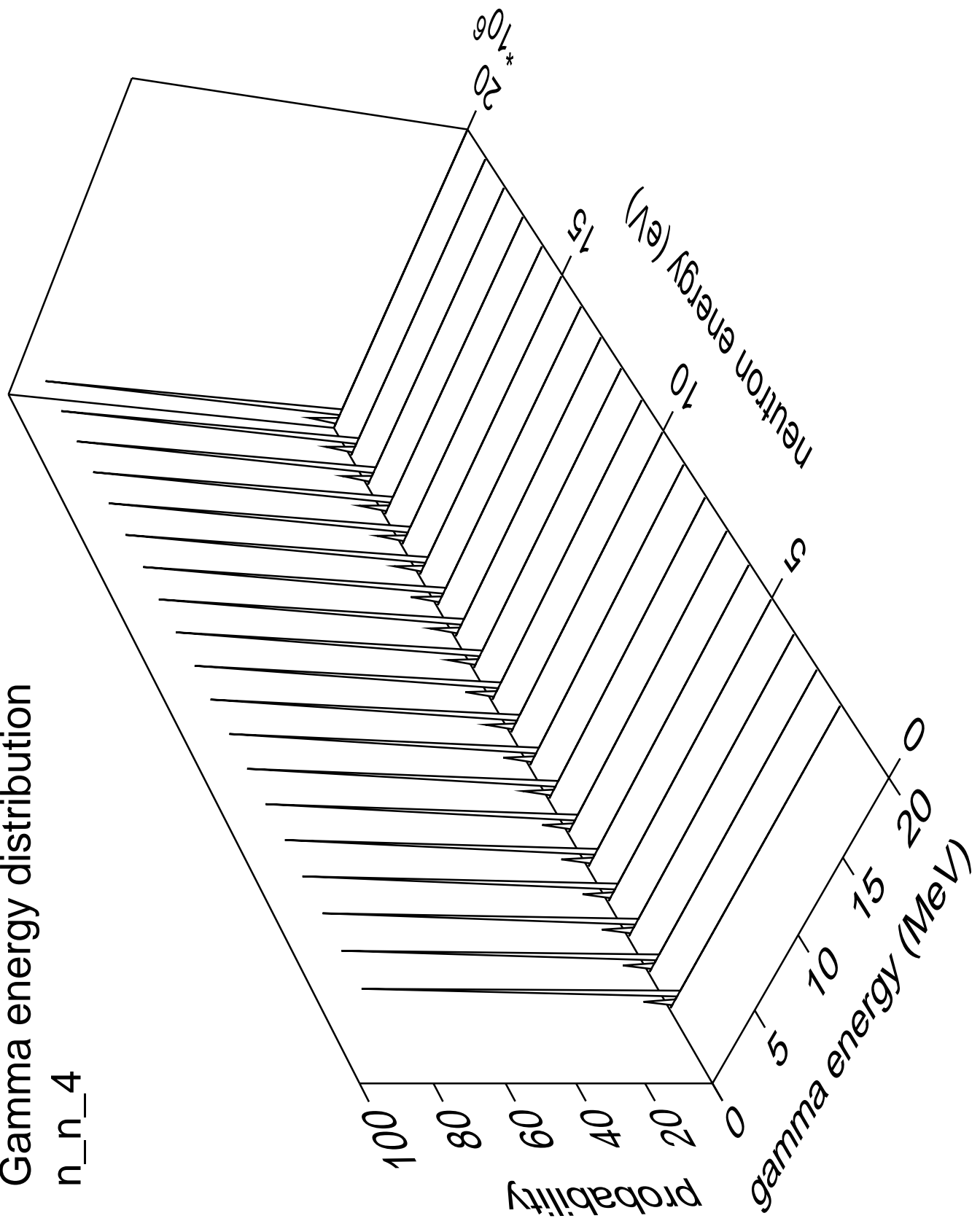
n_n_3



Gamma multiplicities distribution

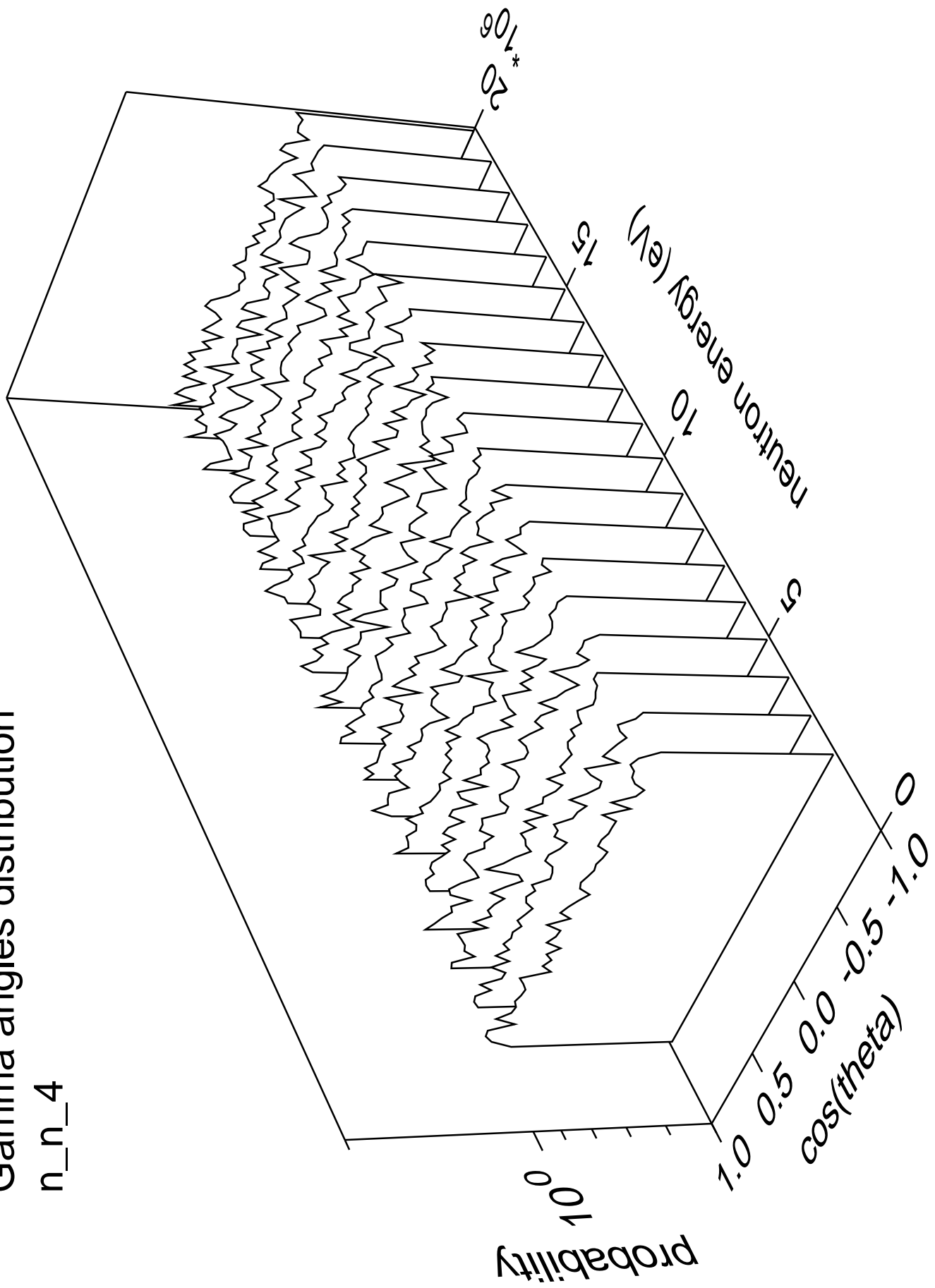


Gamma energy distribution n_n_4

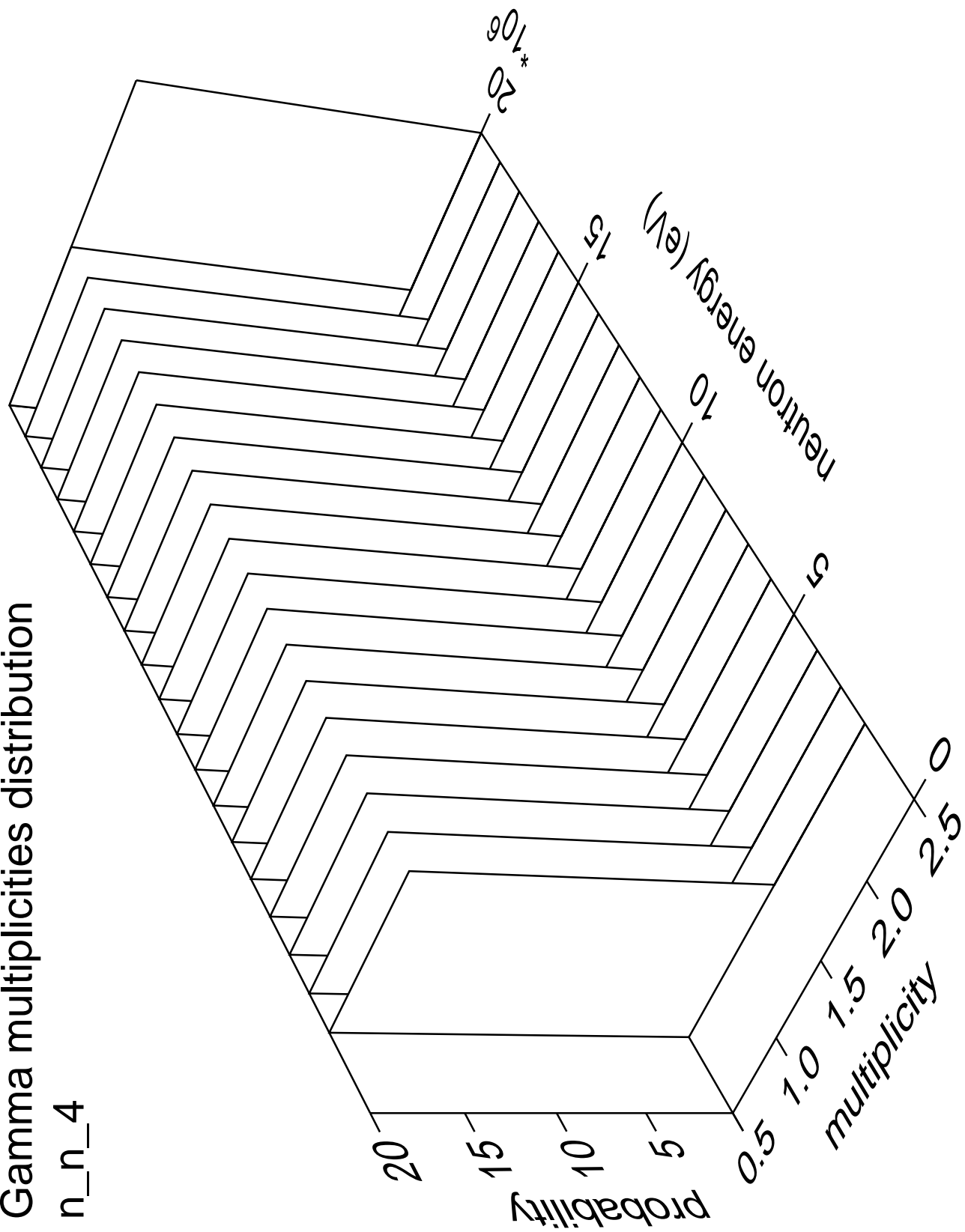


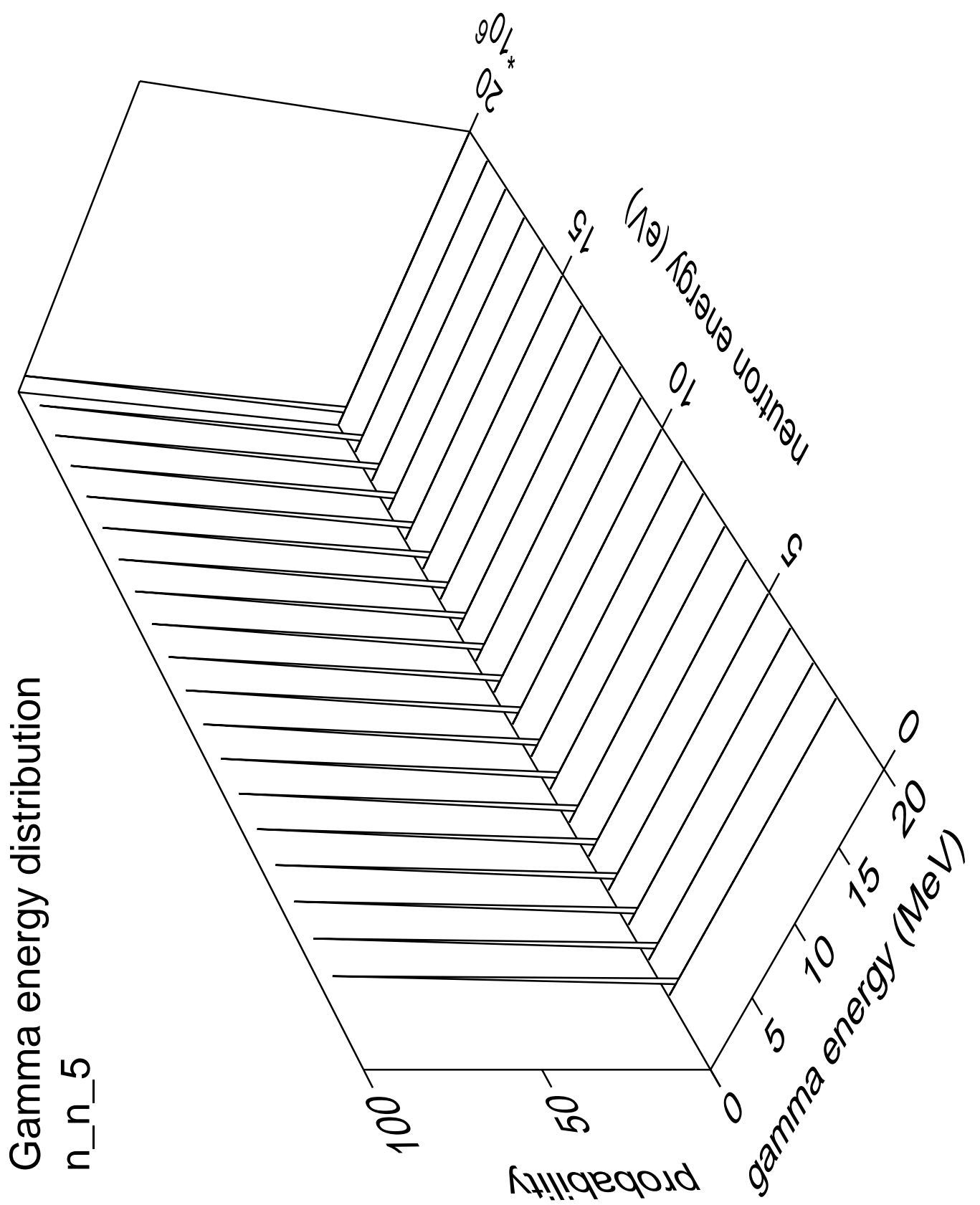
Gamma angles distribution

n_n_4



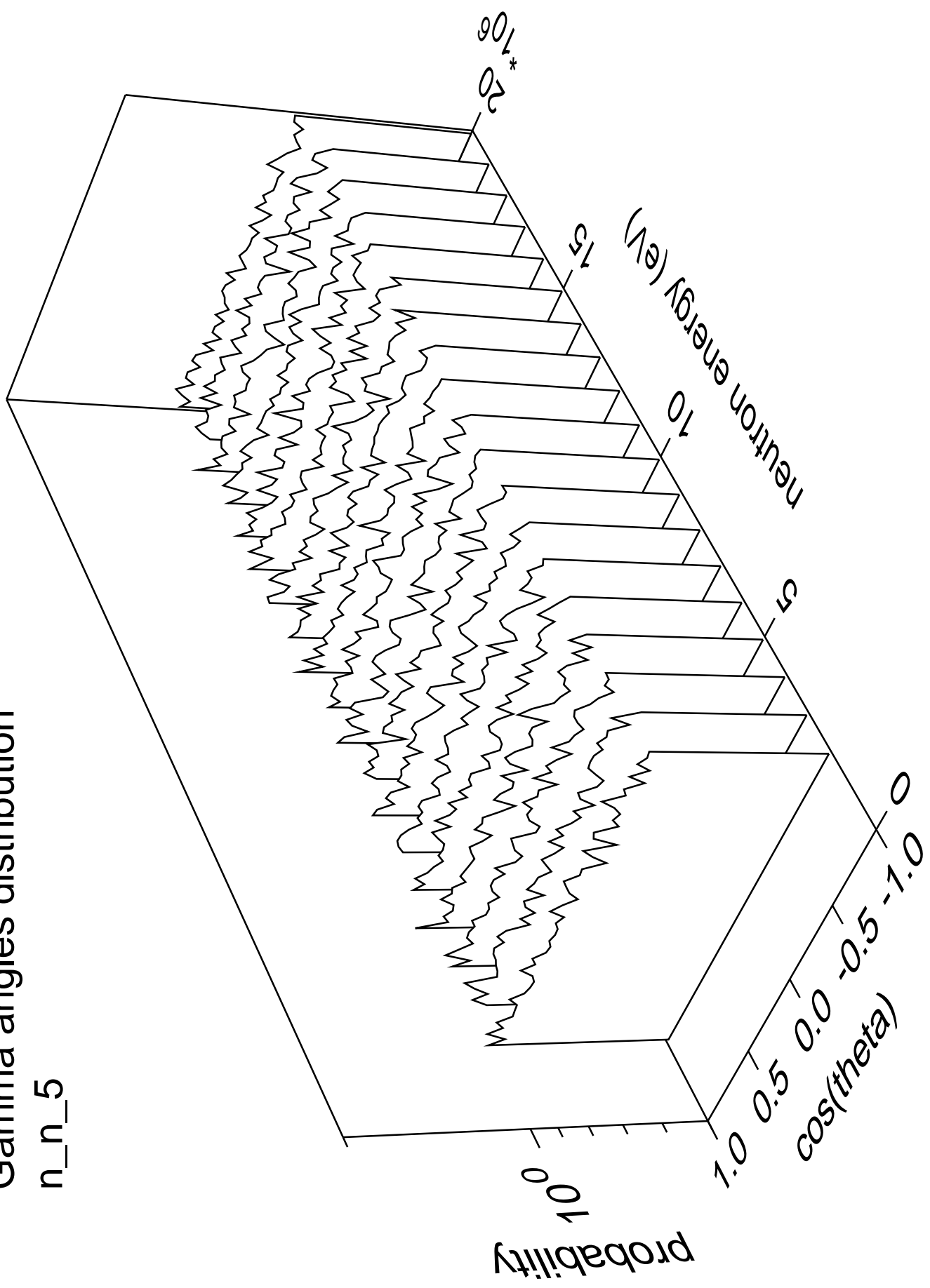
Gamma multiplicities distribution



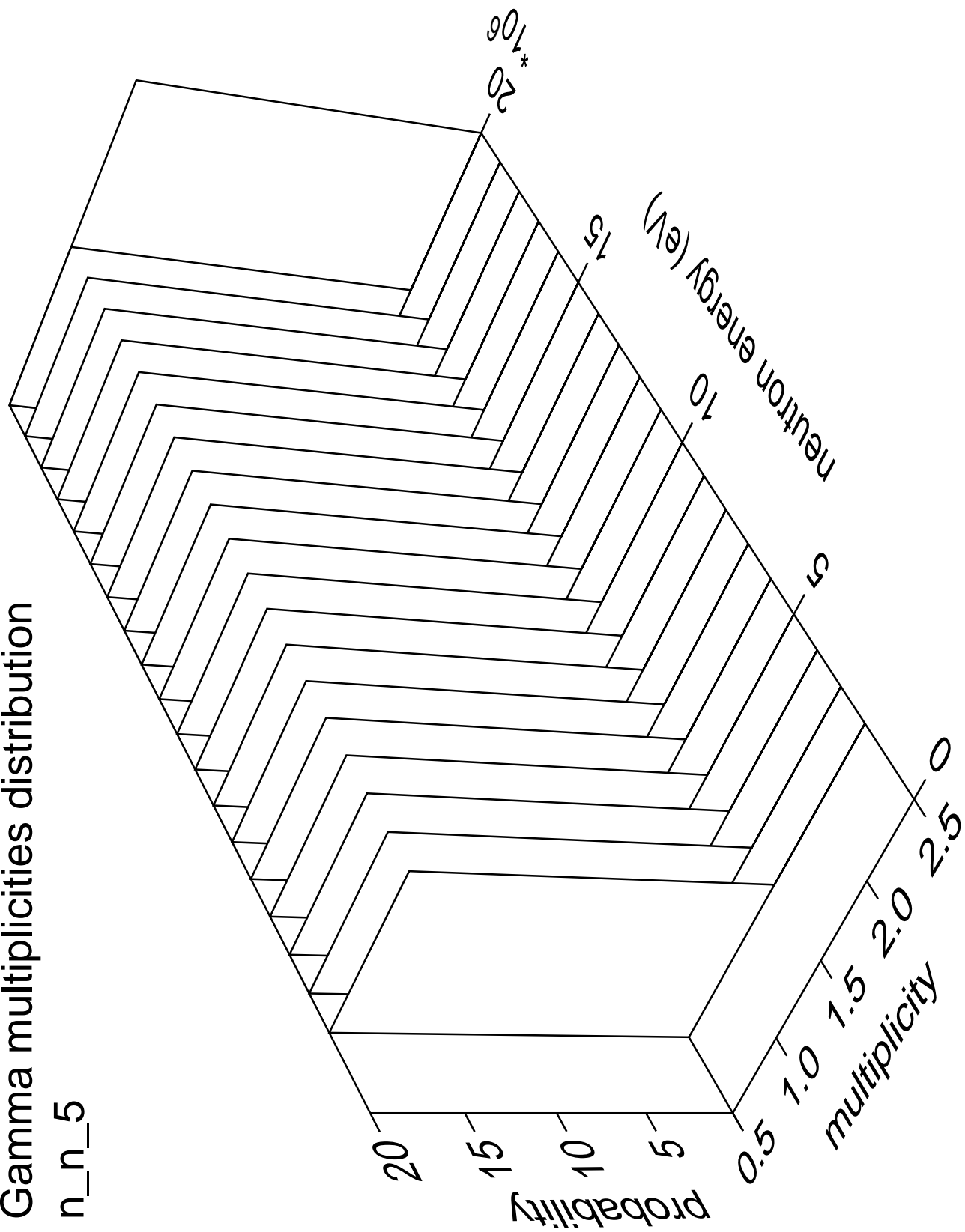


Gamma angles distribution

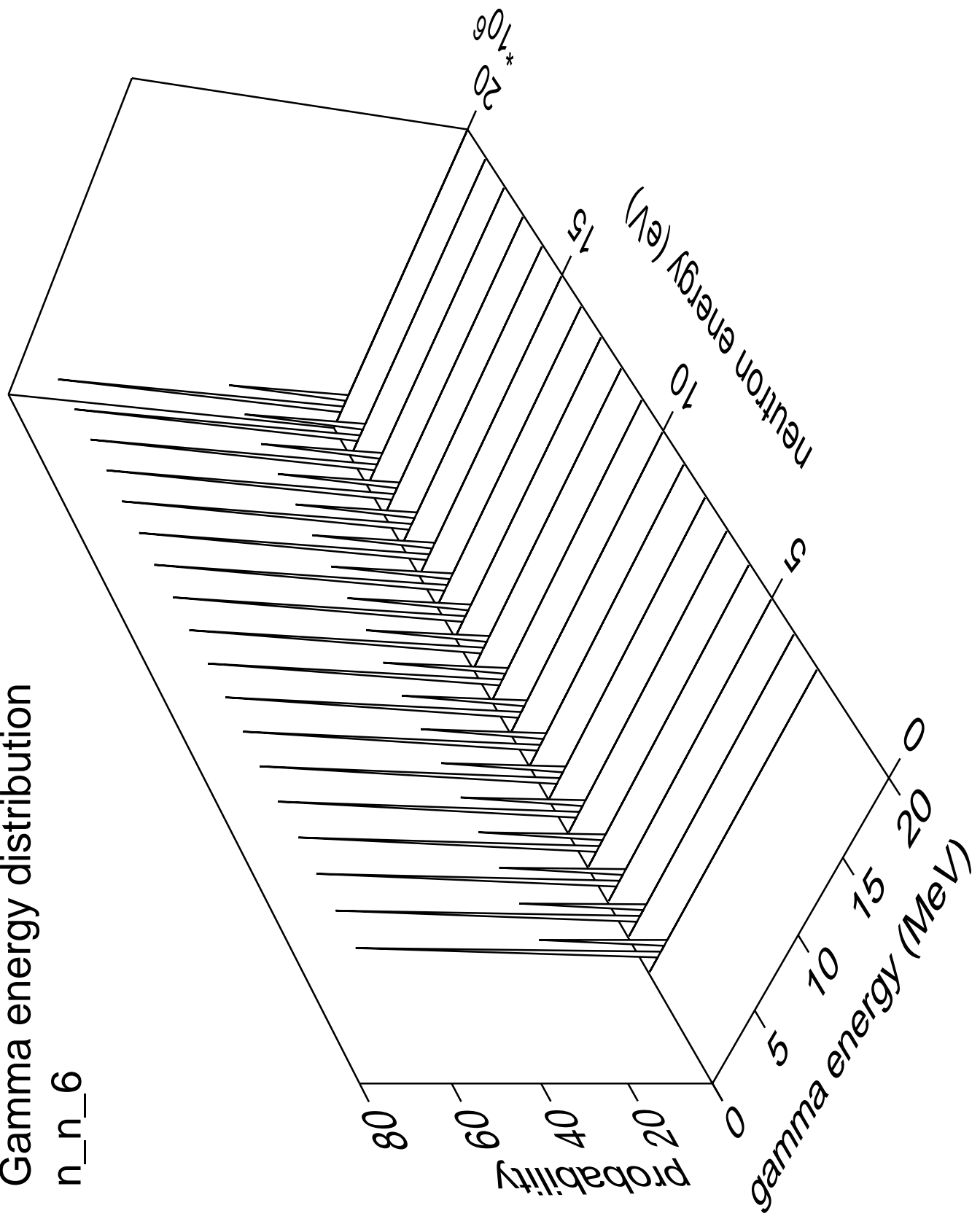
n_n_5



Gamma multiplicities distribution

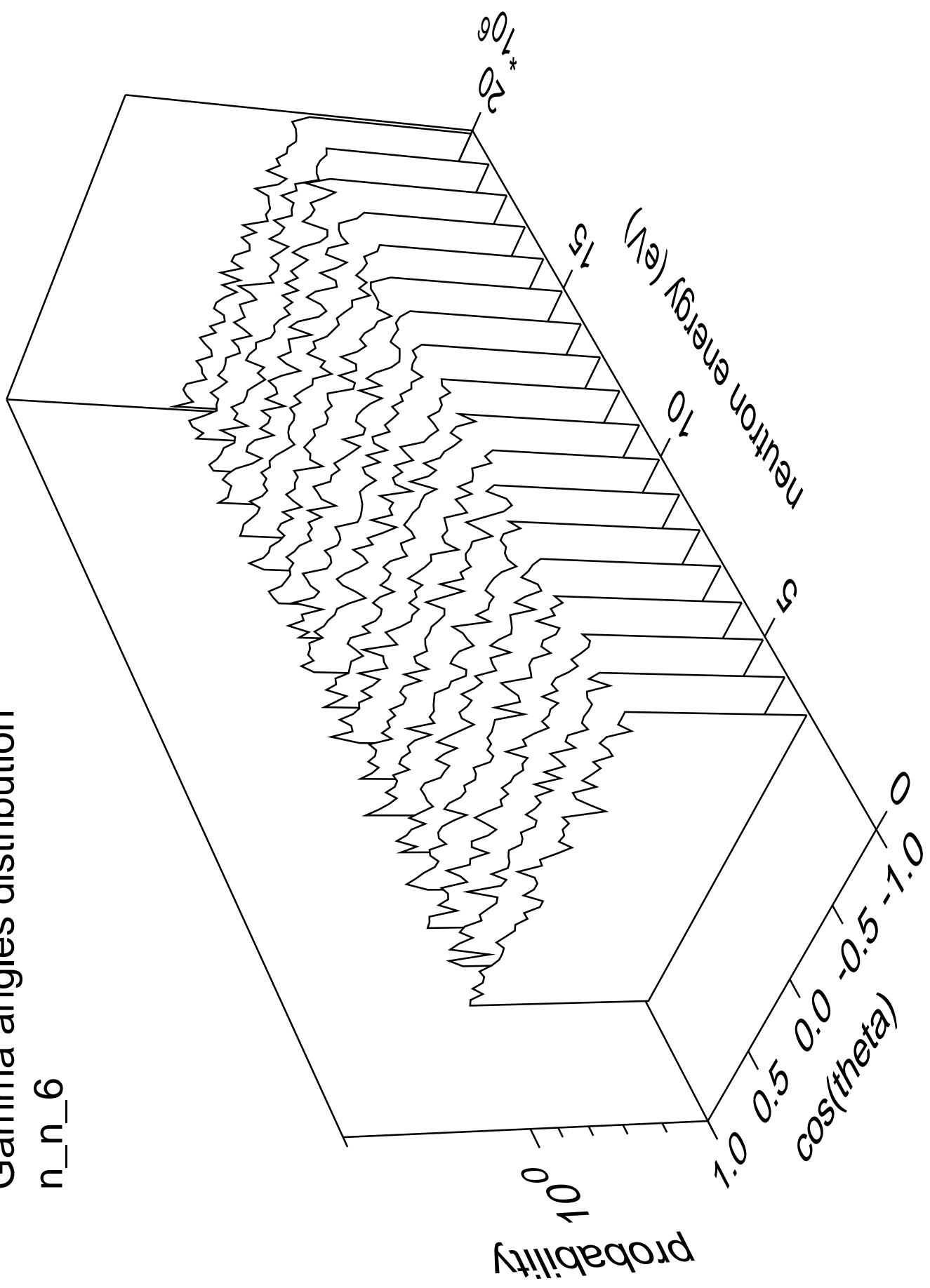


Gamma energy distribution

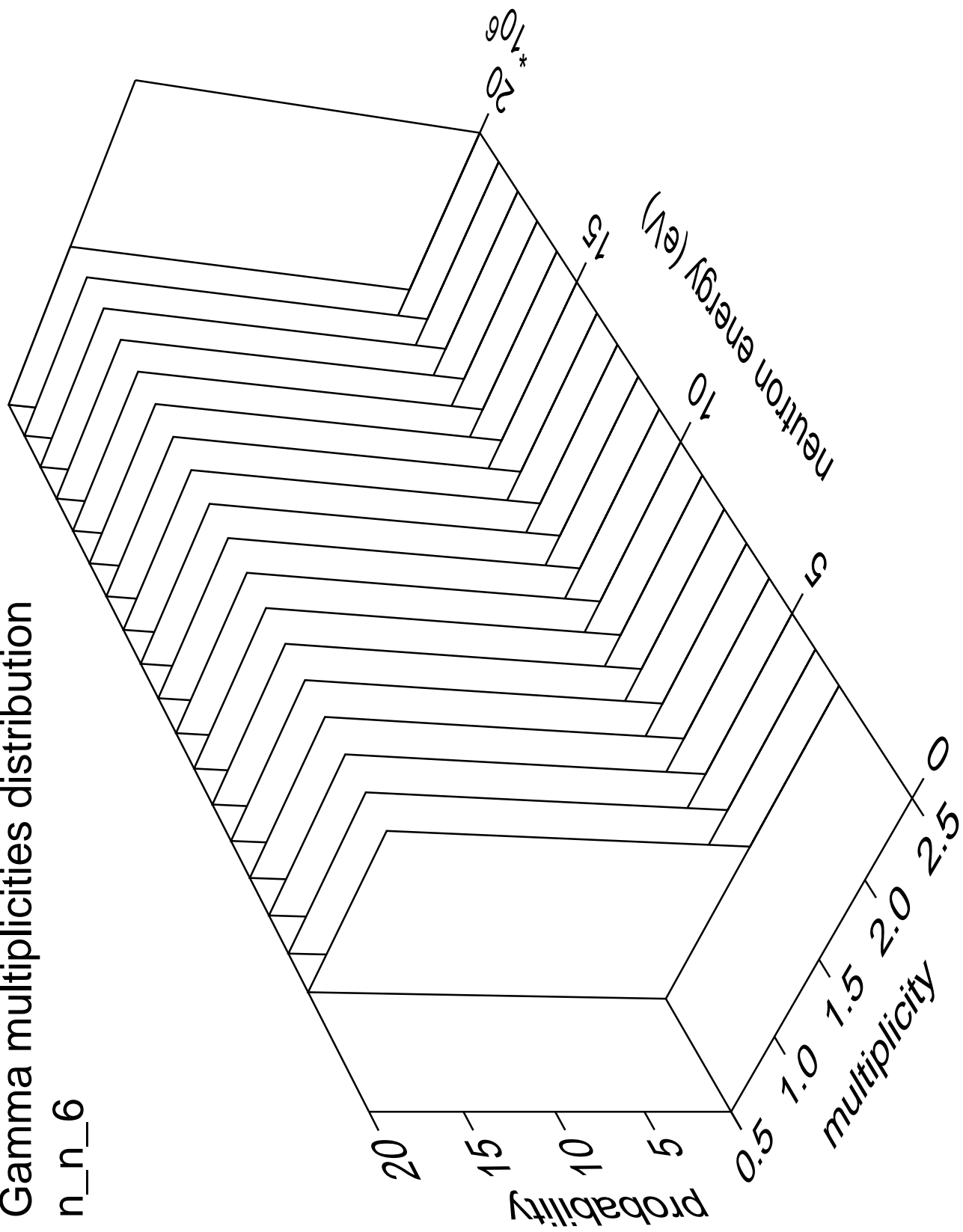


Gamma angles distribution

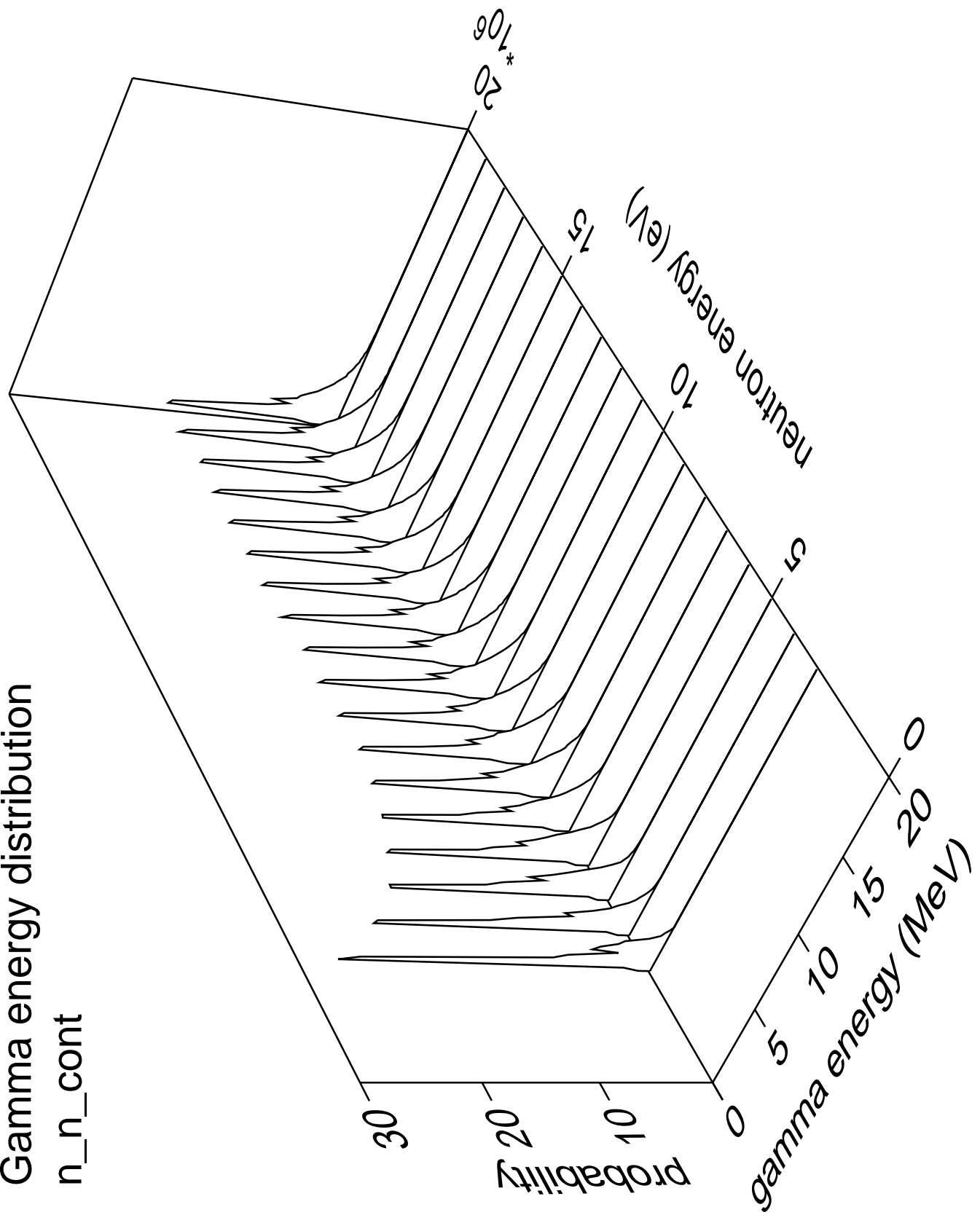
n_n_6



Gamma multiplicities distribution

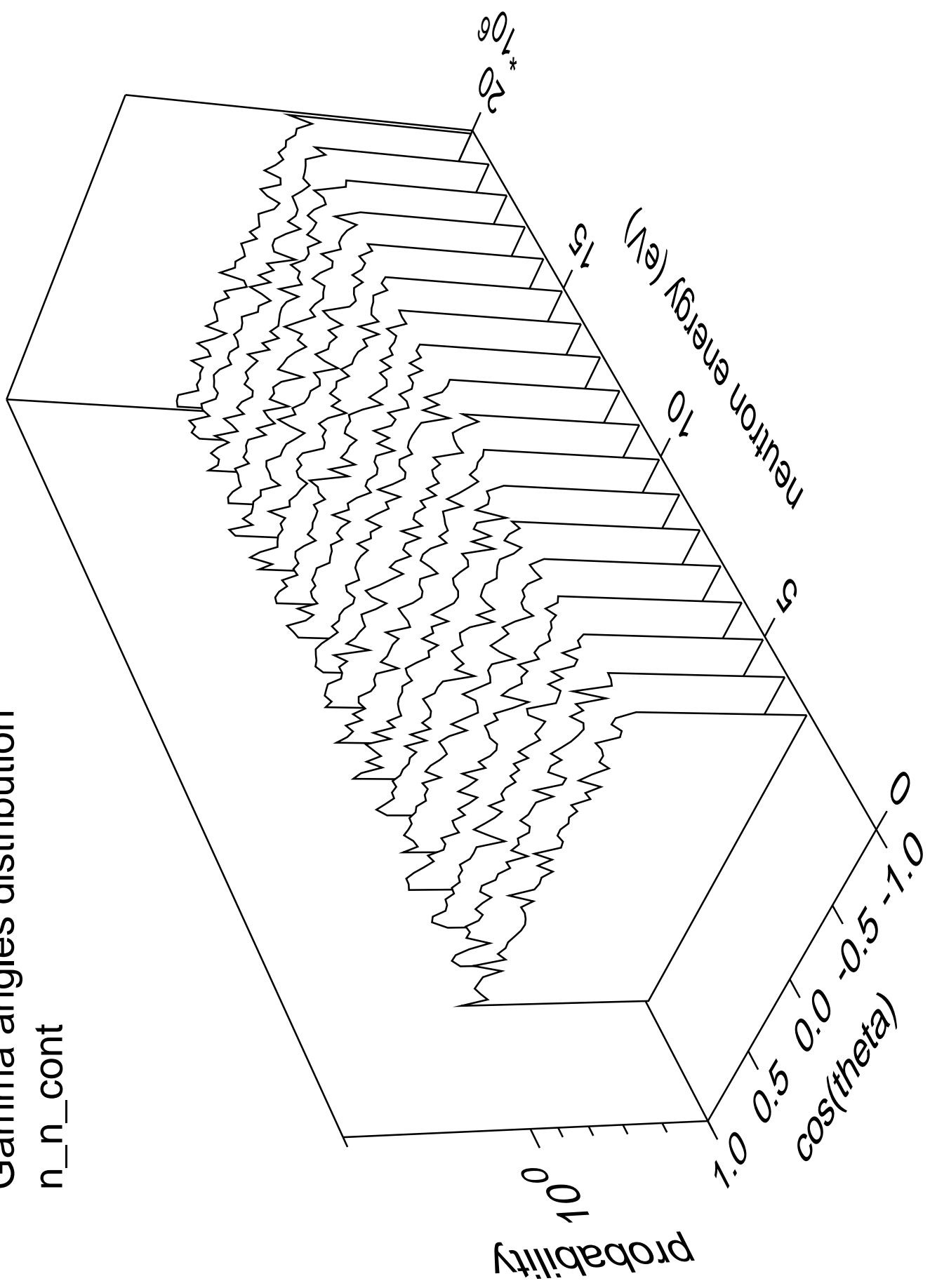


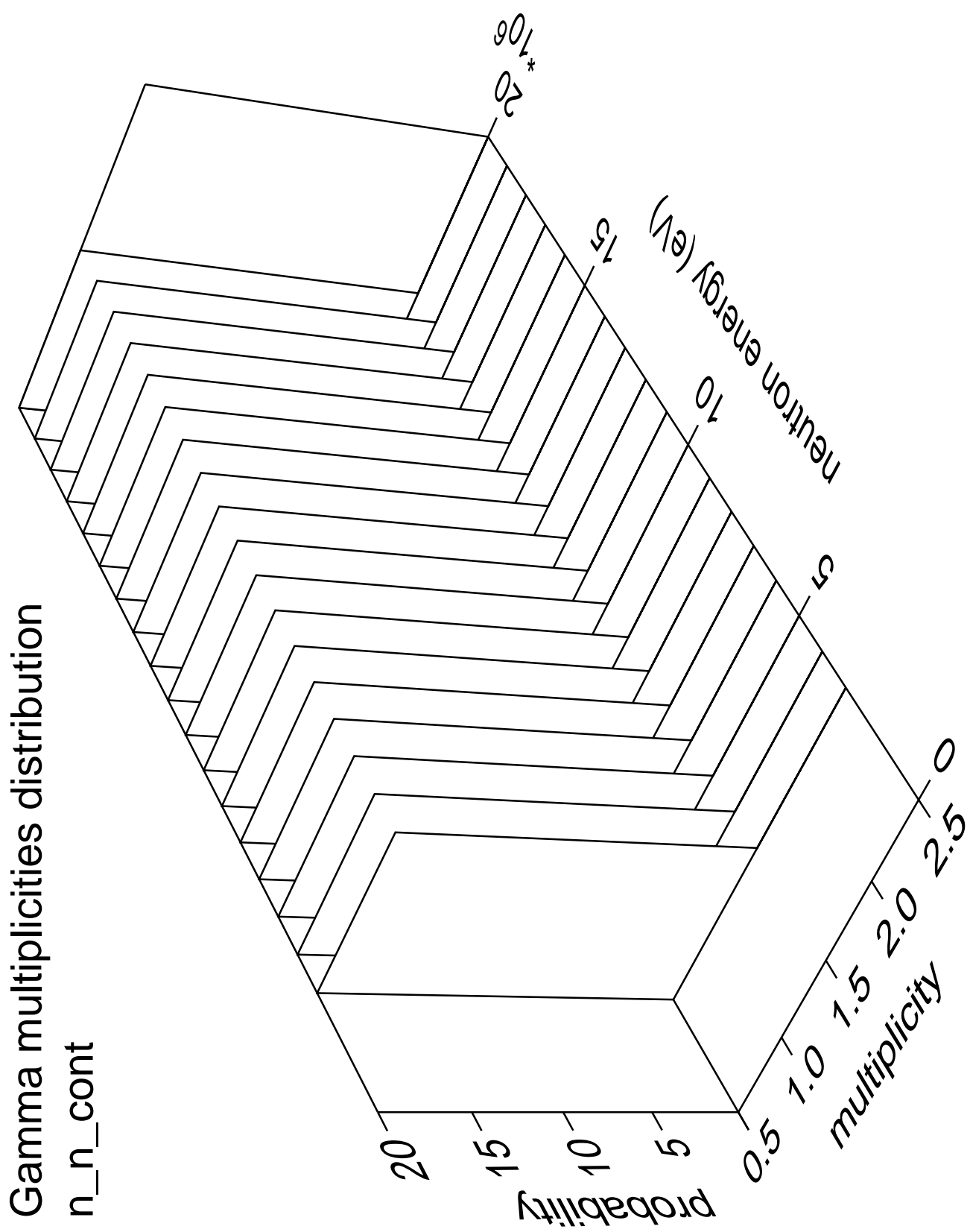
Gamma energy distribution
n_n_cont

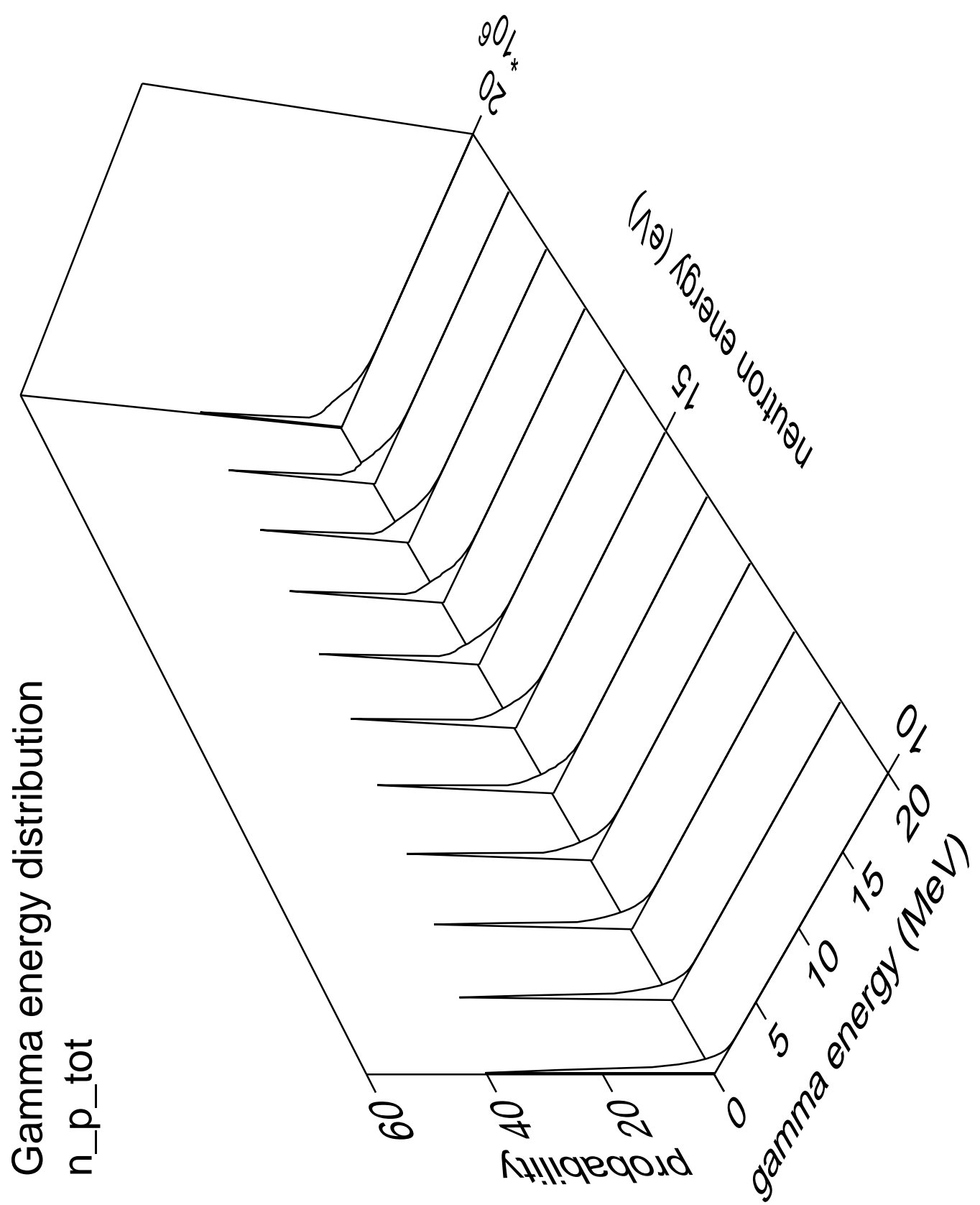


Gamma angles distribution

n_n_cont







Gamma angles distribution

n_p_{tot}

Probability

10^0

Neutron energy (eV)

10^6

10^5

10^4

10^3

10^2

10^1

10^0

10^{-1}

10^{-2}

10^{-3}

10^{-4}

10^{-5}

10^{-6}

10^{-7}

10^{-8}

10^{-9}

10^{-10}

10^{-11}

10^{-12}

10^{-13}

10^{-14}

10^{-15}

10^{-16}

10^{-17}

10^{-18}

10^{-19}

10^{-20}

10^{-21}

10^{-22}

10^{-23}

10^{-24}

10^{-25}

10^{-26}

10^{-27}

10^{-28}

10^{-29}

10^{-30}

10^{-31}

10^{-32}

10^{-33}

10^{-34}

10^{-35}

10^{-36}

10^{-37}

10^{-38}

10^{-39}

10^{-40}

10^{-41}

10^{-42}

10^{-43}

10^{-44}

10^{-45}

10^{-46}

10^{-47}

10^{-48}

10^{-49}

10^{-50}

10^{-51}

10^{-52}

10^{-53}

10^{-54}

10^{-55}

10^{-56}

10^{-57}

10^{-58}

10^{-59}

10^{-60}

10^{-61}

10^{-62}

10^{-63}

10^{-64}

10^{-65}

10^{-66}

10^{-67}

10^{-68}

10^{-69}

10^{-70}

10^{-71}

10^{-72}

10^{-73}

10^{-74}

10^{-75}

10^{-76}

10^{-77}

10^{-78}

10^{-79}

10^{-80}

10^{-81}

10^{-82}

10^{-83}

10^{-84}

10^{-85}

10^{-86}

10^{-87}

10^{-88}

10^{-89}

10^{-90}

10^{-91}

10^{-92}

10^{-93}

10^{-94}

10^{-95}

10^{-96}

10^{-97}

10^{-98}

10^{-99}

10^{-100}

10^{-101}

10^{-102}

10^{-103}

10^{-104}

10^{-105}

10^{-106}

10^{-107}

10^{-108}

10^{-109}

10^{-110}

10^{-111}

10^{-112}

10^{-113}

10^{-114}

10^{-115}

10^{-116}

10^{-117}

10^{-118}

10^{-119}

10^{-120}

10^{-121}

10^{-122}

10^{-123}

10^{-124}

10^{-125}

10^{-126}

10^{-127}

10^{-128}

10^{-129}

10^{-130}

10^{-131}

10^{-132}

10^{-133}

10^{-134}

10^{-135}

10^{-136}

10^{-137}

10^{-138}

10^{-139}

10^{-140}

10^{-141}

10^{-142}

10^{-143}

10^{-144}

10^{-145}

10^{-146}

10^{-147}

10^{-148}

10^{-149}

10^{-150}

10^{-151}

10^{-152}

10^{-153}

10^{-154}

10^{-155}

10^{-156}

10^{-157}

10^{-158}

10^{-159}

10^{-160}

10^{-161}

10^{-162}

10^{-163}

10^{-164}

10^{-165}

10^{-166}

10^{-167}

10^{-168}

10^{-169}

10^{-170}

10^{-171}

10^{-172}

10^{-173}

10^{-174}

10^{-175}

10^{-176}

10^{-177}

10^{-178}

10^{-179}

10^{-180}

10^{-181}

10^{-182}

10^{-183}

10^{-184}

10^{-185}

10^{-186}

10^{-187}

10^{-188}

10^{-189}

10^{-190}

10^{-191}

10^{-192}

10^{-193}

10^{-194}

10^{-195}

10^{-196}

10^{-197}

10^{-198}

10^{-199}

10^{-200}

10^{-201}

10^{-202}

10^{-203}

10^{-204}

10^{-205}

10^{-206}

10^{-207}

10^{-208}

10^{-209}

10^{-210}

10^{-211}

10^{-212}

10^{-213}

10^{-214}

10^{-215}

10^{-216}

10^{-217}

10^{-218}

10^{-219}

10^{-220}

10^{-221}

10^{-222}

10^{-223}

10^{-224}

10^{-225}

10^{-226}

10^{-227}

10^{-228}

10^{-229}

10^{-230}

10^{-231}

10^{-232}

10^{-233}

10^{-234}

10^{-235}

10^{-236}

10^{-237}

10^{-238}

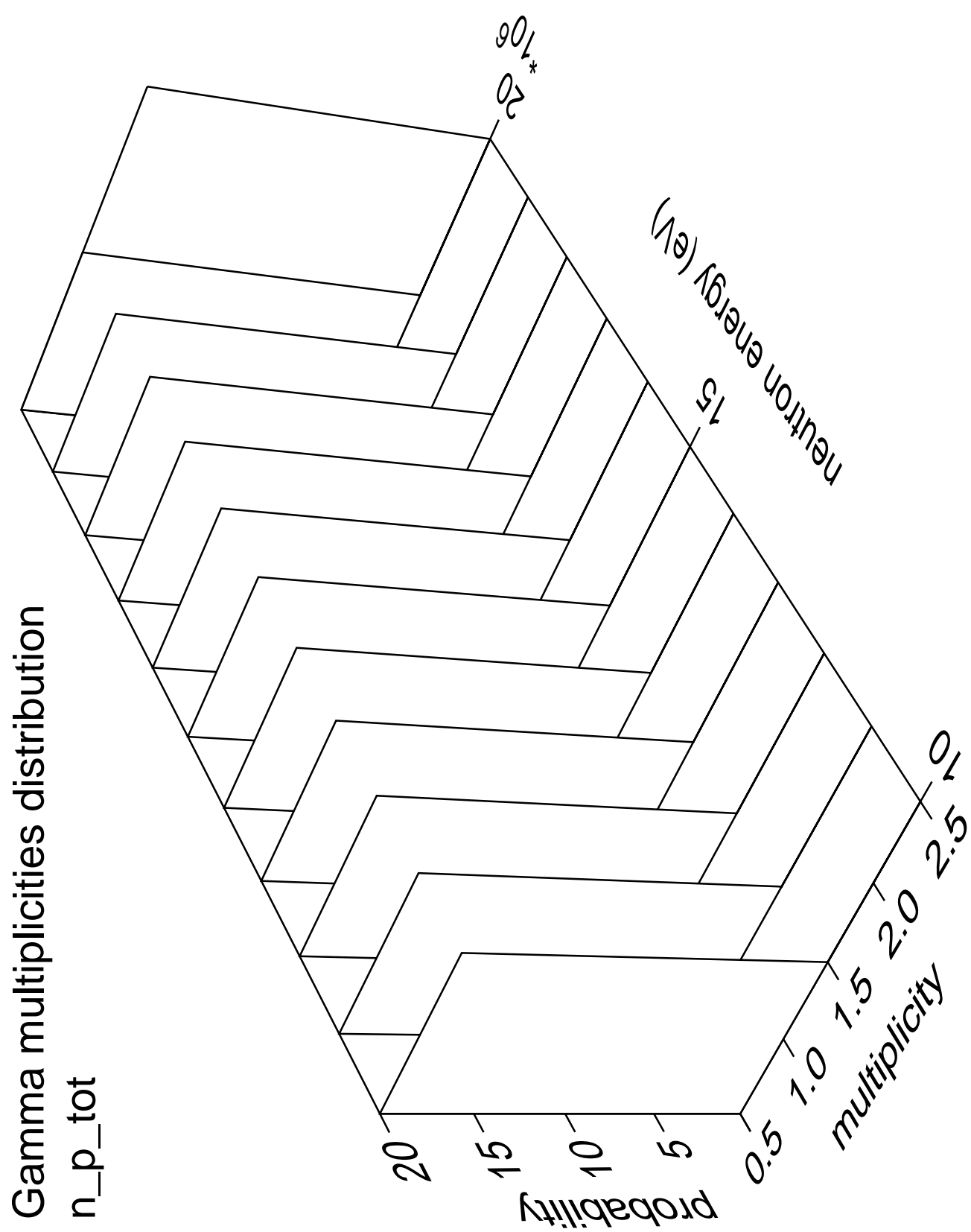
10^{-239}

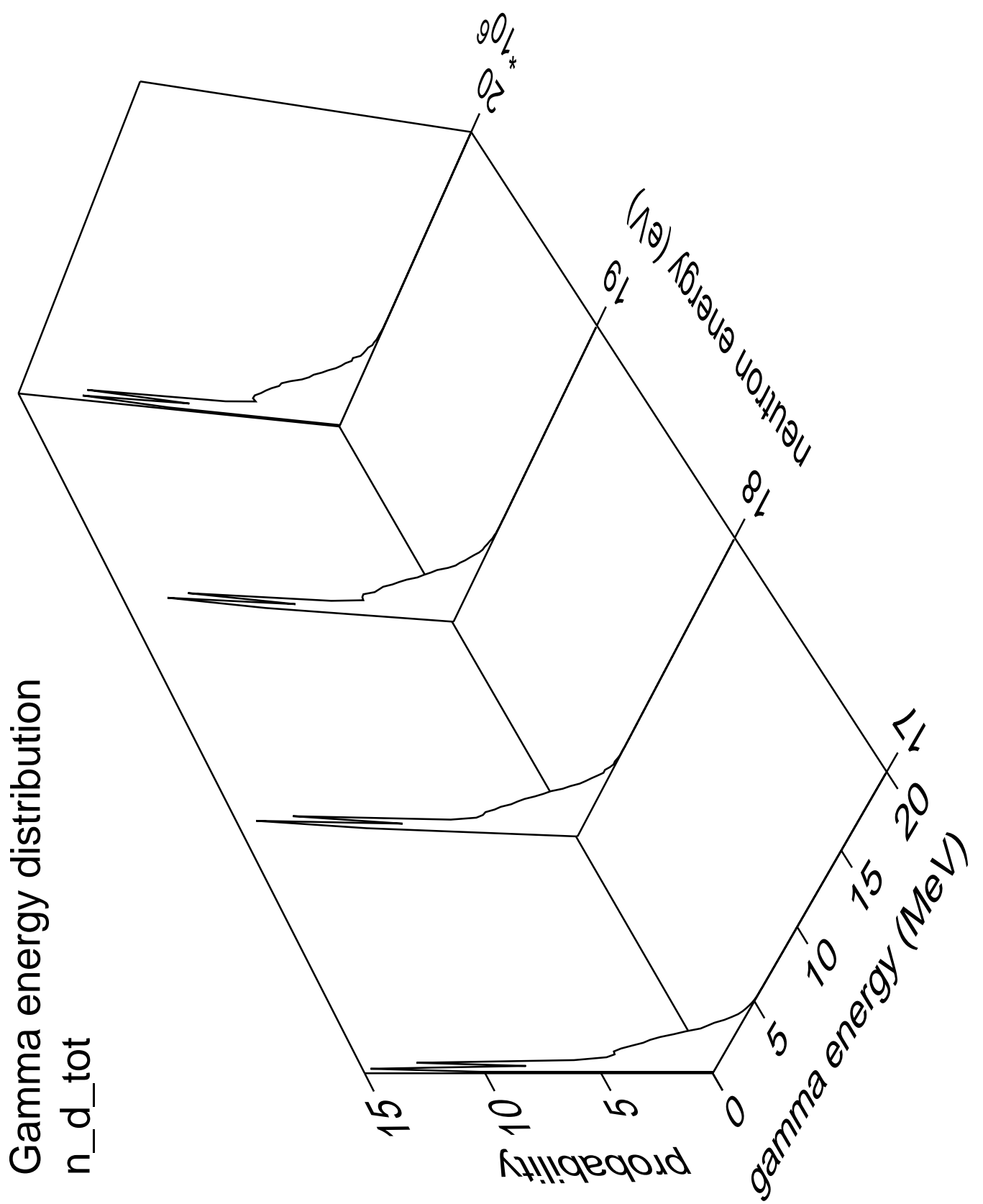
10^{-240}

10^{-241}

10^{-242}

10^{-243}





Gamma angles distribution

n_d_{tot}

Probability

10^0

10^6

10^2

10^0

10^{-2}

10^{-6}

10^{-10}

10^{-14}

10^{-18}

10^{-22}

10^{-26}

10^{-30}

10^{-34}

10^{-38}

10^{-42}

10^{-46}

10^{-50}

10^{-54}

10^{-58}

10^{-62}

10^{-66}

10^{-70}

10^{-74}

10^{-78}

10^{-82}

10^{-86}

10^{-90}

10^{-94}

10^{-98}

10^{-102}

10^{-106}

10^{-110}

10^{-114}

10^{-118}

10^{-122}

10^{-126}

10^{-130}

10^{-134}

10^{-138}

10^{-142}

10^{-146}

10^{-150}

10^{-154}

10^{-158}

10^{-162}

10^{-166}

10^{-170}

10^{-174}

10^{-178}

10^{-182}

10^{-186}

10^{-190}

10^{-194}

10^{-198}

10^{-202}

10^{-206}

10^{-210}

10^{-214}

10^{-218}

10^{-222}

10^{-226}

10^{-230}

10^{-234}

10^{-238}

10^{-242}

10^{-246}

10^{-250}

10^{-254}

10^{-258}

10^{-262}

10^{-266}

10^{-270}

10^{-274}

10^{-278}

10^{-282}

10^{-286}

10^{-290}

10^{-294}

10^{-298}

10^{-302}

10^{-306}

10^{-310}

10^{-314}

10^{-318}

10^{-322}

10^{-326}

10^{-330}

10^{-334}

10^{-338}

10^{-342}

10^{-346}

10^{-350}

10^{-354}

10^{-358}

10^{-362}

10^{-366}

10^{-370}

10^{-374}

10^{-378}

10^{-382}

10^{-386}

10^{-390}

10^{-394}

10^{-398}

10^{-402}

10^{-406}

10^{-410}

10^{-414}

10^{-418}

10^{-422}

10^{-426}

10^{-430}

10^{-434}

10^{-438}

10^{-442}

10^{-446}

10^{-450}

10^{-454}

10^{-458}

10^{-462}

10^{-466}

10^{-470}

10^{-474}

10^{-478}

10^{-482}

10^{-486}

10^{-490}

10^{-494}

10^{-498}

10^{-502}

10^{-506}

10^{-510}

10^{-514}

10^{-518}

10^{-522}

10^{-526}

10^{-530}

10^{-534}

10^{-538}

10^{-542}

10^{-546}

10^{-550}

10^{-554}

10^{-558}

10^{-562}

10^{-566}

10^{-570}

10^{-574}

10^{-578}

10^{-582}

10^{-586}

10^{-590}

10^{-594}

10^{-598}

10^{-602}

10^{-606}

10^{-610}

10^{-614}

10^{-618}

10^{-622}

10^{-626}

10^{-630}

10^{-634}

10^{-638}

10^{-642}

10^{-646}

10^{-650}

10^{-654}

10^{-658}

10^{-662}

10^{-666}

10^{-670}

10^{-674}

10^{-678}

10^{-682}

10^{-686}

10^{-690}

10^{-694}

10^{-698}

10^{-702}

10^{-706}

10^{-710}

10^{-714}

10^{-718}

10^{-722}

10^{-726}

10^{-730}

10^{-734}

10^{-738}

10^{-742}

10^{-746}

10^{-750}

10^{-754}

10^{-758}

10^{-762}

10^{-766}

10^{-770}

10^{-774}

10^{-778}

10^{-782}

10^{-786}

10^{-790}

10^{-794}

10^{-798}

10^{-802}

10^{-806}

10^{-810}

10^{-814}

10^{-818}

10^{-822}

10^{-826}

10^{-830}

10^{-834}

10^{-838}

10^{-842}

10^{-846}

10^{-850}

10^{-854}

10^{-858}

10^{-862}

10^{-866}

10^{-870}

10^{-874}

10^{-878}

10^{-882}

10^{-886}

10^{-890}

10^{-894}

10^{-898}

10^{-902}

10^{-906}

10^{-910}

10^{-914}

10^{-918}

10^{-922}

10^{-926}

10^{-930}

10^{-934}

10^{-938}

10^{-942}

10^{-946}

10^{-950}

10^{-954}

10^{-958}

10^{-962}

10^{-966}

10^{-970}

10^{-974}

10^{-978}

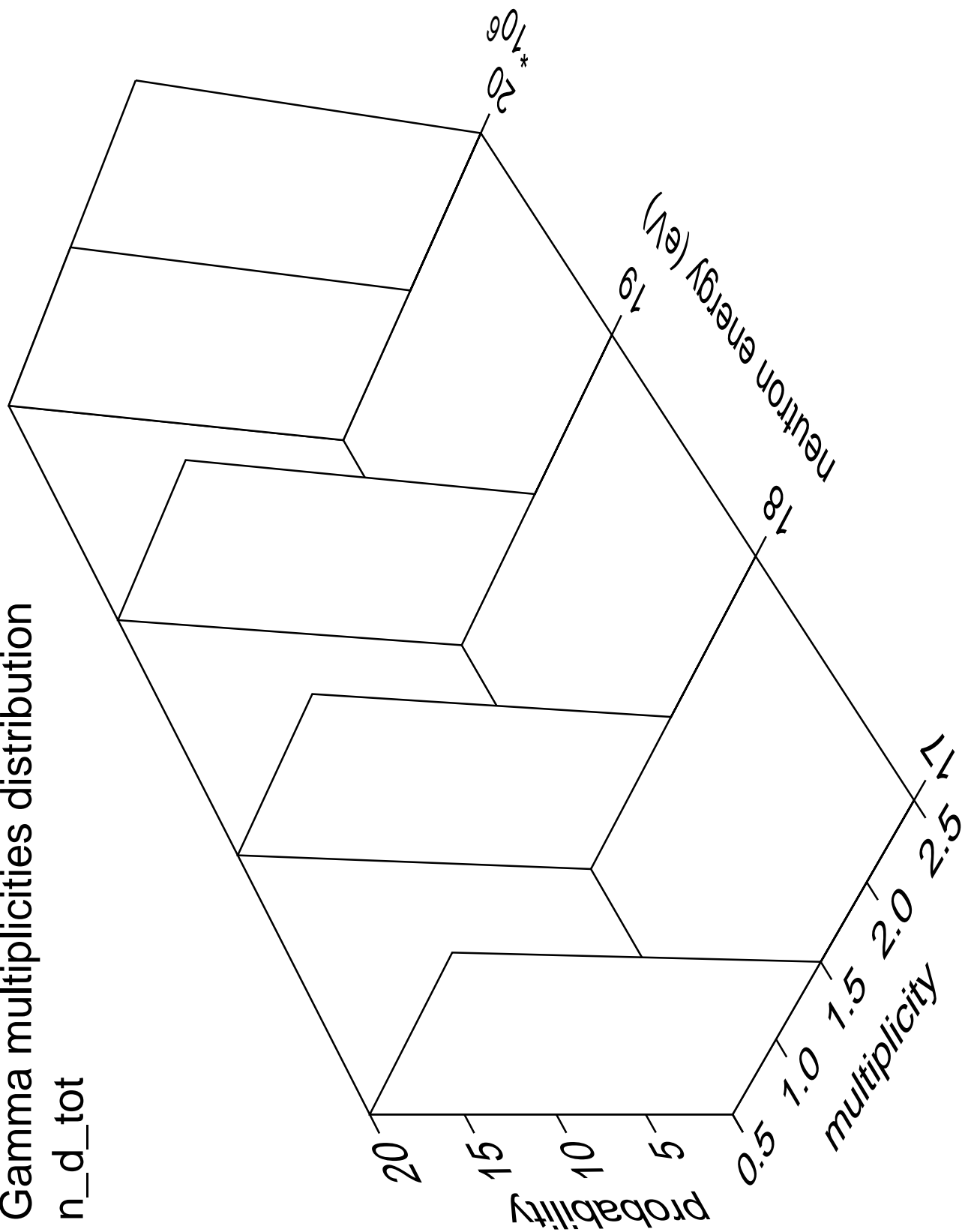
10^{-982}

10^{-986}

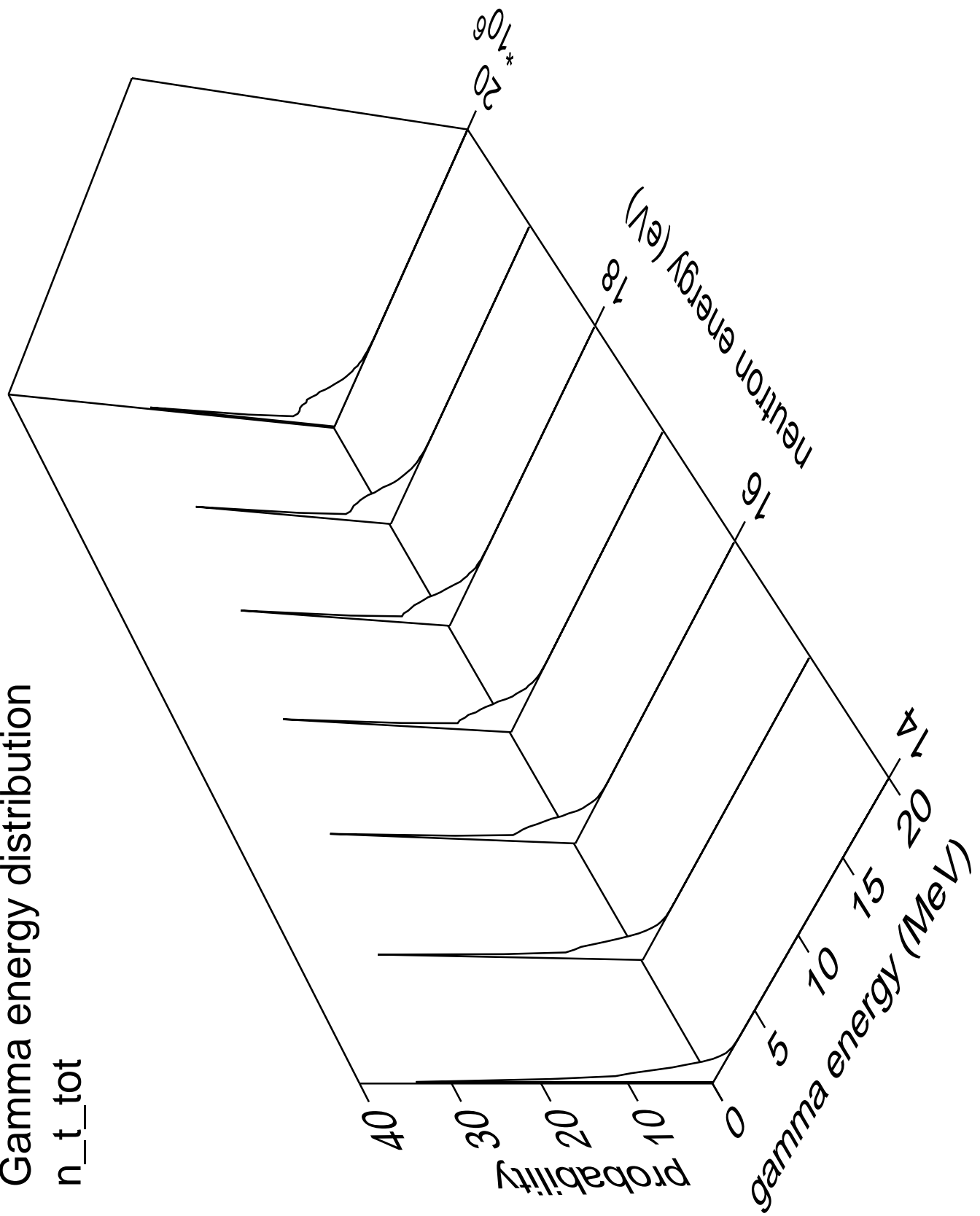
10^{-990}

<

Gamma multiplicities distribution
 n_d_{tot}



Gamma energy distribution
 n_t_{tot}



Gamma angles distribution

n_t_{tot}

Probability

10^0

10^1

10^2

10^3

10^4

10^5

10^6

10^7

10^8

10^9

10^{10}

10^{11}

10^{12}

10^{13}

10^{14}

10^{15}

10^{16}

10^{17}

10^{18}

10^{19}

10^{20}

θ

ϕ

ψ

χ

α

β

γ

δ

ϵ

ζ

η

κ

λ

μ

ν

ρ

σ

τ

ω

φ

χ

ψ

ζ

η

κ

λ

μ

ν

ρ

σ

τ

ω

φ

χ

ζ

η

κ

λ

μ

ν

ρ

σ

τ

ω

φ

χ

ζ

η

κ

λ

μ

ν

ρ

σ

τ

ω

φ

χ

ζ

η

κ

λ

μ

ν

ρ

σ

τ

ω

φ

χ

ζ

η

κ

λ

μ

ν

ρ

σ

τ

ω

φ

χ

ζ

η

κ

λ

μ

ν

ρ

σ

τ

ω

φ

χ

ζ

η

κ

λ

μ

ν

ρ

σ

τ

ω

φ

χ

ζ

η

κ

λ

μ

ν

ρ

σ

τ

ω

φ

χ

ζ

η

κ

λ

μ

ν

ρ

σ

τ

ω

φ

χ

ζ

η

κ

λ

μ

ν

ρ

σ

τ

ω

φ

χ

ζ

η

κ

λ

μ

ν

ρ

σ

τ

ω

φ

χ

ζ

η

κ

λ

μ

ν

ρ

σ

τ

ω

φ

χ

ζ

η

κ

λ

μ

ν

ρ

σ

τ

ω

φ

χ

ζ

η

κ

λ

μ

ν

ρ

σ

τ

ω

φ

χ

ζ

η

κ

λ

μ

ν

ρ

σ

τ

ω

φ

χ

ζ

η

κ

λ

μ

ν

ρ

σ

τ

ω

φ

χ

ζ

η

κ

λ

μ

ν

ρ

σ

τ

ω

φ

χ

ζ

η

κ

λ

μ

ν

ρ

σ

τ

ω

φ

χ

ζ

η

κ

λ

μ

ν

ρ

σ

τ

ω

φ

χ

ζ

η

κ

λ

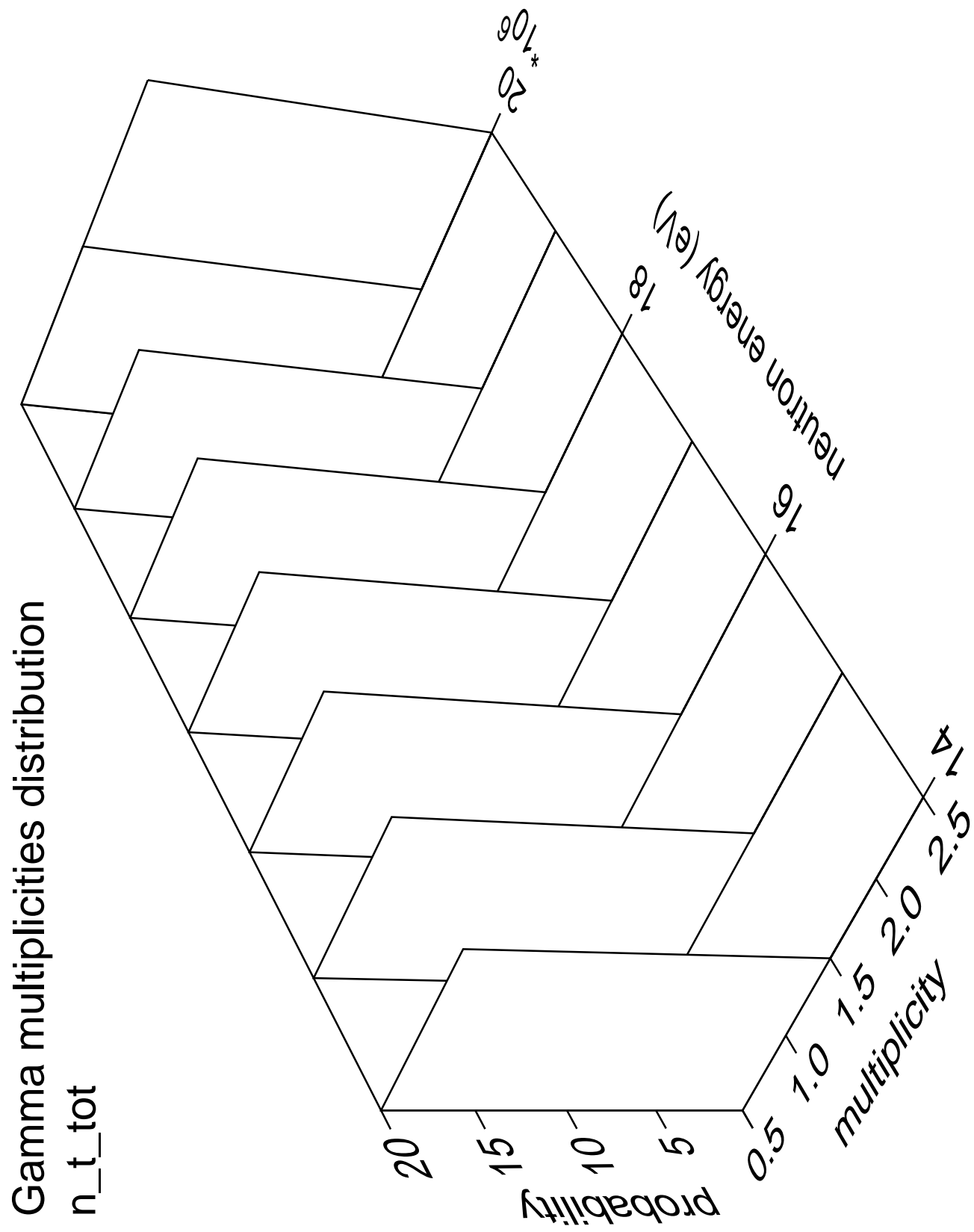
μ

ν

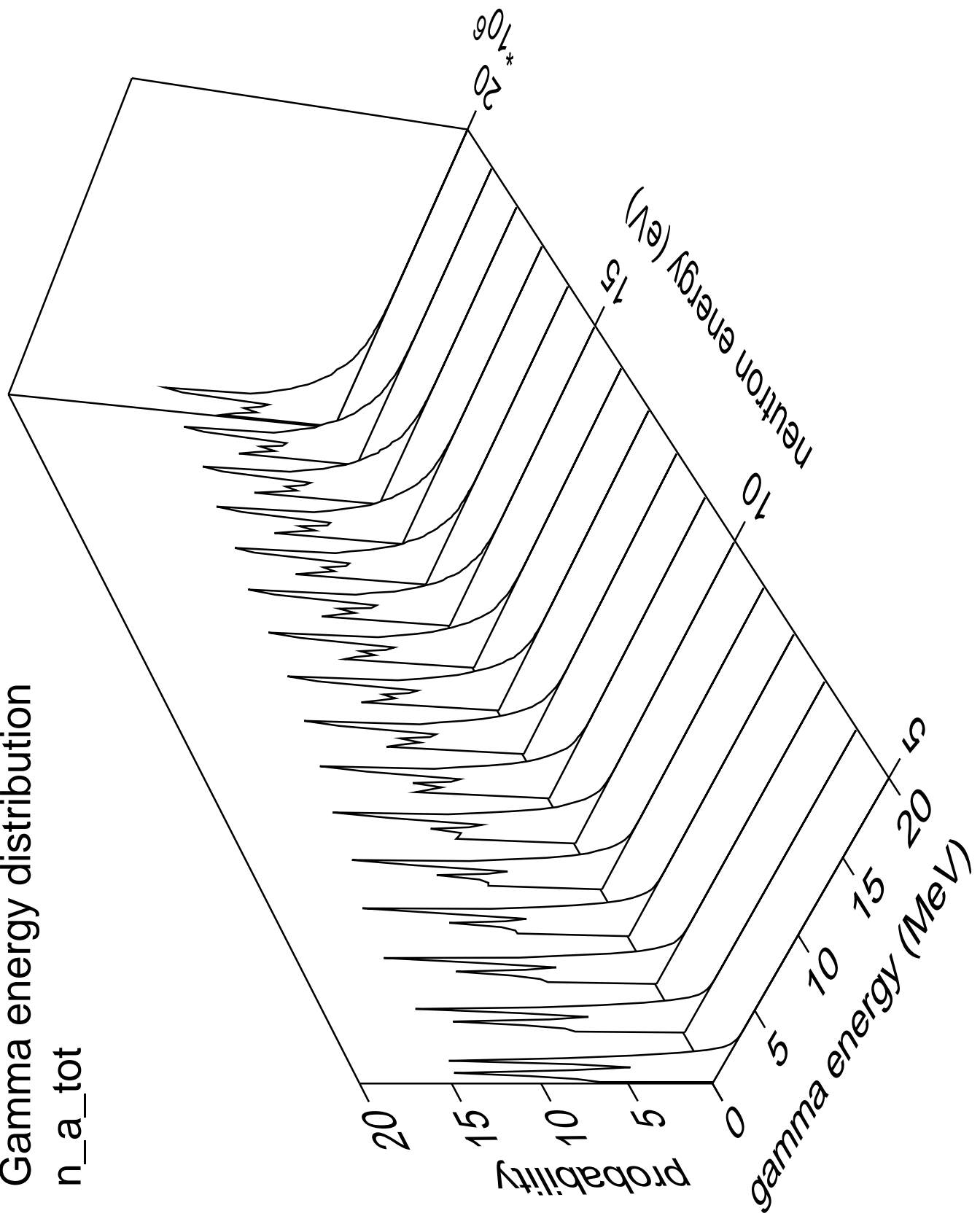
ρ

σ

τ



Gamma energy distribution
 n_a_{tot}



Gamma angles distribution

n_a_{tot}

Probability

10^0

10^1

10^2

10^3

10^4

10^5

10^6

$\cos(\theta)$

1.0 0.5 0.0 -0.5 -1.0

neutron energy (eV)

1.0 0.5 0.0 -0.5 -1.0

